

Noise نژاد

نشریه تخصصی برق و الکترونیک ECA سال سوم شماره ۳۱ آذر و اسفند



راه اندازی مازول SIM900 توسعه

راه اندازی مازول HC-05

ساخت ماشین حساب لمسی توسعه LCD 3.2"

پروژه پخش فایل های صوتی

آغاز کار با تراشه های XMEGA - کار با پورت ها

www.Noisemagazine.ECA.ir



صفحه

فهرست مطالب :

۱	شش روش بهینه طراحی، جهت افزایش طول عمر باتری گوشی های هوشمند.....
۲	راه اندازی ماژول SIM900 توسط LabVIEW
۴	کاربرد نیمه هادی ها در روش های مختلف استفاده از انرژی خورشیدی.....
۸	صفحه نمایش های OLED
۱۴	آموزش ارتباط با دات ماتریس درایور HD44780 و نوشتگر کتابخانه برای LCD کاراکتری.....
۱۸	راه اندازی ماژول HC-05
۲۶	پروژه دستگاه تشخیص نشت گازهای خانگی.....
۳۴	ساخت ماشین حساب لمسی بر روی LCD 3.2 اینچی.....
۴۲	پروژه پخش فایل های صوتی.....
۵۰	آموزش کارکردن با پورت های XMEGA
۶۰	نگاهی گذرا به ساخت بردهای چند لایه.....
۷۰	ربات شن نورد.....
۷۲	جان لاجی برد.....
۷۸	Silicon Nanowire Field Effect Transistor

نژه

مجله تخصصی برق و الکترونیک نویز
سال دوم - شماره ۱۰ - آبان ۱۳۹۰

صاحب امتیاز : وب سایت تخصصی برق و الکترونیک ECA
www.ECA.ir

سردبیر: امیرعلی بلورچیان

مدیر اجرایی: فرشاد اکرمی

سرپرست مترجمین: بهناز نوری

ویراستار: سوران آرسته

با تشکر از: Mehran Gh

وب سایت اختصاصی مجله : www.Noisemagazine.ECA.ir

منشور مجله نویز
الف- معرفی

ماهnamه نویز، نشریه ای است علمی، خبری، آموزشی که با تکیه بر خلاقیت و نوآوری کارشناسان ایرانی و انجام کار گروهی آنان به مخاطبان خود کمک می کند تا نیازهای خود را در شکل مکتوب در این نشریه محقق شده بیابند.

ب- اهداف

۱- پیشبرد فرهنگ علم گرایی در کشور

۲- ایجاد روحیه تلاش و امید در نسل جوان

۳- توسعه کمی و کیفی روزافروز به سوی نشریه ای وزین، فراگیر و کم اشکال

۴- اطلاع رسانی به روز علوم مرتبط

ج- اصول و ارزش ها

۱- احترام به مخاطب

۲- راستی در گفتار و رفتار میان دست اندک کاران نشریه

۳- تلاش مستمر برای بهبود

۴- استفاده از پتانسیل موجود در قشر تحصیل کرده کشور

د- حوزه های فعالیت (موضوعات کلیدی)

۱- آموزش مبانی علوم برق و الکترونیک

۲- آشنایی با تکنولوژی های نوین دنیای فناوری

۳- طراحی مدارات آنالوگ و دیجیتال

۴- آموزش و معرفی نکات کاربردی پردازشده ها

۵- مدارات مجتمع

۶- آموزش کاربردی نرم افزارهای تخصصی

۷- سیستم ها و مدارات مخابراتی

۸- سیستم های قدرت

۹- معرفی مشاهیر برق

۱۰- موارد کاربردی و عملی علم الکترونیک

۱۱- بخش های متنوع مرتبط با موضوعات برق و الکترونیک

* استفاده از مقاله های مجله، با ذکر مأخذ و رعایت حقوق نویسنده بلامانع است.

* مجله نویز آماده دریافت آثار و مقالات ارسالی متخصصین و مهندسین است.

* لطفاً مقاله های خود را بصورت تایپ شده به همراه ضمیمه عکس های موردن استفاده ارسال نمایید.

* نشریه در ویرایش و اصلاح مطالب رسیده، آزاد است.

* چنانچه مطالب ارسالی ترجمه است، کپی اصل آن را ضمیمه نمایید.

صندوق پست الکترونیکی مجله : noisemagazine.eca@gmail.com



مترجم: فرزانه یوسفی پور

شش روش بهینه طراحی، جهت افزایش طول عمر باتری گوشی های هوشمند

توسعه روزافزون دستگاه های همراه و مراکز داده ها، رقابتی را بین طراحان مدار ایجاد کرده تا بتوانند با ارائه راه کارهای جدید مصرف را تا حد زیادی کاهش دهند. در کنفرانس بین المللی **SSC** امسال در سان فرانسیسکو، جایگاه مرکزی به شش تکنولوژی ذخیره توان اختصاص داشت. بعضی از این روش ها در تولیدات امسالی نمود پیدا خواهند کرد در حالیکه بقیه فقط در حد ایجاد علاقه برای سازندگان چیپ ها هستند.

شش تکنولوژی ذکر شده به شرح زیر می باشند:

۱. مصرف تا نزدیک آستانه ولتاژ

آکادمی ها مدت زیادی با ایده "راه اندازی چیپ ها با ولتاژی نزدیک به مقدار تعريف شده" (مقداری که برای روشن و خاموش شدن یک ترانزیستور نیاز است) بازی کرده اند. به نظر می رسد که این ایده امروزه در صنعت به کار گرفته شده است چرا که محققان اینتل در مورد یک چیپ از کلاس پنتیوم، ۳۲ نانومتری که طراحی خودشان می باشد ذکر کرده اند کهاین چیپ می تواند با ۱.۲ ولت (که برای پردازنهای امروزی اجباری است) کار کند و ولتاژ آن تا ۰.۲۸ میلی ولت نیز می تواند کاهش پیدا کند. نقطه ای مطلوب برای کارآمد بودن انرژی در حد ۴۵۰ میلی ولت است. در این سطح، چیپ های اینتل به آرامی در کمتر از ۱۰۰ مگاهرتز کار میکنند اما در عین حال انرژی ای حدود یک پنجم انرژی در ۱.۲ ولت را مصرف می کنند. برای جبران این نقص(کندی) از پردازنهای موازی استفاده می شود.

۲. لبه های باریک تیغ

مهندسين معمولا برای جلوگیری از خطاهایی که ممکن است در کلک سیستم رخ دهد، چیپ ها را در ولتاژ بالاتر از آنچه نیاز دارند تغذیه می کنند. اگر چیپ ها دارای امکاناتی برای تشخیص خطا و تغییر ولتاژ کاری حین پردازش باشند، جهت ذخیره توان می توان چیپ ها را در کمترین ولتاژ کاری ممکن در حین پردازش راه اندازی کرد. اما محققان دانشگاه میشیگان در **Claremont** نشان دادند که فعالیت های حاصل شده در زمینه این تکنولوژی، بر روی پردازنده هایی با هسته آرم (cortex-m3) می تواند ذخیره انرژی را تا ۶۰ درصد افزایش دهد. این تیم، همچنین می گوید که این کار اولین اجرای طرح مدل تیغ روی یک پردازنده تجاری است.

۳. ترانزیستورهای کوچکتر

اینل ۱.۴ بیلیون ترانزیستور ۳ بعدی را روی **Ivy Bridge** (سل بعدی پردازنده ها) بسته بندی کرده است. ترانزیستور های سه بعدی برای کاهش نشتی در چیپ های جدید توان بالا مصرف شده اند. چیپ ۲۲ nm **Ivy Bridge** می تواند با همان سرعت چیپ های قبلی شرکت، اما با مصرف ولتاژی در حدود ۲۰۰ میلی ولت کمتر راه اندازی شود. اینل بهتر مصرف توان چیپ، یکی کرده است. یک سیستم روی چیپ که به صورت کد **silvermont** نام گذاری شده است و بر اساس فرآیند ساخت ترانزیستور می باشد، می تواند به عنوان تجهیزی برای موبایل ها استفاده شود.

۴. قفل فاز تمام دیجیتال

حلقه های قفل فاز (که از داخل قفل می شوند و یک سیگنال ورودی را دنبال می کنند) اجزای حیاتی هستند که برای همزمان کردن کلک پردازنده های مدرن و نیز برای افزایش سرعت و انتقال سیگنال های رادیویی استفاده می شود. در گذشته این مدارها با اجزای



شش روش بهینه طراحی، جهت افزایش طول عمر باتری گوشی های هوشمند

آنالوگ ساخته می شدند اما امروزه در ساخت آن ها از اجزای تمام دیجیتال که یک دهم توان اجزای آنالوگ را مصرف می کنند و نیز آسانتر ساخته می شوند، استفاده می شود. مرکز توان موبایل سامسونگ پیشرفت جدیدی را روی حلقه قفل فاز ارائه کرده اند که با استفاده از آن یک مدار با ابعاد ۱۲،۰۰ میلی متر مربع فقط ۲،۵ میلی وات توان مصرف می کنند. اینتل نیز ورژن جدیدی از مدار ها را به نمایش گذاشت که با استفاده از تکنولوژی ۲۲ نانو متری ساخته شده و توان کمی در حدود ۷،۰ میلی وات مصرف دارد.

۵. مبدل های هوشمند

روش دیگری که برای انتقال توان پایین کاربرد دارد، خازن سوییچ شده هست که اغلب برای تبدیل سیگنال آنالوگ به دیجیتال استفاده می شود. تیمی در دانشگاه Corvallis Oregon state در شروع به ساخت اجزای توان پایینی کرده است که بوسیله ای نوسانساز حلقه ای شکل گرفته است که شامل یک مدار تست مشترک ساخته شده از مبدل های حلقه می باشد. تیم دیگری در National Chiao Tung University, in Hsinchu, Taiwan راهی را برای ذخیره کردن توان بوسیله کار روی سیگنال ها در دو مرحله جدا که یکی برای فرآیند های خام اولیه و دیگری برای تنظیم هر چه بهتر سیگنال می باشد ارائه کردند که هر کدام می توانند بهینه شوند.

۶. نسل بعدی RAM های دینامیک

مرکز ساخت حافظه سامسونگ و Hynix Semiconductor هر دو جزئیاتی از نسل بعدی Dram ها را هم زمان آشکار کردند، این حافظه ها توانایی راه اندازی پردازنده های امروزی را دارا هستند. نسل جدید آن ها که با نام DDR4 آمده اند، کاربرد های جالبی از مدار را نشان می دهد که اجرازه میدهد سامسونگ ولتاز تامینی برای مازول های حافظه را تا حد ۱.۵ یا ۱.۲ ولت کاهش دهد. این مازول ها همچنین شامل کلاک بهتر و الگوریتم سریع تر برای کدگشایی داده جهت ارسال و دریافت داده از حافظه می باشند. DDR4 ممکن است به زودی و تا سال ۲۰۱۳ تولید تجاری اش را شروع کند.

منبع:
<http://spectrum.ieee.org/semiconductors/processors/six-paths-to-longer-battery-life>



نحویز
Noise

مجله تخصصی برق و الکترونیک

نحویز
Noise

از شماره ۱ تا شماره ۱۲

پژوهه های عملی
تکنولوژی های نوین
آموزش نرم افزار
مقالات علمی

مجله تخصصی برق و الکترونیک
نحویز
Noise

www.NoiseMagazine.ECA.ir

ماهی
سنه دوهزار و هشتاد و چهارم
شماره هشتاد و هفتم
پاییز ۱۴۰۰

از شماره ۱ تا شماره ۱۲

وب سایت تخصصی
برق و الکترونیک
برق و الکترونیک
www.ECA.ir

توضیحات تکمیلی : <http://eshop.eea.ir/link/NOISE.php>

لوح فشرده مجلات شامل:

- تمامی شماره های مجله
- تخصصی برق و الکترونیک
- نويز
- سورس تمامی پروژه های موجود در مجله



نویسنده: فرشاد اکرمی

ماژول SIM900 یکی از پر کاربردترین ماژول های GSM موجود در بازار بوده که به جهت امکانات موجود بر روی این ماژول در بیشتر مصارفی که نیاز به ارتباط GSM و اتصال به شبکه های موبایل لازم باشد از این مورد استفاده قرار می گیرد.

نحوه برقراری ارتباط با این ماژول بسیار ساده می باشد. با ارتباط سریال دستورات به ماژول ارسال و ماژول طبق دستورات ذخیره شده در خود، عملیات متناظر با دستور مورد نظر را انجام می دهد.

علاوه بر اساس دیتاشیت طراحی نگردد، این ماژول تاحدی مشکل بوده و در صورتی که قطعات و طراحی PCB بر اساس دیتاشیت طراحی نگردد، این ماژول راه اندازی نشده و کار نخواهد کرد.

همین مشکل باعث گشته تا بسیاری از کسانی که برای اولین بار می خواهند از این ماژول استفاده نمایند، در مرحله راه اندازی دچار مشکل شده و دلسوز گردند. بهترین راه برای جلوگیری از اتلاف وقت، مطالعه کامل دیتاشیت و همچنین رعایت تمامی نکات لازم جهت جلوگیری از نویز و تأمین قطعات با کیفیت می باشد.

لازم به ذکر است که این پروژه توسط LABVIEW 2011 طراحی گشته و از ماژول کاربردی صنعتی SIM900 استفاده شده است. مدار این برد بر اساس دیتاشیت ماژول SIM900 طراحی گشته و جهت دریافت اطلاعات بیشتر از مدار دستگاه می توانید به دیتاشیت این ماژول مراجعه نمایید.

بیشتر بحث بر روی برنامه LABVIEW بوده و به علت استفاده از برآمده، فقط اشاره ای به نحوه ارتباط و راه اندازی ماژول خواهیم نمود.

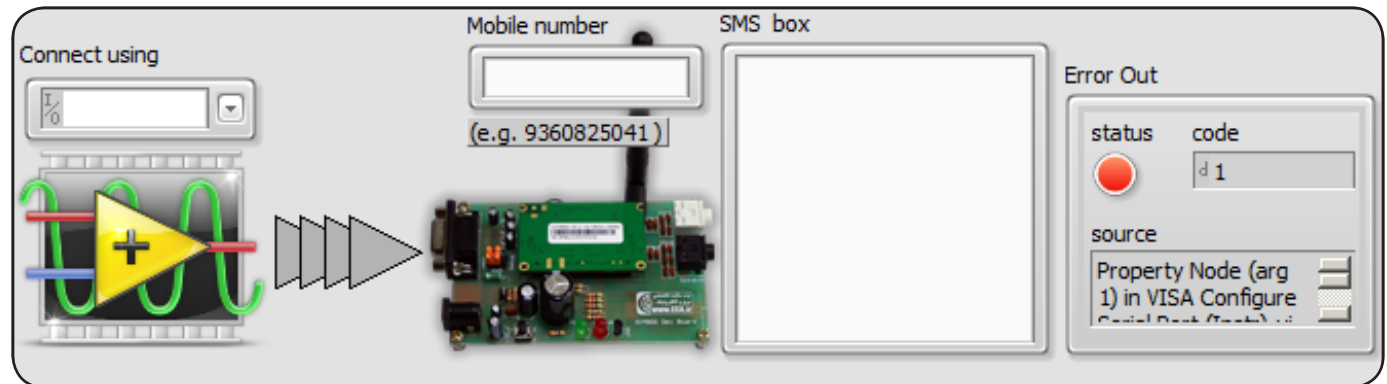
در این برنامه می خواهیم از طریق برنامه LABVIEW با ماژول SIM900 ارتباط برقرار کرده و پیام منی را به شماره مورد نظر ارسال نماییم.

نحوه ارتباط با این ماژول از طریق سریال بوده و شما می بایست برای انجام هر کاری دستور مورد نظر را به ماژول ارسال نمایید. در صورتی که از یک برنامه ترمینال سریال (همانند هایپرترمینال) استفاده نمایید، دستورات ارسال SMS در چند مرحله می باشد که در زیر مراحل نوشته شده اند.

مرحله اول، ارسال دستور "AT+CMGS="+98000000000

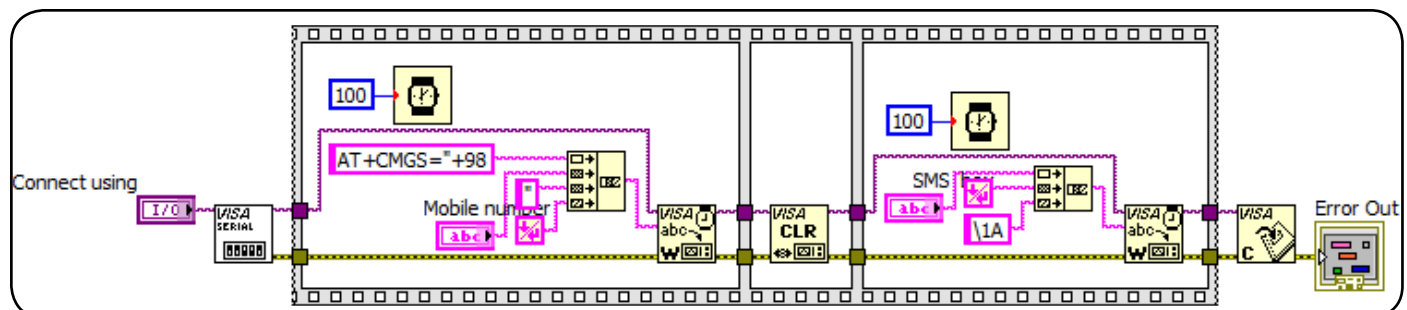


بوده که در جواب این دستور، مازول کارکتر "<" را ارسال می کند. شما در این مرحله باید متن خود را ارسال و بعد از زدن ENTER برای ارسال SMS دکمه های Cntrl+Z پیاده سازی می کنید. اکنون همین مراحل را توسط برنامه LABVIEW پیاده سازی می کنیم. برای برقراری سریال توسط نرم افزار Labview باید تولکیت Visa نصب شده باشد. بعد از نصب این تولکیت، توابع مورد نیاز برای کار کردن با پورت سریال در اختیار شما خواهند بود. شکل شماره ۱ برنامه نوشته شده برای برقراری ارتباط با مازول SIM900 است.



شکل شماره ۱: برنامه نوشته شده front panel

همانطور که در تصویر front panel مشاهده می کنید، برنامه دارای چند قسمت ساده می باشد. شما در قسمت Connect using نام پورت COM که استفاده می کنید را مشخص می کنید. در قسمت Mobile number شماره موبایلی که قصد ارسال پیامک را دارید و در قسمت SMS box متن پیامک خود را وارد خواهید کرد. در صورتی که تمامی قسمت ها را به درستی پر کرده باشید با زدن دکمه play مراحل برنامه یک بار اجرا شده و SMS شما ارسال خواهد شد. قسمت اصلی برنامه یعنی بلوك دیاگرام آن در شکل شماره ۲ نشان داده شده است.



شکل شماره ۲: بلوك دیاگرام کلی برنامه

تابع اصلی برای برقراری ارتباط با نام VISA در تصویر مشخص بوده و بقیه توابع از توابع معمولی Labview هستند. برای اینکه مراحل به ترتیب اجرا شوند، تمام برنامه در یک Flat sequence Structure نوشته شده است. اولین قسمت برنامه، تابع VISA SERIAL است که در این تابع تمامی مشخصات پورت سریالی که می خواهید از طریق آن به دستگاه متصل شوید وجود دارد. در این برنامه مانند قسمت VISA resource name خروجی گرفته ایم و مابقی قسمت ها بدون تغییر و در حالت پیش فرض قرار داده شده اند. در صورتی که احتیاج به تغییر baud rate و یا دیگر مقادیر داشتید می توانید با دوبل کلیک بر روی این تابع به مشخصات آن دسترسی یابید.

در این برنامه ۲ بار از تابع VISA abc استفاده شده است. وظیفه این تابع ارسال اطلاعات شما از طریق پورت سریال است. این تابع از چند ورودی و چند خروجی تشکیل شده است. ورودی های که در این برنامه استفاده شده اند شامل write buffer و VISA resource name می باشد.

ورودی VISA resource name به VISA SERIAL متعلق شده و تنظیمات سریال را دریافت کرده و ورودی write buffer به یک باکس string متعلق می گردد. در مرحله اول ما می خواهیم شماره موبایل را از کاربر دریافت و به مازول ارسال نماییم. تنها متغیر این قسمت شماره موبایل بوده و بقیه دستورات ثابت هستند، به همین منظور بقیه دستورات بصورت ثابت درون بلوك دیاگرام قرار داده شده است. برای اینکه چند متن string را به هم چسبانده و به تابع VISA Write ارسال کنیم، از تابع Concatenate Strings استفاده شده است. این تابع چند متن string را به یکدیگر چسبانده و در خروجی یک string کامل را ارائه می دهد. همانطور که در برنامه مشاهده می کنید، این تابع ۴ تکه، که تکه اول دستور AT+CMGS="+98" و سپس شماره موبایل که کاربر وارد می نماید و سپس علامت " و سپس Enter را به هم متصل و به تابع سریال ارسال می کند. دستور خروجی این تابع به صورت AT+CMGS="+980000000000" Enter ارسال می شود. عدد +98 پیش شماره شبکه مخابراتی ایران بوده و هر کشور عدد مخصوص به خود را دارد.

مرحله بعدی اجرای تابع VISA Clear است. وجود این تابع در برنامه الزامی نیست و فقط برای پاک نمودن

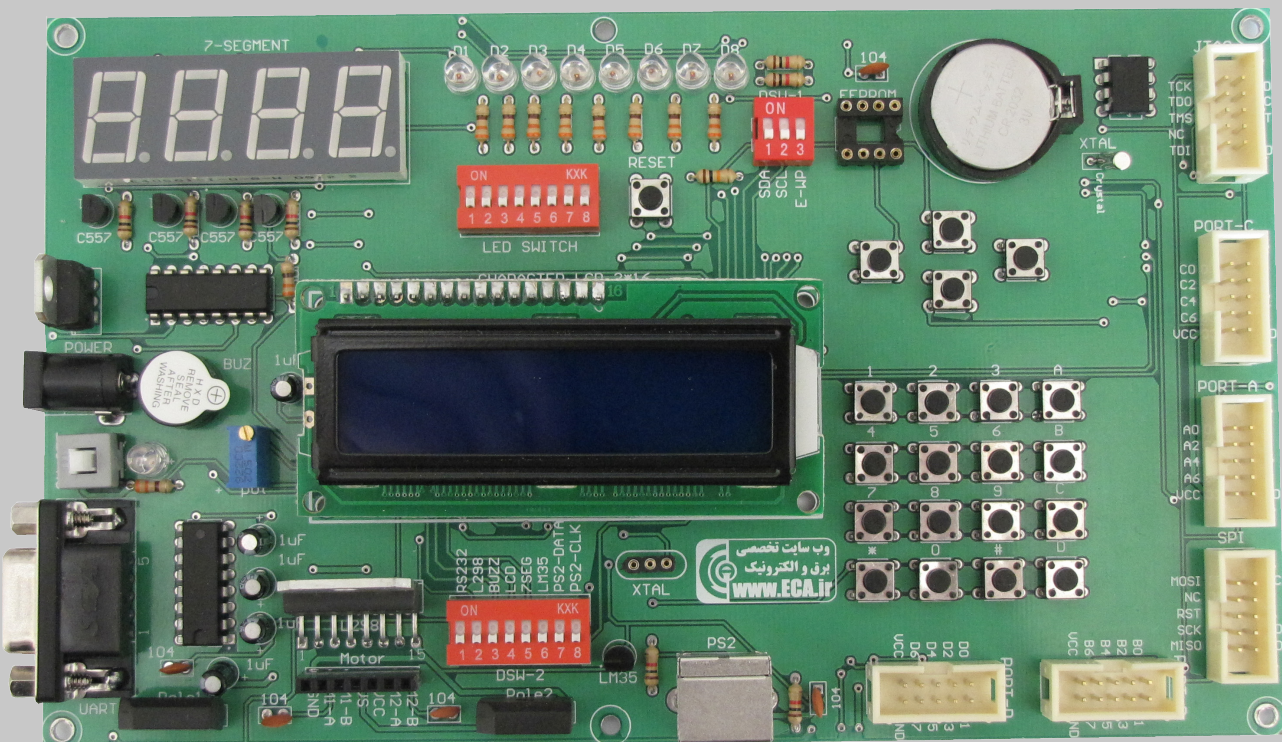
اطلاعات قبلی در بافر سریال می باشد. در صورتی که این تابع قرار نگیرد، به هنگام ارسال SMS دستور قبلی "AT+CMGS="+980000000000 نیز به همراه SMS ارسال خواهد شد.

در قسمت بعدی متن SMS از کاربر دریافت و همانند قسمت اول از طریق تابع Concatenate به هم متصل و از طریق VISA Write ارسال می شود. عبارت 1A\1 مقدار متناظر Ctrl+Z برای ارسال دستور SMS می باشد.

مرحله نهایی استفاده از تابع VISA Close است. در صورتی که ارتباط سریال شما یکطرفه باشد، بهتر است از این توابع تأخیر در ۲ مرحله از تابع تأخیر استفاده شده است. در صورتی که ارتباط سریال شما یکطرفه باشد، بهتر است از این توابع تأخیر جهت درست اجرا شدن برنامه استفاده نمایید.

دیگر دستورات SIM900 را به همین نحو می توانید استفاده نمایید. برای دریافت تمامی دستورات SIM900 می توانید به فایل های ضمیمه مراجعه نمایید.

AVR Microcontrollers Training Board



امکانات دستگاه :

۱. میکرو کنترلر ATMEGA 32A
۲. LCD 2x16 کاراکتری
۳. درایور موتور L298
۴. پورت سریال RS232
۵. پورت PS2
۶. ۸ عدد LED
۷. ۴ تایی 7SEGMENT
۸. IC ساعت DS1307 و باتری بک آپ EEPROM
۹. بارز
۱۰. صفحه کلید 4x4
۱۱. شستی برای استفاده از اینترپت
۱۲. سنسور دما LM35
۱۳. پروگرامر STK200/300
۱۴. BOX 2x5
۱۵. خروجی تمامی پورت ها به صورت JTAG و ISP
۱۶. نمودن میکروکنترلر

توضیحات تکمیلی : <http://eshop.eca.ir/link/748.php>

آنچه شما در دانلود ستر ECA خواهید یافت :

مقالات علمی، آموزشی

مقالات علمی و آموزشی در تمام زمینه های برق و الکترونیک و علوم مرتبط آموزش زبان های برنامه نویسی، طراحی مدرارات، تکنولوژی های نوین و ... آموزش نرم افزارهای تخصصی برق و الکترونیک



پروژه های تکمیل شده

پروژه های کاملاً عملی و تست شده به همراه توضیحات کامل در زمینه های تخصص برق و الکترونیک میکروکنترلرهای ARM، AVR، PIC و مدارهای مجتمع خطی ، مدارات آنالوگ ، کنترل، مخبارات و ...



سوالات کنکور

مجموعه سوالات کنکورهای کارشناسی ناپیوسته، کارشناسی ارشد و دکترا نمونه سوالات آزمون های ورودی و استخدامی دانشگاه های سراسری، آزاد و پیام نور



جزوات دانشگاهی

مجموعه جزوات درسی در مقاطع مختلف و دانشگاه های مختلف کشور گزارش کارهای آزمایشگاهی جزوایات کنکور و درسی پرترین استادی کشور



کنفرانس های داخلی

مقالات معتبرترین کنفرانس های داخلی کشور کنفرانس های کشوری و بین المللی پرگذار شده در دانشگاه ها و ارگان های دولتی



دانلود ستر ECA

کاربرد نیمه هادی ها در روش های مختلف استفاده از انرژی خورشیدی



نویسنده: علی بابروخانی
Yabaroughi@gmail.com

انرژی فتوولتائیک

انرژی فتوولتائیک (انرژی خورشیدی) تبدیل نور خورشید به الکتریسیته از طریق یک سلول فتوولتائیک (PVS) می باشد، که بطور معمول یک سلول خورشیدی نامیده می شود. سلول خورشیدی وسیله ای است برای تولید مستقیم الکتریسیته از نور مرئی و به عبارت دیگر این سلول ها الکتریسیته (برق)، با قدرت مفید ایجاد می کنند. این سلول ها یک ابزار غیر مکانیکی هستند که معمولاً از آلیاز سیلیکون ساخته می شود. نور خورشید از فوتون ها یا ذرات انرژی خورشیدی خورشیدی ساخته شده است. این فوتون ها که مقادیر متغیر انرژی را شامل می شوند، درست مشابه با طول موج های متفاوت طیف های نوری هستند. وقتی فوتون ها به یک سلول فتوولتائیک برسند، ممکن است منعکس شوند، مستقیم از میان آن عبور کنند و یا جذب شوند. فقط فوتون های جذب شده انرژی را برای تولید الکتریسیته فراهم می کنند. وقتی که نور خورشید کافی یا انرژی توسط جسم نیمه رسانا جذب شود، الکترون ها از اتم های جسم جدا می شوند. (به دلیل اینکه آخرین الکترون یک اتم با گرفتن انرژی فوتون به لایه بالاتر رفته و می تواند از میدان پرتوان خلاص شده و آزادانه در نیمه رسانا حرکت کند). رفتار خاص سطح جسم در طول ساختن باعث می شود سطح جلویی سلول که برای الکترون های آزاد بیشتر پذیرش یابد. بنابراین الکترون ها بطور طبیعی به سطح مهاجرت می کنند.

زمانی که الکترون ها موقعیت N را ترک می کنند، سوراخ هایی شکل می گیرد که تعداد الکترون ها زیاد بوده و هر کدام یک بار منفی را حمل می کنند و به طرف جلو سطح سلول پیش می روند. در نتیجه عدم توازن بار بین سلول های جلویی و سطوح عقبی یک پتانسیل ولتاژ شبیه قطب های مثبت و منفی یک باتری ایجاد می شود. وقتی که دو سطح از میان یک راه داخلی مرتبط می شود، الکتریسیته جریان می یابد. سلول فتوولتائیک قاعده بلوک ساختمان یک سیستم PV است. سلول های انفرادی می توانند در اندازه هایی از حدود ۱ cm تا ۱۰ cm از این سو به آن سو متغیر باشند. معمولاً ولتاژ خروجی اسمی یک صفحه خورشیدی ۱۲ ولت است.

کاربرد نیمه هادی ها در روش های مختلف استفاده از انرژی خورشیدی

کاربرد سلول های فتوولتائیک

سلول های فتوولتائیک کاربرد بسیار ساده ای دارند. سلول های تکی برای فراهم کردن انرژی مورد نیاز دستگاه های کوچکتر مانند ماشین حساب های الکترونیکی به کار می روند. آرایه های فتوولتائیک، الکتریسیته ای را تولید می کنند که قابل بازیافت است و عمدها در موارد نبود سیستم انتقال و توزیع الکترونیکی به کار می رود. برای مثال می توان به محل های دور از دسترس، ماهواره های مدارگرد، کاوشگرهای فضایی و ساختمان های مخابراتی دور از دسترس اشاره کرد. علاوه بر این استفاده از این نوع انرژی امروزه در محل هایی که شبکه توزیع وجود دارد نیز استفاده می شود.

باتری خورشیدی

انرژی که از طریق خورشید به زمین می رسد ۱۰۰۰۰ بار بیشتر از انرژی مورد نیاز انسان است. در مرکز خورشید هر ثانیه ۷۰۰ تن هیدروژن به انرژی تبدیل می شود (به صورت فوتون یا نوترون). دمای خورشید در مرکز آن ۱۵ میلیون و در سطح آن ۶ هزار درجه سانتیگراد است. انرژی تولید شده در سطح خورشید بعد از ۸ دقیقه به سطح زمین می رسد. نور خورشید که به زمین می رسد شامل طول موج های ۴۷ درصد فرو سرخ، ۴۶ درصد نور مرئی، ۷ درصد فرابنفش است. از این رو سلول های خورشیدی باید در ناحیه فرو سرخ و نور مرئی جذب بالایی داشته باشند. باتری های خورشیدی معمولاً از مواد نیمه رسانا و مخصوصاً سیلیسیم تشکیل شده اند. هر اتم سیلیسیم با چهار اتم دیگر پیوند تشکیل می دهد و بدین صورت، شکل کریستالی آن پدید می آید. در باتری های خورشیدی به سیلیسیم مقداری جزئی ناخالصی اضافه می کنند. اگر اتم ناخالصی ۵ ظرفیتی باشد (اتم سیلیسیم ۴ ظرفیتی است)، آنگاه در ارتباط با چهار اتم سیلیسیم یک لایه ای آن بدون پیوند باقی می ماند (یک تک الکترون). به همین دلیل چون بار نسبی منفی پیدا می کند به آن سیلیسیم نوع N می گویند. در صورتی که اتم ناخالصی دارای ظرفیت ۳ باشد، آنگاه یک حفره اضافی ایجاد می شود. حفره را به گونه ای می توان گفت که جای خالی الکترون است، با بار مثبت (به اندازه الکtron) و جرمی برایر با جرم الکترون. که این امر هم باعث مثبت شدن نسبی ماده می شود و به آن سیلیسیم نوع P می گویند. هر باتری خورشیدی از ۶ لایه تشکیل شده که هر لایه را ماده ای خاص تشکیل می دهد.

عملکرد باتری خورشیدی

با اتصال یک نیمه هادی نوع P به یک نیمه هادی نوع N الکترون ها از ناحیه N به ناحیه P و حفره ها از ناحیه P به ناحیه N منتقل می شوند. با انتقال هر الکترون به ناحیه P، یک یون مثبت در ناحیه N و با انتقال هر حفره به ناحیه N یک یون منفی در ناحیه P باقی می ماند. یون های مثبت و منفی میدان الکتریکی داخلی ایجاد می کنند که جهت آن از ناحیه N به ناحیه P است. این میدان با انتقال بیشتر باربرها (الکترون ها و حفره ها)، قوی تر و قویتر شده تا جایی که انتقال خالص باربرها به صفر می رسد. در این شرایط ترازهای فرمی دو ناحیه با یکدیگر هم سطح شده اند و یک میدان الکتریکی داخلی نیز شکل گرفته است. اگر در چنین شرایطی، نور خورشید به پیوند بتابد، فوتون هایی که انرژی آنها از انرژی شکاف نیمه هادی بیشتر است، زوج الکترون-حفره تولید کرده و زوج هایی که در ناحیه تهی یا حوالی آن تولید شده اند، شانس زیادی دارند که قبل از بازتر کیب، توسط میدان داخلی پیوند از هم جدا شوند.

میدان الکتریکی، الکترون ها را به ناحیه N و حفره ها را به ناحیه P سوق می دهد. به این ترتیب تراکم بار منفی در ناحیه N و تراکم بار مثبت در ناحیه P زیاد می شود. این تراکم بار، به شکل ولتاژی در دو سر پیوند قابل اندازه گیری است. اگر دو سر پیوند با یک سیم، به یکدیگر اتصال کوتاه شود، الکترون های اضافی ناحیه N از طریق سیم به ناحیه P رفته و جریان اتصال کوتاهی را شکل می دهد. اگر به جای سیم از یک مصرف کننده استفاده شود، عبور جریان از مصرف کننده، به آن انرژی می دهد. به این ترتیب انرژی فوتون های نور خورشید به انرژی الکتریکی تبدیل می شود. هر چه میدان الکتریکی درون پیوند قوی تر باشد، ولتاژ مدار باز بزرگتری بدست می آید. برای دست یافتن به یک میدان الکتریکی بزرگ، باید اختلاف ترازهای فرمی دو ماده P و N از یکدیگر زیاد باشد. برای این منظور باید انرژی شکاف نیمه هادی بزرگ انتخاب شود. بنابراین ولتاژ مدار باز یک سلول خورشیدی با انرژی شکاف آن افزایش می یابد. اما افزایش انرژی شکاف سبب می شود، فوتون های کمتری توانایی تولید زوج الکترون-حفره داشته باشند و بنابراین جریان اتصال کوتاه کمتری نیز



تولید شود. بنابراین افزایش انرژی شکاف، روی ولتاژ مدار باز و جریان اتصال کوتاه سلول دو اثر متفاوت دارد.

فناوری های ساخت سلول های خورشیدی

در حال حاضر دو فناوری در ساخت سلول های خورشیدی غالب است: فناوری نسل اول و نسل دوم. فناوری نسل اول بر پایه ویفرهای سیلیکونی با ضخامت ۳۰۰-۴۰۰ میکرومتر است که ساختاری بلوری یا چند بلوری دارند که یا از بردین شمش بدست می آیند یا از روش EFG و با کمک خاصیت موینگی رشد داده می شوند. فناوری نسل دوم یا

تکنولوژی لایه نازک، براساس لایه نشانی نیمه هادی روی بسترهای شیشه‌ای، فلزی یا پلیمری، در ضخامت های ۳-۵ است. هزینه مواد اولیه در تکنولوژی نسل دوم، پایین‌تر است و از آن گذشته، اندازه سلول تا ۱۰۰ برابر بزرگتر از اندازه سلول ساخته شده با تکنولوژی نسل اول است که مزیتی برای تولید انبوه آن محسوب می شود. در عوض بازدهی سلول های نسل اول، که اغلب سلول های بازار را تشکیل می دهند، به دلیل کیفیت بالاتر مواد، از بازدهی سلول های نسل دوم بیشتر است. انتظار می رود اختلاف بازدهی میان سلول های دو نسل با گذشت زمان کمتر شده و تکنولوژی نسل دوم جایگزین نسل اول شود.

در سال ۱۹۶۱ Shockley و Queisser با در نظر گرفتن یک سلول خورشیدی پیوندی به شکل بک جسم سیاه با دمای ۳۰۰ کلوین نشان دادند که بیشترین بازدهی یک سلول خورشیدی صرف نظر از نوع تکنولوژی بکار رفته در آن، ۳۰٪ است که در انرژی شکاف ۵٪. ۴ یعنی انرژی شکاف گالیم آرسناید بدست می آید. بنابراین بازدهی سلول های خورشید نسل اول و دوم حتی در بهترین حالت نمی تواند از حوالی ۳٪ بیشتر شود. این در حالی است که حد کارنو برای تبدیل انرژی خورشیدی به انرژی الکتریکی ۹۵٪ است. و این مقدار تقریباً سه برابر بیشتر از بازدهی نهایی سلول های نسل اول و دوم است. بنابراین دستیابی به سلول هایی با بازدهی های دو تا سه برابر بازدهی های کنونی، امکان پذیر است. سلول های خورشیدی که دارای چنین بازدهی هایی باشند، نسل سوم سلول های خورشیدی نامیده می شوند. سلول های متوالی، سلول های خورشیدی چاه کوانتوسی، سلول های خورشیدی نقطه کوانتومی، سلول های حامل داغ، نسل سوم سلول های خورشیدی را تشکیل می دهند.

کاربرد دیودها در سلول های خورشیدی با چیدمان های مختلف

همانطور که در قسمت های بالا ذکر شد، دیود یک قطعه الکتریکی است که به سبب یکسو سازی مسیر جریان الکتریکی در مدار استفاده می شود. دیود به عنوان یک قطعه الکتریکی داخل مدارها در دو نوع به کار گرفته می شود:

- سلول های تبدیل انرژی
- یکسو سازی جریان

در حقیقت صفحات خورشیدی شامل سلول های PV (فتوولتائیک) هستند که به صورت سری یا موازی بسته می شوند. هر سلول یک واحد تولید کننده الکتریسیته است. یک صفحه خورشیدی با ۳۶ سلول (هر سلول نزدیک به ۵.۰ ولت الکتریسیته تولید می کند) که به صورت سری به هم متصل آند، توانایی تولید ۱۸ ولت الکتریسیته را دارا هستند که برای شارژ کردن باتری های ۱۲ ولتی به کار می روند. اگر ظرفیت باتری ها بیشتر از ۱۲ ولت باشد می بایست چندین صفحه خورشیدی به حالت سری با سیم به هم وصل کنیم تا ولتاژ مورد نیاز جهت پر کردن باتری ها افزایش پیدا کند. برای مثال دو صفحه متصل به هم که نزدیک به ۳۶ ولت برق تولید می کند برای شارژ کردن یک باتری ۲۴ ولتی استفاده می شود. اگر افزایش



شارژ را بخواهیم بر حسب آمپر بیان کنیم دو یا چند صفحه خورشیدی که به صورت موازی به همدیگر متصل می شوند می توانند مقدار آمپر خروجی را افزایش دهند.

هر سلول PV (فتوولتائیک) یکی از این دو عمل را انجام می دهد:

یا نیروی الکتریکی تولید می کند و یا نیروی الکتریکی تولید شده را مصرف می کند، که این امر بستگی دارد به این که سلول ها را در معرض نور خورشید قرار دهیم یا نه. همچنین دیودها در یکسو ساختن جریان های موجود در صفحات خورشیدی و یا باطری های خورشیدی که به صورت موازی بسته شده اند استفاده می شود. آنها (دیودها) از برگشت جریان الکتریکی موجود در سیم ها در حالت موازی ممانع می کنند؛ مانند دیودهای قدرت مصرف کننده. تخلیه الکتریکی نیروی تولید شده نیز از طریق سری کردن باطری هایی که این نیرو در آن ها ذخیره شده، در شب و در زمانی که سلول ها به طور کامل در تاریکی هستند اتفاق می افتد.

همچنین در موقعي که صفحات خورشیدی را به طور سری به مجموعه اضافه کنیم، از دیودها در یک محل انشعابی استفاده می کنیم. در حقیقت با وجود دیودها شاهد یک عایق بسیار قوی و مستحکم در مسیر اصلی جریان هستیم. در این جا دیود یک عایق داخلی است که زمانی که در معرض نور خورشید قرار می گیرد نقش خود را بسیار پر اهمیت تر از سلول های فتوولتائیک نشان می دهد. زمانی که سلول یا صفحه خورشیدی در حالت سری در مکانی باشد که نور خورشید به آن نرسد (و نیروی پتانسیل آن در حال مصرف باشد)، مقاومت و سختی سلول یا صفحه خورشیدی به طور شگرفی افزایش می یابد. در این حالت دیود می تواند با ایجاد یک مسیر باریک و انشعابی این مقاومت و سختی را به حداقل کاهش دهد. وقتی جریان الکتریکی بخواهد از مسیری باریک با مقاومت کم عبور کند، با اعمال نیرو مسیر خود را منحرف کرده و از دیود می گذرد و به صورت یک جریان متناوب پیرامون سلول فتوولتائیک را احاطه می کند تا به صفحه خورشیدی بعدی بررسد و به همین ترتیب تا انتهای مدار پیش می رود. در این هنگام ولتاژ کاسته شده در حین مسیر دوباره از طریق رفع کردن سلول، فعال شده و افزایش می یابد.

PIC USB PROGRAMMER



جهت استفاده از میکروکنترلرهای PIC ساخت شرکت میکروچیپ شما به یک پروگرامر احتیاج خواهید داشت. روش های متعددی جهت پروگرام کردن میکرووهای PIC از قبیل استفاده از پورت پرینتر و یا سریال وجود دارد، ولی در دنیای امروزی این پورت ها به علت کم بودن موارد مصرف دیگر بر روی رایانه های شخصی نصب نبوده و حتی بر روی رایانه های همراه نیز دیگر وجود نداشته و شما می بایست با خرید وسایل جانبی این پورت ها را نصب نمایید. ولی در عوض بر تعداد پورت های USB موجود بر روی رایانه ها افزایش یافته و امروزه رایانه ای بدون پورت USB موجود نمی باشد. این پروگرامر نیز بر اساس تکنولوژی USB طراحی گشته و به این معنی بوده که شما می توانید در هر رایانه از آن استفاده نمایید. در زیر خلاصه ای از مزایای این پروگرامر لیست شده است.

Device Programming Support

- PIC10
- PIC12
- PIC16
- PIC18
- PIC24
- dsPIC30
- dsPIC33
- PIC32
- KEELOQ® HCS
- 11 Series Serial EEPROM
- 24 Series Serial EEPROM
- 25 Series Serial EEPROM
- 93 Series Serial EEPROM
- MCP250xx CAN

USB2.0 پورت های با پورت تمامی میکروکنترلرهای PIC با بسته بندی DIP از طریق یک زیف سوکت

پشتیبانی از طریق نرم افزارهای مورد تأیید شرکت میکروچیپ

بدون نیاز به تغذیه خارجی (تغذیه از طریق پورت USB)

سوکت iCSPI به منظور پروگرام کردن انواع میکروکنترلرهای pic خارج از پروگرام

قابلیت شناسایی و DETECT

قابلیت به روز رسانی Firmware به صورت خودکار

قابلیت برگرم کردن میکرو های ۳.۳ ولتی

بدون نیاز به نصب درایور

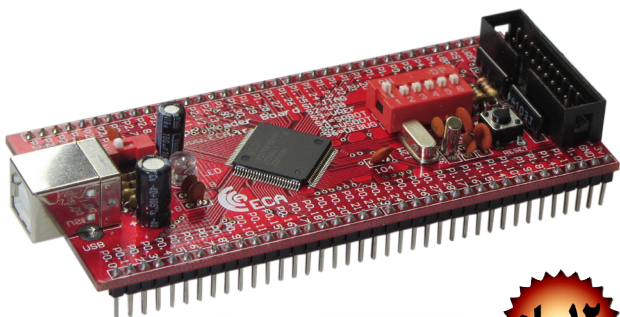
سازگاری با تمامی سیستم عامل ها (Linux/Mac OS X /Windows)

دارای لایه محافظ زیر بورد

۱۲ ماه گارانتی تعویض

توضیحات تکمیلی : <http://eshop.eca.ir/link/620.php>

LPC1768 Cortex-M3 Header Board



Cortex
Intelligent Processors by ARM®

کارانتینه ۱۲ ماهه

هدربرد (برد راه انداز) میکروکنترلرهای CORTEX M3 با امکانات اولیه جهت کار با میکروکنترلرهای LPC1768 شرکت فیلیپس. با توجه به ۱۰۰ پایه بودن میکرو، دو ردیف پین هدر در اطراف برد قرار گرفته که بر روی ۲ برده برد چسبیده به هم قابل قرار گیری است. از دیگر مزایای این برد راه انداز، تأمین ولتاژ مورد نیاز میکرو از طریق پورت USB به همراه کلید قطع وصل می باشد. یکی از امکانات ویژه این برد قابلیت پروگرام نمودن میکرو از طریق پورت USB می باشد. در این روش شما هیچ احتیاجی به سخت افزار خاصی نداشته و فقط از طریق وصل نمودن کابل USB به رایانه می توانید میکروکنترلر را پروگرام نمایید. جهت پروگرام کردن این میکرو می توانید از ۲ طریق ارتباط پورت USB و یا پورت JTAG اقدام نمایید.

◆ حداقل مدار جهت راه اندازی میکروکنترولر LPC1768

◆ بدون نیاز به پروگرامر، مجهز به بوت لودر USB

◆ دارای خروجی تمام پایه های ورودی خروجی به ترتیب شمارشی

◆ دارای کانکتور full speed USB 2.0

◆ امکان نصب مستقیم برد بر روی برده برد

◆ دارای خروجی ولتاژهای ۳.۳ و ۵ ولت

◆ دارای کلید قطع و وصل تغذیه

◆ امکان فعل و غیر فعل کردن پورت های تمامی امکانات جانبی میکرو، از قبیل ... USB ، JTAG ، DEBUG ، VREF

◆ دارای خروجی کانکتور JTAG استاندارد

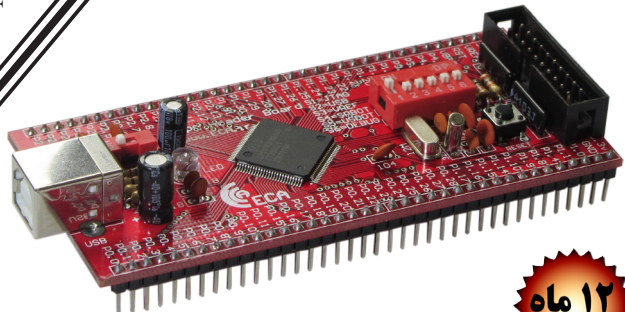
◆ دارای دکمه RESET

◆ کریستال 32.768KHZ برای راه اندازی RTC داخلی

◆ کریستال ۱۲ مگاهرتز برای راه اندازی میکروکنترلر

توضیحات تکمیلی : <http://eshop.eca.ir/link/876.php>

LPC2368 Header Board



کارانتینه ۱۲ ماهه

◆ حداقل مدار جهت راه اندازی میکروکنترولر LPC2368

◆ بدون نیاز به پروگرامر، مجهز به بوت لودر USB

◆ دارای خروجی تمام پایه های ورودی خروجی به ترتیب شمارشی

◆ دارای کانکتور full speed USB 2.0

◆ امکان نصب مستقیم برد بر روی بر روی برده برد

◆ دارای خروجی ولتاژهای ۳.۳ و ۵ ولت

◆ دارای کلید قطع و وصل تغذیه

◆ امکان فعل و غیر فعل کردن پورت های تمامی امکانات جانبی میکرو، از قبیل ... VREF

◆ دارای خروجی کانکتور JTAG استاندارد

◆ دارای دکمه RESET

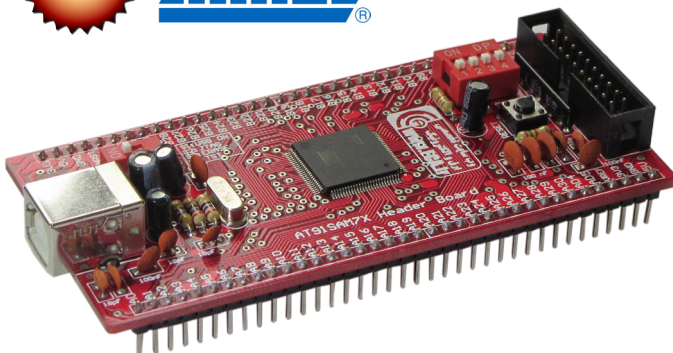
◆ کریستال 32.768KHZ برای راه اندازی RTC داخلی

◆ کریستال ۱۲ مگاهرتز برای راه اندازی میکروکنترلر

توضیحات تکمیلی : <http://eshop.eca.ir/link/877.php>



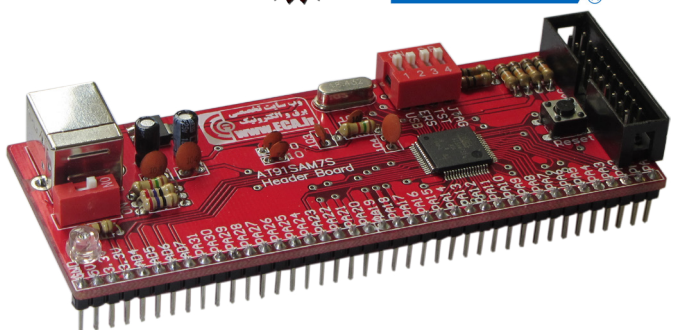
AT91SAM7X256 Header Board



- امکانات اولیه جهت راه اندازی میکروکنترلر AT91SAM7X256
- بدون نیاز به پروگرامر
- دارای خروجی تمام پایه های ورودی خروجی
- امکان نصب مستقیم بر روی بردبرد
- دارای خروجی ولتاژهای ۳.۳ و ۵ ولت
- امکان استفاده از پروگرامر SAM-BA
- دارای پورت JTAG
- امکان کنترل پایه های TST, JTAGSELT و ERASE با استفاده از دیپ سوئیچ
- داری ۱۲ ماه گارانتی تعویض

توضیحات تکمیلی : <http://eshop.eca.ir/link/601.php>

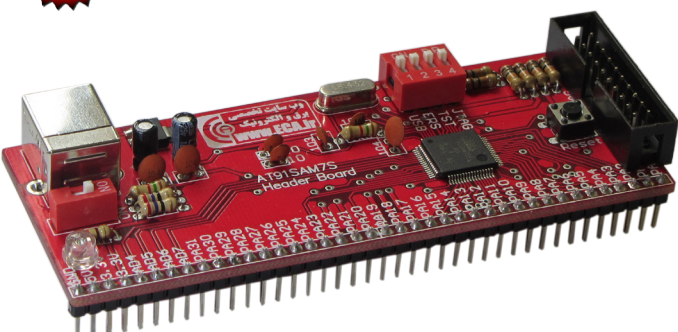
AT91SAM7S256 Header Board



- امکانات اولیه جهت راه اندازی میکروکنترلر AT91SAM7S256
- بدون نیاز به پروگرامر
- دارای خروجی تمام پایه های ورودی خروجی
- امکان نصب مستقیم بر روی بردبرد
- دارای خروجی ولتاژهای ۳.۳ و ۵ ولت
- امکان استفاده از پروگرامر SAM-BA
- دارای پورت JTAG
- امکان کنترل پایه های TST, JTAGSELT و ERASE با استفاده از دیپ سوئیچ
- داری ۱۲ ماه گارانتی تعویض

توضیحات تکمیلی : <http://eshop.eca.ir/link/641.php>

AT91SAM7S64 Header Board



- امکانات اولیه جهت راه اندازی میکروکنترلر AT91SAM7S64
- بدون نیاز به پروگرامر
- دارای خروجی تمام پایه های ورودی خروجی
- امکان نصب مستقیم بر روی بردبرد
- دارای خروجی ولتاژهای ۳.۳ و ۵ ولت
- امکان استفاده از پروگرامر SAM-BA
- دارای پورت JTAG
- امکان کنترل پایه های TST, JTAGSELT و ERASE با استفاده از دیپ سوئیچ
- داری ۱۲ ماه گارانتی تعویض

توضیحات تکمیلی : <http://eshop.eca.ir/link/519.php>



صفحه نمایش های

OLED



OLED مخفف Organic Light Emitting Diode عبارت به معنای دیود نوری از جنس مواد آلی (ارگانیکی) می باشد. OLED نوعی صفحه نمایش یا مانیتور است که از دو الکترود و یک لایه نازک با پایه کربن تشکیل شده است. این لایه نازک کربنی بین دو الکترود قرار می گیرد یکی از الکترودها که کاتد است از جنس فلزبوده و الکترود دیگر یا آند از جنس یک ماده شفاف مانند شیشه است. لایه نازک پایه کربن از یک روزنه تزریق، یک لایه روزنه انتقال، یک لایه انتشار و یک لایه انتقال الکترون تشکیل شده است.

ساختار OLED

لایه های تشکیل دهنده OLED :

۱- لایه محافظ

۲- آند: ترمینال منفی گسیل الکترون

۳- لایه ارگانیک: دو لایه رسانا و گسیل کننده نور

۴- کاتد: ترمینال مثبت گسیل الکترون

طرز کار OLED

OLED نیز مانند LED نور را تحت روندی به نام الکتروفسفراوسنس گسیل می کنند.

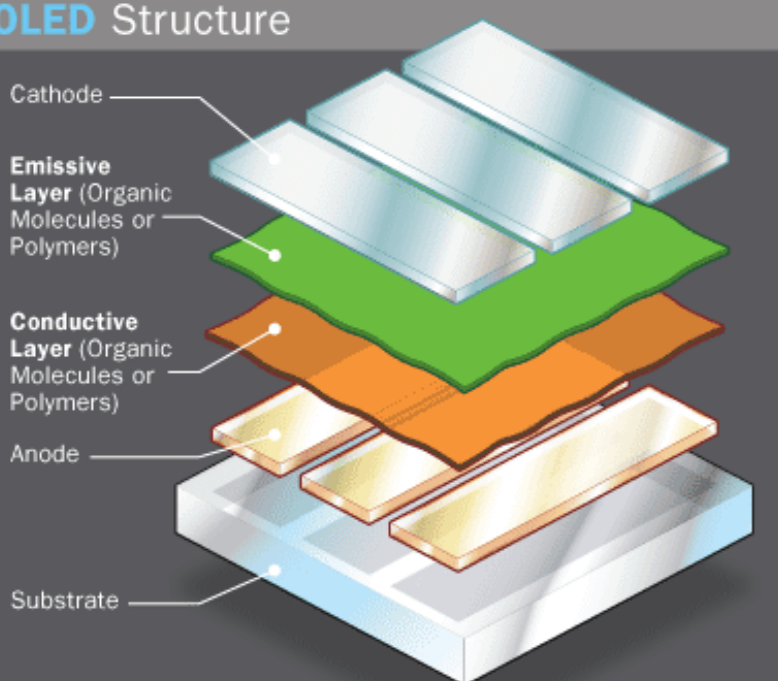
این روند به صورت زیر تشریح می شود:

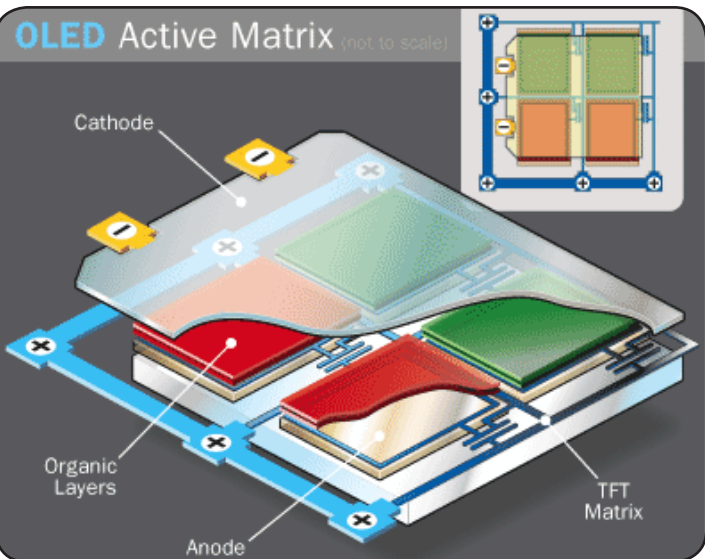
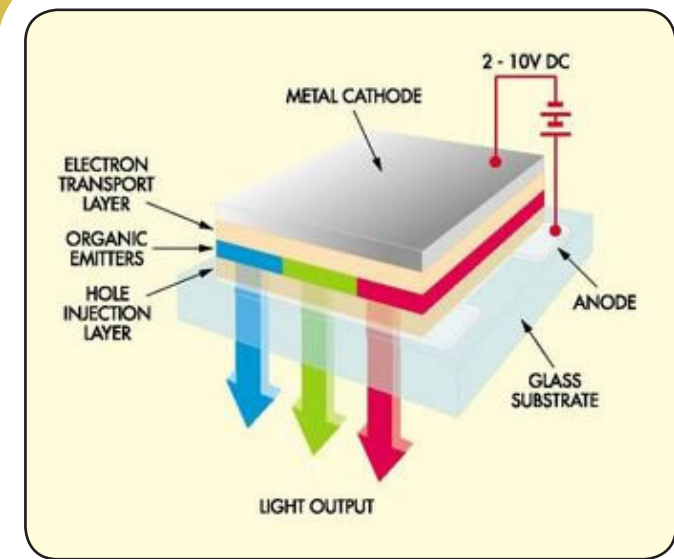
۱. ابتدا منبع برق اختلاف پتانسیلی در مدار OLED ایجاد می کند.

۲. جریان از کاتد به آند در لایه های ارگانیک شارش می کند.

۳. کاتد الکtron ها را به لایه گسیل کننده می دهد.

OLED Structure





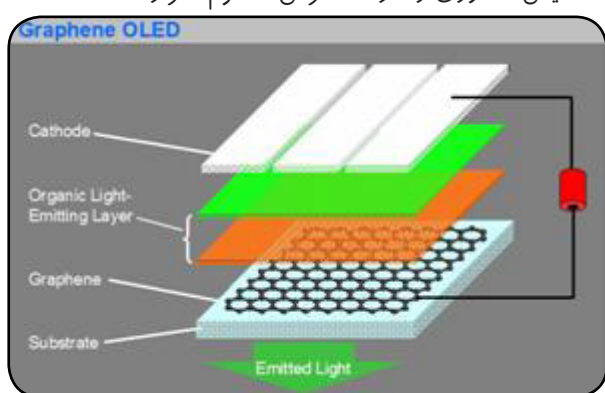
۴. آند الکترون‌هایی که به لایه رسانا می‌رسد را خارج می‌کند.

۵. در مرز بین لایه رسانا و گسیل کننده الکترون‌ها در فضاهای فاقد الکترون قرار می‌گیرد.

۶. رنگ نور نیز با توجه به جنس لایه‌های ارگانیک تعیین می‌شود.

فناوری صفحه نمایش OLED در اوایل سال ۱۹۸۰ به وسیله ایستمن کوداک اختراع شد. امروزه این فناوری در حال جایگزین شدن به جای فناوری PDA در تجهیزاتی مانند LCD ها و تلفن های موبایل است چون این نوع صفحه نمایش شفافتر، نازک‌تر و سریعتر است و نور بیشتری نسبت به مانیتورهای LCD تولید می‌کند و در عین حال مصرف برق آن هم پایین تر است به علاوه تولید انبوه آن ارزانتر تمام می‌شود.

کوچک بودن اجزای تشکیل دهنده سبب می‌شود که بتوان با استفاده از OLED کنترast های بسیار بهتری ایجاد کرد. برای مثال قرار است که تلویزیون سونی با کنترast 1:1000000 ارایه شود. اما مشکل بزرگ فعلی OLED گران بودن آن است. به طوری که فرایند تولید سخت و بسیار گران قیمت آن فعلاً این فناوری را در دسترس عموم قرار نداده است. اما بعضی ها پیش بینی می‌کنند که ظرف ۵ سال آینده خیلی از ما در خانه خود تلویزیون و نمایشگر OLED خواهیم داشت.



صفحه نمایش های OLED جدید بر اساس گرافن
پژوهشگرانی از دانشگاه استنفورد با استفاده از گرافن به عنوان الکترود شفاف توانستند به طور موفقیت‌آمیزی مدل کامل‌آجیدی از دیودهای نور-گسیل آلی (OLED) را توسعه دهند. این پیشرفت می‌تواند راه را برای تولید انبوه و ارزان OLED ها بر روی زیرلایه‌های پلاستیکی اعطاف‌پذیر با اندازه بزرگ و قیمت کم هموار کند به گونه‌ای که مانند کاغذ دیواری پیچیده شوند و در موقع لزوم استفاده گرددند.

محاسن و معایب نسبت به صفحه های نمایش LCD

با توجه به ساختار بسیار ساده پیکسل های OLED تولید اینگونه صفحه های نمایش بسیار ساده تر از صفحه های نمایش Plasma یا LCD است. OLED ها حتی می‌توانند بر روی سطوح بسیار ساده چاپ شوند و به همین دلیل هزینه تولید بسیار پایینتری نسبت به صفحه های نمایش LCD یا Plasma دارند.

بر همین اساس OLED ها را می‌توان بر روی سطوحی مانند مقوا یا لباس یا حتی کاغذهای معمولی چاپ کرد و صفحه های نمایشی بسیار نازک و زیبا را روانه بازار کرد.

در OLED ها به دلیل اینکه هر پیکسل خود ساطع نور است، روشنایی و کنترast بسیار بالاتری نسبت به صفحه های LCD را در اختیار کاربر قرار می‌دهند.

به دلیل سطوح بسیار زیاد انرژی و تفاوت میزان چگالی بارهای الکتریکی لایه OLED پیکسل های Organic Emitters به قابلیت نمایش دامنه زیادی از رنگ ها را دارا می‌باشند.

به دلیل عدم نیاز به نور پیش زمینه OLED نسبت به LCD انرژی بسیار کمتری مصرف می‌کند و برای دستگاه های قابل حمل بسیار مناسب هستند. OLED ها قابلیت مدیریت مصرف انرژی بسیار بهتری نسبت به LCD دارند، چون در رنگ های تیره به سادگی می‌توان میزان نور ساطع شده را کم کرد (یا خاموش کردن پیکسل هنگام استفاده از رنگ سیاه) اما در صفحات LCD چون همیشه نور پیش زمینه وجود دارد فقط با کم کردن میزان نور پیش زمینه می‌توان مصرف را پایین آورد.

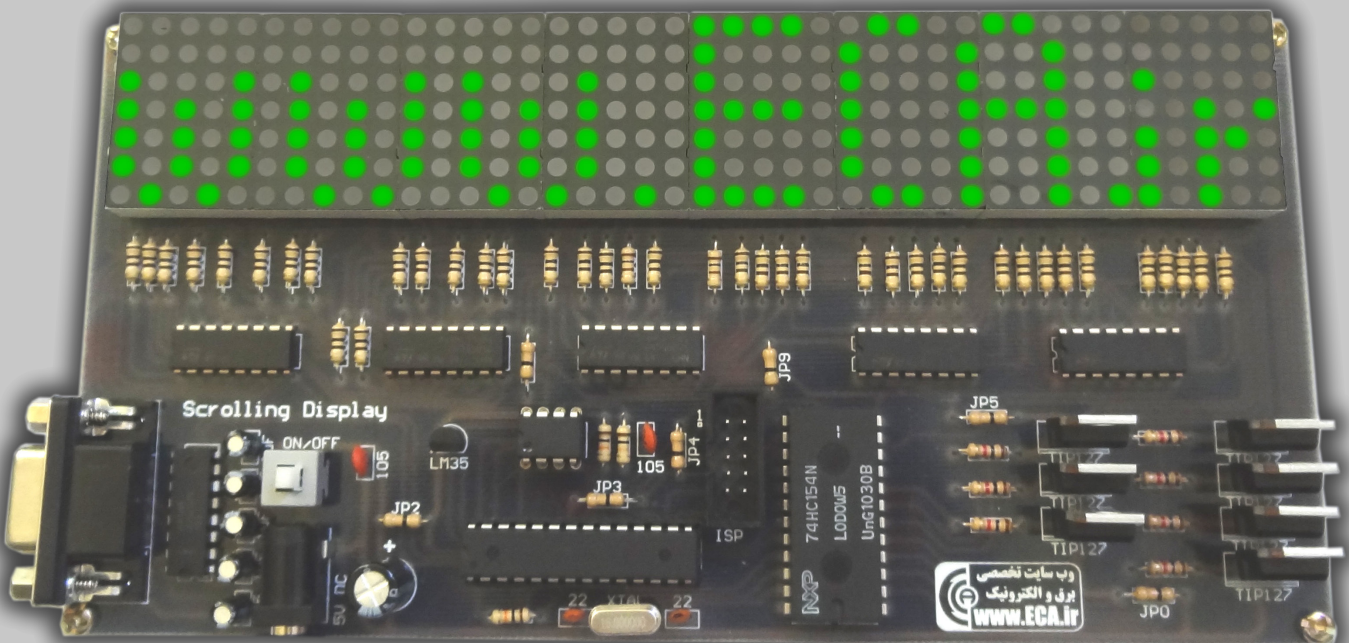
چون نور ساطع شده توسط هر پیکسل مستقل از پیکسل های دیگر است زاویه دید این صفحات کاملاً ۱۸۰ درجه (۹۰ درجه از هر طرف) بوده و هیچ وقت رنگها از زاویه های مختلف استباہ دیده نمی شوند.

صفحات OLED زمان پاسخگویی بسیار پایینی دارند؛ در حال حاضر زمان پاسخگویی سریعترین صفحات LCD نزدیک به ۲ میلی ثانیه است در حالی که صفحات OLED معمولی زمان پاسخگویی حدود ۰،۰۰۰ میلی ثانیه دارند.

اندازه پیکسل های OLED می تواند کوچکتر از پیکسل های LCD باشد به همین دلیل در یک صفحه می توان پیکسل های بیشتری را نسبت به LCD جا داد و صفحاتی با رزولوشن بالاتر تولید کرد.

تنها عیب جدی صفحات OLED کم بودن طول عمر آنهاست. پیکسل های OLED فعلی حدود ۱۴۰۰۰ ساعت عمر می کنند. (۵۸۳ روز در صورت استفاده ۷/۲۴ یا ۳ سال و دو ماه در صورت استفاده ۱۲ ساعت در روز) در حال حاضر TOSHIBA و Panasonic توانسته اند طول عمر صفحات OLED را تا دو برابر زمان فعلی افزایش دهند و هنوز هم راه هایی برای بالا بردن طول عمر وجود دارد.

برد آموزشی تابلو روان



با توجه به زیاد شدن روز افزون استفاده از تابلوهای تبلیغاتی LED بردی جهت آموزش ساخت تابلوهای روان طراحی گردیده است تا ضمن آموزش صحیح ساخت انواع تابلو روان، بستری جهت ورود علاقمندان به بازار کار فوق ایجاد گردد. در این برد آموزشی سعی گردیده تا جدیدترین و بهینه ترین روش های مورد استفاده در بازار جهت نمایش متن و تصویر بر روی تابلو، آموزش و پیاده سازی شود.

امکانات و محتویات برد آموزشی تابلو روان :

◀ صفحه نمایش ۷*۴۰ جهت نمایش نوشته

◀ سنسور دما جهت امکان نمایش دمای محیط بر روی تابلو

◀ امکان اتصال کریستال ساعت جهت نمایش ساعت و تاریخ دقیق

◀ درگاه سریال جهت اتصال به کامپیوتر

◀ EEPROM جهت ذخیره سازی اطلاعات

◀ امکان برنامه نویسی مستقیم توسط تمام کامپایلر های معتبر از قبیل Bascom و Codevision

◀ دارای پروگرامر STK300

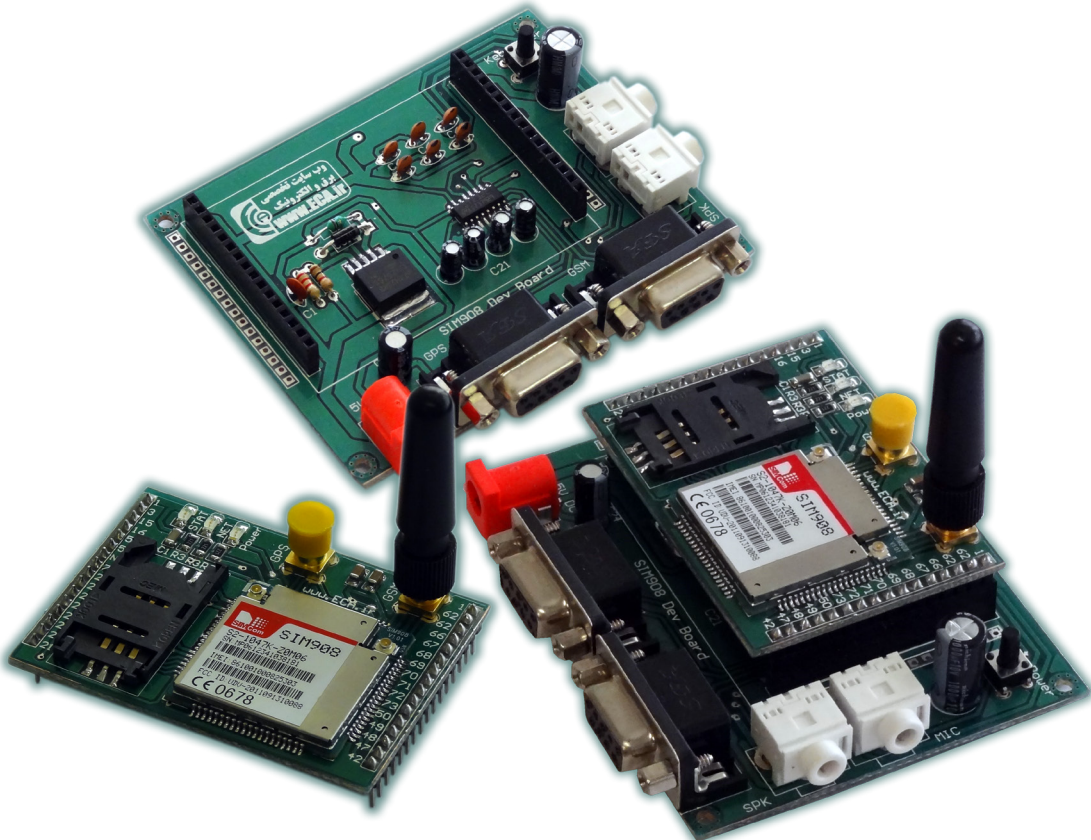
◀ کابل سریال

◀ منبع تغذیه

◀ نمونه برنامه و فونت کامل فارسی و انگلیسی، برای راه اندازی تمامی بخش های برد

توضیحات تکمیلی : <http://eshop.eca.ir/link/1264.php>

برد کاربردی صنعتی SIM908



برد کاربردی صنعتی SIM908 در حقیقت یک تلفن همراه هوشمند است که فرمان های مختلف و متنوع دستگاه های طراحی شده را به درستی دریافت و ارسال می نماید و از سوی دیگر پاسخ های مربوطه را نیز از دستگاه یا کاربر انسانی دریافت کرده و به دستگاه های طراحی شده تحویل می دهد.
امکانی که این Gsm Modem GPS را خاص نموده است دارا بودن GPS داخلی می باشد.

محتويات محصول :

- ◀ برد کاربردی صنعتی SIM908
- ◀ ۱ عدد آنتن GSM
- ◀ ۱ عدد آنتن GPS
- ◀ ۲ عدد کابل سریال
- ◀ DVD شامل راهنمای دستگاه

قابلیت های دستگاه:

- ← ارسال اطلاعات هر دستگاه به سرعت و از راه دور
- ← ارسال و دریافت اطلاعات از طریق GPS,GPRS,GSM
- ← برخورداری از مژول پیشرفته Sim908
- ← قابلیت کار کردن با تمامی اپراتورهای مخابراتی
- ← راه اندازی و استفاده فوق العاده آسان
- ← دارای کانکتورهای اسپیکر و میکروفون
- ← ارتباط ساده از طریق بسته RS232 با انواع سیستم ها و PLC ها
- ← تحقق رویای دسترسی سریع آسان و ارزان به اطلاعات دستگاه های مستقر در مکان های بسیار دور از محل کار مشتریان
- ← مجهر کردن دستگاه های الکترونیکی به یک موبایل هوشمند
- ← تهییه ردیاب دستی
- ← سرعت سنج های ماهواره ای
- ← مسافت و تنظیم ساعت های بسیار دقیق
- ← هماهنگ سازی زمان های عملکرد و دستگاه های توزیع شده در موقعیت های جغرافیایی مختلف
- ← ساخت انواع دستگاه های رهیاب
- ← جاسازی دستگاه های صنعتی جهت کشف موقعیت جغرافیایی آنها
- ← ساخت ردیاب کودکان و سالمندان
- ← استفاده در پروژه های دانش بنیان

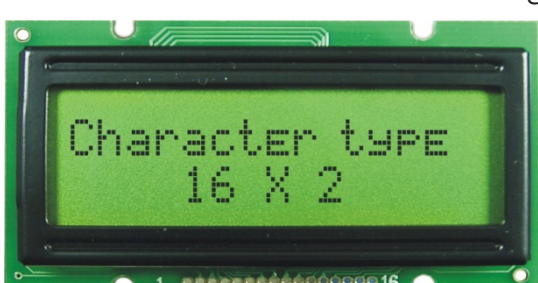
توضیحات تکمیلی : <http://eshop.eca.ir/link/1414.php>

آموزش ارتباط با دات ماتریس درایور HD44780 کاراکتری و نوشتن کتابخانه برای LCD



شاید LCD کاراکتری یکی از پر کاربردترین user interface ها در مدارات میکروکنترلری باشد که بی شک مهمترین دلیل آن سادگی راه اندازی و برقراری ارتباط با این نوع نمایشگر می باشد. درایور موجود در این LCD ها غالباً کنترلر HD44780 ساخت هینچی بوده که وظیفه کنترلر مورد استفاده دریافت دستورات از میکروکنترلر و خاموش و روشن کردن دات ماتریس ها مناسب با دستور یا دیتای مورد نظر می باشد.

در این مقاله نحوه برقراری ارتباط با این LCD ها را خواهید گرفت و می توانید کتابخانه دلخواه خود را برای کار با این نمایشگر طراحی کنید. نکته ۱: کد هایی که در این مقاله قرار داده شده در تمامی کمپایلرهای C استاندارد قابل استفاده است و مختص به کمپایلر خاصی نیست. نکته ۲: ما در این مقاله از ارتباط ۴ بیتی با LCD استفاده می کنیم چون ارتباط ۴ بیتی ۱۰ میلی ثانیه زمان بیشتر برای ارسال دستورات و دیتا نیاز دارد اما ۴ پایه کمتر از میکروکنترلر استفاده می شود.



شکل شماره ۱

6	E	فعال سازی LCD
7 - 14	D0 - D7	گذرگاه ۸ تایی اطلاعات و دستور العمل
15	A	آند LED پس زمینه
16	K	کاتد LED پس زمینه

شماره پایه	نماد	نحوه اتصال پایه
1	Vss	اتصال به زمین
2	Vdd	۵V+
3	VEE یا Vo	تنظیم کنتراست LCD
4	RS	کنترل رجیستر
5	RW	انتخاب مددخواندن یا نوشت

جدول شماره ۱: شماره، اسم و وظیفه هر پین DCL

مرواری بر پیکربندی سخت افزاری و pin out این نوع LCD ها

پین R/W وظیفه انتخاب مدارکاری نمایشگر را دارد. یعنی می توان از طریق این پین و صفر و یک کردن آن اطلاعات را روی نمایشگر نوشت و یا از آن خواند. چون در این مقاله هدف ما فقط نوشتن روی نمایشگر می باشد، بنابراین پایه مورد نظر همواره به GND وصل می شود.

پین RS برای سوئیچ کردن بین ریجیسترهاي دستور و دیتا است که وقتی در حالت LOW قرار بگیرد رجیستر دستور انتخاب می شود و بر عکس.

پین EN برای لج کردن و اجرای دستورات توسط درایور است.

از پین های DB7 تا DB4 نیز برای ارسال دیتا و دستورات استفاده می شود.

پین های DB3 تا DB0 را نیز برای جلوگیری از تاثیر نویز بر روی نمایشگر به زمین وصل می کنیم. روند ارسال دیتا یا دستورات در مدد ۴ بیتی به صورت زیر می باشد:

۱. پین EN را در وضعیت LOW قرار می دهیم.

۲. با توجه به این که مورد ارسالی دستور است یا دیتا پین RS را در وضعیت مناسب قرار می دهیم (وضعیت High برای دیتا و وضعیت Low برای دستورات).

۳. ۴ بیت با ارزش دستور یا دیتای ارسالی را روی پایه های DB7 الی DB4 را در وضعیت High قرار می دهیم.

۴. بعد از ۱ میلی ثانیه پین EN را دوباره در وضعیت LOW قرار می دهیم.

۵. ۱۰ میلی ثانیه صبر کرده و سپس ۴ بیت کم ارزش را روی پین های DB7 الی DB4 قرار می دهیم و سپس پین EN را به وضعیت High می برمیم.

۶. بعد از ۱ میلی ثانیه پین EN را دوباره به وضعیت Low بر می گردانیم.

۷. ۱۰ میلی ثانیه برای اجرای دستورات یا نمایش دیتا صبر می کنیم.

نکته: منظور از علامت (*) این است که وضعیت بت مه دندر تا شدید در دستور نداد.

R/S	R/W	D7	D6	D5	D4	D3	D2	D1	D0	Instruction/Description
0	0	0	0	0	0	0	0	0	1	Clear Display and Home the Cursor
0	0	0	0	0	0	0	0	1	*	Return Cursor and LCD to Home Position
0	0	0	0	0	0	0	1	ID	S	Set Cursor Move Direction
0	0	0	0	0	0	1	D	C	B	Enable Display/Cursor
0	0	0	0	0	1	SC	RL	*	*	Move Cursor/Shift Display
0	0	0	0	1	DL	N	F	*	*	Set Interface Length
0	0	0	1	A	A	A	A	A	A	Move Cursor into CGRAM
0	0	1	A	A	A	A	A	A	A	Move Cursor to Display
0	1	BF	*	*	*	*	*	*	*	Poll the "Busy Flag"
1	0	D	D	D	D	D	D	D	D	Write a Character to the Display at the Current Cursor Position
1	1	D	D	D	D	D	D	D	D	Read the Character on the Display at the Current Cursor Position

جدول شماره ۲: دستورات و آدرس های درایور HD44780

نحوه عملکرد دستورات و چگونگی استفاده از آن ها

همانطور که در جدول شماره ۲ مشاهده می کنید در قسمت move directionset cursor اگر بیت S یک شود با ارسال هر کاراکتر محتویات قبلی روی LCD یک واحد به سمت راست منتقل می شوند.

همچنین اگر بیت ID یک شود با ارسال هر کاراکتر نشانگر یک خانه به سمت راست منتقل می شود. در دستور enable display/cursor اگر بیت D یک شود محتویات DDRAM روی صفحه، نمایش داده می شوند (یعنی LCD فعال می شود).

همچنین اگر بیت C یک شود نشانگر بر روی صفحه، نمایش داده می شود و در نهایت اگر بیت B یک شود نشانگر در حالت چشمک زن خواهد بود.

با یک کردن بیت SC در Move cursor/Shift Display LCD شیفت دادن در موقع نوشتن فعل می شود و بیت RL جهت آن را مشخص می کند که اگر یک شود جهت شیفت به سمت راست خواهد بود و اگر صفر شود جهت حرکت به سمت چپ خواهد بود.

بیت DL در رجیستر Set Interface Length مد ارتباط را مشخص میکند که برای ارتباط ۴ بیتی باید صفر شود. همچنین بیت N تعداد خطوط مورد استفاده را مشخص میکند که اگر صفر شود در LCD های دو خط آن و در LCD های چهار خط از دو خط آن استفاده میشود و اگر یک شود از همه خطوط استفاده میشود. بیت F نیز سایز فونت مورد استفاده را مشخص میکند که برای استفاده از فونت ۵*۷ باید صفر شود. همچنین بیت های A برای ارسال آدرس و بیت های D برای ارسال دیتا میباشد. حال که با نحوه برقراری ارتباط و دستورات آشنا شدید وارد بخش نرم افزاری میشویم. نوشتن این کتابخانه بسیار ساده خواهد بود و فقط به یکتابع اصلی برای ارسال دستورات و دیتا نیاز داریم و بقیه توابع بر مبنای آن نوشته میشوند. البته اول به یکتابع برای ایجاد delay نیاز داریم.

```
#define cpuf 1 //define cpu frequency in mhz
voidLCD_delay(unsigned char n)
{
inti;
for(i = 0;i<(n*1000*cpuf);i++);
}
```

حال تابع مربوط به ارسال دستور به صورت زیر خواهد بود که با استفاده از آن تابع ارسال دیتا را هم مینویسیم که در ابتدا نیاز است ماکروهایی برای تعیین بین های متصل به LCD نوشته شود. (xxpo مشخص کننده پورتی است که پین مورد نظر در آن وجود دارد مانند enpopORTB که در آن پین EN نمایشگر، به پورت B نسبت داده شده و xxpi مشخص کننده پین مورد نظر از پورت انتسابی است مانند enpi0 که پین EN به پورت B و پین صفر آن متصل میشود. مزیت روش استفاده شده این است که هر یا یه میتواند از یک پورت جداگانه باشد).

```
#define enpopORTB//control lines port
#define rspo PORTB
#define db4po PORTA//data lines port
#define db5po PORTA
#define db6po PORTA
#define db7po PORTA
#define enpi0//control lines pin number
#define rspi 1
#define db4pi 0//data lines pin number
#define db5pi 1
#define db6pi 2
#define db7pi 3
///////////////////////////////
voidLCD_c(char command){
enpo&= (1 <<enpi)^0xff; //clear en
rspo&=(0 <<rspi)^0xff; //clear rs
//write high byte
if((command&0x80)) db7po |=(1<<db7pi)|0x00; else db7po &=(1<<db7pi)^0xff;
if((command&0x40)) db6po |=(1<<db6pi)|0x00; else db6po &=(1<<db6pi)^0xff;
if((command&0x20)) db5po |=(1<<db5pi)|0x00; else db5po &=(1<<db5pi)^0xff;
if((command&0x10)) db4po |=(1<<db4pi)|0x00; else db4po &=(1<<db4pi)^0xff;
//execute
enpo |=(1<<enpi)|0x00; //set en
LCD_delay(1);
enpo&= (1 <<enpi)^0xff; //clear en
LCD_delay(10);
//write low byte
if((command&0x08)) db7po |=(1<<db7pi)|0x00; else db7po &=(1<<db7pi)^0xff;
if((command&0x04)) db6po |=(1<<db6pi)|0x00; else db6po &=(1<<db6pi)^0xff;
if((command&0x02)) db5po |=(1<<db5pi)|0x00; else db5po &=(1<<db5pi)^0xff;
if((command&0x01)) db4po |=(1<<db4pi)|0x00; else db4po &=(1<<db4pi)^0xff;
//execute
enpo |=(1<<enpi)|0x00; //set en
LCD_delay(1);
enpo&= (1 <<enpi)^0xff; //clear en
LCD_delay(10);
db7po &=(1<<db7pi)^0xff;
db6po &=(1<<db6pi)^0xff;
db5po &=(1<<db5pi)^0xff;
db4po &=(1<<db4pi)^0xff;}
```

نوشتن کتابخانه برای LCD کاراکتری

همچنین تابع ارسال دیتا را به صورت زیر تعریف می کنیم(منظور از دیتا کد کاراکتر مورد نظر می باشد).

```
voidLCD_d(char data)
{
    rspl |= (1 << rspi) | 0x00; //set rs
    LCD_c(data);
    rspl &= ~(1 << rspi) ^ 0xff; //clear rs
}
```

قبل از ادامه کار تعدادی مacro و متغیر تعریف می کنیم که به آن نیاز خواهیم داشت:

```
#define lines 4 //1 to 4
#define columns 20//8 to 20
#define auto_lower_line 1//1 or 0
unsigned char LCD_x;
unsigned char LCD_y;
```

حال می توانیم از طریق این توابع دستورات و کاراکترها را به درایور ارسال کنیم.
اوین تابعی که نیاز است تابعی برای راه اندازی اولیه LCD است.

برای راه اندازی اولیه LCD باید اول ۳ بار دستور ۰x03 را به نمایشگر ارسال کرد. سپس دستور ۰x02 را برای پاک کردن DDRAM ارسال کردو سپس برای انتخاب حالت ۴ بیتی ۰x28 و برای حالت ۴ بیتی ۰x20 خط دستور را ارسال کرد که در نهایت به صورت زیر خواهد شد:

```
voidLCD_init(){
    LCD_c(0x03);
    LCD_c(0x03);
    LCD_c(0x03);
    LCD_c(0x02);
    if (lines == 1 )LCD_c(0x20); else LCD_c(0x28);
    LCD_c(0x08);
    LCD_c(0x01);
    LCD_c(0x06);
    LCD_c(0x0f);
    LCD_x= 0;
    LCD_y=0;
}
```

همچنین تابعی هم برای پاک کردن صفحه نمایش و بازگرداندن نشانگر به مکان اولیه نیاز است.
برای اینکار باید دستور ۰x01 به درایور ارسال شود.

```
voidLCD_clear()
{
    LCD_x=0;
    LCD_y=0;
    LCD_c(0x01);
}
```

یکی از دیگر توابع مورد نیاز یک تابع برای انتخاب حالت نشانگر است که دستورات مربوط به آن در صفحات قبل توضیح داده شد و این تابع به صورت زیر خواهد بود:

```
voidLCD_cursor(char cursor)
{
    if (cursor == 'b')
        LCD_c(0x0f);
    if (cursor == 'f')
        LCD_c(0x0c);
    if (cursor == 'n')
        LCD_c(0x0e);
}
```

یک تابع نیز برای انتقال نشانگر نیاز داریم که بهتر است به جای انتقال نشانگر متغیرهای نگه دارنده مکان نشانگر را تغییر دهیم و در صورت نیاز به تغییر مکان نشانگر روی LCD میتوان از طریق توابع ارسال کاراکتر(که در ادامه بررسی میشوند) و ارسال کاراکتر (۱۰) NULL نشانگر را به مکان مورد نظر انتقال داد.

```
voidLCD_goxy(char x,char y)
{
LCD_x = x;
LCD_y = y;
}
```

خوب حال تمام توابع کنترلی را تعریف کردیم و نوبت می رسد به توابع نمایشی.
اول از همه باید یک تابع برای ارسال کاراکتر به LCD تعریف کنیم که مبنای دیگر توابع نمایشی نیز همین تابع خواهد بود.

برای ارسال یه کاراکتر به LCD باید اول یک دستور حاوی یک آدرس در حافظه DDRAM به درایور ارسال شود و بعد کد کاراکتر مورد نظر به صورت دیتا به درایور ارسال شود.

00	01	02	03	04	05	06	07	08	09	10	11	12	13	14	15	16	17	18	19
00	01	02	03	04	05	06	07	08	09	0A	0B	0C	0D	0E	0F	10	11	12	13
40	41	42	43	44	45	46	47	48	49	4A	4B	4C	4D	4E	4F	50	51	52	53
14	15	16	17	18	19	1A	1B	1C	1D	1E	1F	20	21	22	23	24	25	26	27
54	55	56	57	58	59	5A	5B	5C	5D	5E	5F	60	61	62	63	64	65	66	67

جدول شماره ۳: آدرس خانه های MARDD

کدهای جدول شماره ۴ باید اول با OR ۰x80، موردنظر(که در واقع آدرس خانه های حافظه رام درایور هستند و دیتای آن کاراکتر در آنها ذخیره شده) که مطابق جدول اسکی نیز هستند به صورت دیتا ارسال شود.

Char.code

xxxxx0000	0@P\`P - ۹۳۸۲
xxxxx0001	! 1AQa۹۰ ۷۷۴۶۹
xxxxx0010	" 2BRbۢ ۵۴۷۸۸
xxxxx0011	# 3CSc۵ۯ ۰۷۴۶۰
xxxxx0100	\$ 4DTd۵ۮ ۰۷۴۶۰
xxxxx0101	% 5EUe۵۰ ۰۷۴۶۰
xxxxx0110	& 6FUV۵۰ ۰۷۴۶۰
xxxxx0111	' 7GW9w۵۰ ۰۷۴۶۰
xxxxx1000	(8HXh۵۰ ۰۷۴۶۰
xxxxx1001) 9IVi۵۰ ۰۷۴۶۰
xxxxx1010	* JZj۵۰ ۰۷۴۶۰
xxxxx1011	+ K[k۵۰ ۰۷۴۶۰
xxxxx1100	, <L¥۵۰ ۰۷۴۶۰
xxxxx1101	- M]m۵۰ ۰۷۴۶۰
xxxxx1110	. N^n۵۰ ۰۷۴۶۰
xxxxx1111	/ ?O_o۵۰ ۰۷۴۶۰

جدول شماره ۴

می بینید که بعضی آدرس ها خالی هستند که مربوط به خانه های رزرو شده است و بعضی هم مربوط به حافظه CGRAM می باشند که در ادامه در مورد آن توضیح داده خواهد شد.
تابع ارسال کاراکتر به صورت کد دست راست خواهد بود:

```
voidLCD_putchar(char ch)
{
if((LCD_x==columns)&&(LCD_y==0)&&(auto_lower_line))
{LCD_y=1;LCD_x=0;}
if((LCD_x==columns)&&(LCD_y==1)&&(auto_lower_line))
{LCD_y=2;LCD_x=0;}
if((LCD_x==columns)&&(LCD_y==2)&&(auto_lower_line))
{LCD_y=3;LCD_x=0;}
if(LCD_y==0){
if(LCD_x==0) LCD_c(0x80);
if(LCD_x==1) LCD_c(0x81);
if(LCD_x==2) LCD_c(0x82);
if(LCD_x==3) LCD_c(0x83);
if(LCD_x==4) LCD_c(0x84);
if(LCD_x==5) LCD_c(0x85);
if(LCD_x==6) LCD_c(0x86);
if(LCD_x==7) LCD_c(0x87);
if(LCD_x==8) LCD_c(0x88);
if(LCD_x==9) LCD_c(0x89);
if(LCD_x==10) LCD_c(0x8a);
if(LCD_x==11) LCD_c(0x8b);
if(LCD_x==12) LCD_c(0x8c);
if(LCD_x==13) LCD_c(0x8d);
if(LCD_x==14) LCD_c(0x8e);
if(LCD_x==15) LCD_c(0x8f);
if(LCD_x==16) LCD_c(0x90);
if(LCD_x==17) LCD_c(0x91);
if(LCD_x==18) LCD_c(0x92);
if(LCD_x==19) LCD_c(0x93);}
if(LCD_y==1){
if(LCD_x==0)LCD_c(0xc0);
if(LCD_x==1) LCD_c(0xc1);
if(LCD_x==2) LCD_c(0xc2);
if(LCD_x==3) LCD_c(0xc3);
if(LCD_x==4) LCD_c(0xc4);}
```

```

if(LCD_x==5) LCD_c(0xc5);
if(LCD_x==6) LCD_c(0xc6);
if(LCD_x==7) LCD_c(0xc7);
if(LCD_x==8) LCD_c(0xc8);
if(LCD_x==9) LCD_c(0xc9);
if(LCD_x==10) LCD_c(0xca);
if(LCD_x==11) LCD_c(0xcb);
if(LCD_x==12) LCD_c(0xcc);
if(LCD_x==13) LCD_c(0xcd);
if(LCD_x==14) LCD_c(0xce);
if(LCD_x==15) LCD_c(0xcf);
if(LCD_x==16) LCD_c(0xd0);
if(LCD_x==17) LCD_c(0xd1);
if(LCD_x==18) LCD_c(0xd2);
if(LCD_x==19) LCD_c(0xd3);}
if(LCD_y==2){
if(LCD_x==0) LCD_c(0x94);
if(LCD_x==1) LCD_c(0x95);
if(LCD_x==2) LCD_c(0x96);
if(LCD_x==3) LCD_c(0x97);
if(LCD_x==4) LCD_c(0x98);
if(LCD_x==5) LCD_c(0x99);
if(LCD_x==6) LCD_c(0x9a);
if(LCD_x==7) LCD_c(0x9b);
if(LCD_x==8) LCD_c(0x9c);
if(LCD_x==9) LCD_c(0x9d);
if(LCD_x==10) LCD_c(0x9e);
if(LCD_x==11) LCD_c(0x9f);
if(LCD_x==12) LCD_c(0xa0);
if(LCD_x==13) LCD_c(0xa1);
if(LCD_x==14) LCD_c(0xa2);
if(LCD_x==15) LCD_c(0xa3);
if(LCD_x==16) LCD_c(0xa4);
if(LCD_x==17) LCD_c(0xa5);
if(LCD_x==18) LCD_c(0xa6);
if(LCD_x==19) LCD_c(0xa7);}
if(LCD_y==3){
if(LCD_x==0) LCD_c(0xd4);
if(LCD_x==1) LCD_c(0xd5);
if(LCD_x==2) LCD_c(0xd6);
if(LCD_x==3) LCD_c(0xd7);
if(LCD_x==4) LCD_c(0xd8);
if(LCD_x==5) LCD_c(0xd9);
if(LCD_x==6) LCD_c(0xda);
if(LCD_x==7) LCD_c(0xdb);
if(LCD_x==8) LCD_c(0xdc);
if(LCD_x==9) LCD_c(0xdd);
if(LCD_x==10) LCD_c(0xde);
if(LCD_x==11) LCD_c(0xdf);
if(LCD_x==12) LCD_c(0xe0);
if(LCD_x==13) LCD_c(0xe1);
if(LCD_x==14) LCD_c(0xe2);
if(LCD_x==15) LCD_c(0xe3);
if(LCD_x==16) LCD_c(0xe4);
if(LCD_x==17) LCD_c(0xe5);
if(LCD_x==18) LCD_c(0xe6);
if(LCD_x==19) LCD_c(0xe7);}
LCD_d(ch);
LCD_x++;
}

```

همانطور که مشاهده میکنید در ابتدای تابع نیز چند شرط برای انتقال خود کار نشانگر به خط بعدی قرار داده شده است. برای نمایش متن روی LCD باید یه تابع تعریف کنیم که متن را گرفته و کاراکتر های آن را جدا کرده و به تابع نمایش کاراکتر بفرستد که این تابع به صورت زیر خواهد بود:

```
voidLCD_puts(char *str)
{
unsigned char i;
for(i=0;*(str+i)!='\0';i++)
LCD_putchar(*(str+i));
}
```

حال به آخرین بحث یعنی تعریف و نمایش کاراکتر دلخواه می‌رسیم.
کاراکتر های 0x00 تا 0x07 که در جدول صفحات قبل نیز در مورد خالی بودن آن توضیح داده شده برای این منظور قابل دسترسی هستند و می‌توان ۸ کاراکتر دلخواه را در آن‌ها تعریف کرد.
در فونت ۵*۷ هر کاراکتر شامل ۷ کد است که در حالت باینری نشانگر روشن یا خاموش بودن نقطه متناظر آن است
که برای تولید این کاراکترها می‌توانید از ابزار موجود در لینک زیر کمک بگیرید:
<http://www.quinapalus.com/hd44780udg.html>

برای تعریف این کاراکترها باید آدرس مورد نظر در CGRAM حافظه (0x00 تا 0x07) را به صورت دستور ارسال کرده و سیس یست سر هم ۷ کد مربوط به کاراکتر را به صورت دیتا ارسال کنیم که تابع آن به صورت زیر خواهد بود:

```
voidLCD_defownchar(char adress,chara,charb,charc,chard,chare,charf,char g)
{
LCD_c(adress|0X40);
LCD_d(a);
LCD_d(b);
LCD_d(c);
LCD_d(d);
LCD_d(e);
LCD_d(f);
LCD_d(g);
}
```

و برای نمایش آن کاراکتر کافی است آدرس آنرا (0x00 تا 0x07) ارسال کنیم:

```
voidLCD_putownchar(unsigned char adress)
{
LCD_putchar(adress);
}
```

فایل نهایی برنامه در ضمیمه مجله موجود می‌باشد.

EPLAN Electric P8 2.1 SP1 Professional

به همراه فیلم های آموزشی

نرم افزار ePLAN P8 برنامه‌ای جامع و حرفه‌ای جهت طراحی و ایجاد نقشه‌های برقی است در واقع ePLAN P8 یک نرم افزار قدرتمند و باهوش برای طراحی نقشه‌های شماتیک برقی و تهیه دیگر مستندات لازم جهت اجرای یک پروژه بوده و با توجه به امکانات و تواناییهای فراوانی که در اختیار کاربران قرار می‌دهد توانسته است که در طی چندین سال اخیر به عنوان یک نرم افزار قابل اطمینان و قابل قبول در سطح جهانی حدود 8000 مشتری در 30 کشور جهان جذب نماید.



توضیحات تکمیلی :

<http://eshop.eca.ir/link/1386.php>

برد کاربردی-صنعتی GSM SIM900

برد کاربردی-صنعتی GSM SIM900 دارای تمامی امکانات لازم جهت استفاده کامل از مژوں SIM900 بوده و شما می توانید به راحتی آن را به رایانه یا میکروکنترلر متصل نمایید. در این برد کاربردی-صنعتی تمامی موارد ذکر شده در دیتاشیت SIM900 جهت راه اندازی این مژوں رعایت گشته و شما می توانید این برد را در تمامی مکان های صنعتی و پرنویس مورد استفاده قرار دهید. به دلیل استفاده از رگولاتور مخصوص این مژوں و خازن با ظرفیت بالا در طراحی مدار، شما می توانید با منابع تغذیه معمولی نیز این مژوں را راه اندازی نموده و دیگر لازم نیست که حتماً از منابع تغذیه با توان بالا استفاده نمایید.

یکی از قسمت های مهم این دستگاه قرار گرفتن مژوں SIM900-TE-C به جای مژوں خالی

بوده که به همین خاطر شما قادر به تعویض مژوں بوده و همچنین به جهت نویز گیری بالا و تکنولوژی ساخت بالای این برد، شما می توانید در هر مکانی از این دستگاه استفاده نمایید.

همچنین جهت افزایش کارایی دستگاه، از قطعات نویز گیر بر روی برد اصلی و آتن مخصوص ضد نویز استفاده شده است.

با توجه به طراحی کامل و حرفه ای برد، این برد قابلیت استفاده در امور آموزشی را نیز دارا می باشد. شما توسط این برد می توانید به راحتی با مژوں SIM900 کار کرده و تمامی پروژه های خود را اجرا نمایید.

از امکانات این برد می توان به موارد زیر اشاره نمود:

اتصال مستقیم به رایانه از طریق درگاه سریال RS232

اتصال مستقیم به میکروکنترلر

امکان تغییر وضعیت دییاگ یا سریال

ورودی میکروفون

خروجی بلندگو



توضیحات تکمیلی : <http://eshop.eca.ir/link/1276.php>

برد راه انداز GSM SIM900

قابلیت ها:

ارسال اطلاعات هر دستگاه به سرعت و از راه دور

ارسال و دریافت اطلاعات از طریق SMS, GPRS, GSM

برخورداری از مژوں پیشرفتی Sim900 (آپدیت شده و هماهنگ با سیستم مخابراتی کشور)

قابلیت کار کردن با تمامی اپراتورهای مخابراتی (همراه اول، ایرانسل، تالیا، اسپادان، رایتل)

راه اندازی و استفاده فوق العاده آسان

ارتباط ساده از طریق بسته RS232 با انواع سیستم ها و PLC

تحقیق رویای دسترسی سریع آسان و ارزان به اطلاعات دستگاههای مستقر در مکان های بسیار دور از محل کار مشتریان

تجهیز کردن دستگاههای الکترونیکی به یک موبایل هوشمند



خصوصیات :

این مژوں با هدف استفاده از GSM MODEM در پروژه های کاربردی مهیا گردیده است.

این مژوں دارای ابعاد بسیار کوچک (63x42mm) و قیمت مناسب می باشد که میتواند برای در طراحی های مهندسین به عنوان یک مژوں مستقل در نظر گرفته شود.

این مژوں دارای سوکت سیم کارت، کانکتور آتن SMA و آتن GSM مناسب می باشد.

دارای نمایشگر Power Net State که میتواند وضعیت مژوں را گزارش نماید.

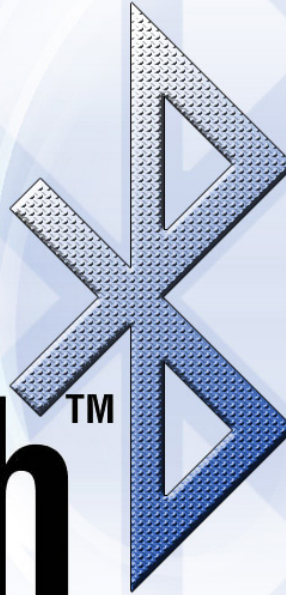
خروجی N reset 16 پایه (SIM900) نیز به عنوان ریست سخت افزار

بیرون آمده است که در صورت نیاز میتوانید مژوں را ریست سخت افزاری نمایید.

توضیحات تکمیلی : <http://eshop.eca.ir/link/1413.php>

راه اندازی مازول HC-05

Serial – Bluetooth Module



نویسنده : پرویز نظری

Bluetooth™

امروزه استفاده از بلوتوث برای ارسال و دریافت اطلاعات فراغیر شده و تقریبا همه ما حداقل با بلوتوث تلفن همراه خود یا بلوتوث کامپیوتر و ... کار کرده ایم. می توان گفت که اکثر تبادلات اطلاعاتی در یک فاصله معین، بین دو سخت افزار بدون استفاده از سیم ارتباطی، از طریق پروتکل بلوتوث قابل پیاده سازی می باشد.

فرض کنید می خواهیم یک ربات را از فاصله مثلا ده متری کنترل کنیم، آیا میکروکنترلر مورد نظر شما دارای تکنولوژی بلوتوث می باشد؟ آیا برای تبادل اطلاعات با یک بلوتوث بر روی میکروکنترلر مورد نظر شما رجیستر و پین خاصی در نظر گرفته شده است؟ مثل پین های RXD و TXD در ارتباط UART یا MISO، MOSI... در ارتباط SPI. اگر جواب

این سوال ها منفی است این مقاله می تواند برای برقراری ارتباط بی سیم از طریق بلوتوث مفید باشد.

بی شک برای برقراری ارتباطی به سخت افزاری نیاز داریم تا بتوانیم از طریق آن دیتا را به بلوتوث داده و سپس از طریق پروتکل بلوتوث آن را به وسیله ی دیگر ارسال و یا دریافت کنیم.

مازول انتخابی که به معرفی آن خواهیم پرداخت مازول HC-05 می باشد. توسط این مازول می توان دیتا را در فواصل معین و با استفاده از پروتکل بلوتوث ارسال و دریافت کرد. مزیتی که مازول مورد نظر دارا می باشد این است که می توان دیتا را به صورت سریال از طریق میکروکنترلر و یا کامپیوتر به مازول انتقال داد و سپس خود مازول دیتا را از طریق پروتکل بلوتوث به دستگاه و یا وسیله ی دارای بلوتوث ارسال خواهد کرد و همچنین می تواند داده های دریافتی از طریق پروتکل

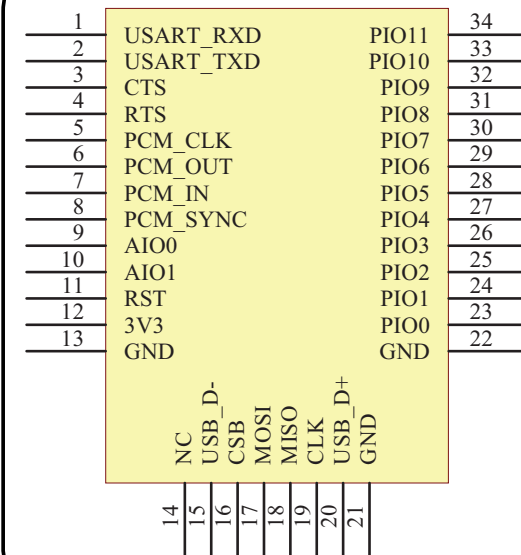
بلوتوث را به صورت سریال تبدیل کرده و به کاربر تحویل دهد که این امر استفاده از مازول را بی نهایت راحت کرده است. ارسال و دریافت اطلاعات به صورت سریال در مازول از طریق پروتکل USART و با استفاده از پین های RX و TX صورت می گیرد.

قبل از راه اندازی و شروع کار با مازول بهتر است ابتدا با پایه های آن آشنا شویم.

حال با توجه به شکل شماره ۲ تعدادی از پایه های مهم مازول را تشریح می کنیم: PIN1: پین مربوط به ارسال اطلاعات در



شکل شماره ۱



شکل شماره ۲: پایه های مازول

ارتباط **UART** می باشد.

PIN2: بین مربوط به دریافت اطلاعات در ارتباط **UART** می باشد.
PIN11: اعمال ولتاژ صفر به این پین موجب رست شدن مازول می شود.

PIN12: تغذیه مثبت مازول بوده و باید ولتاژ ۳,۳ ولت به آن اعمال شود.

PIN13: تغذیه منفی مازول بوده و به زمین مدار وصل می شود.
PIN31: فرکانس چشمک زدن LED متصل به این پایه بیانگر مد مازول می باشد. (Atmode2 AT mode1 یا

PIN32: خروجی LED متصل به این پایه قبل از برقراری ارتباط با دستگاه دیگر خاموش و پس از برقراری ارتباط روشن خواهد بود.

اگر پین **PIN34** در حالت **high** باشد تمامی دستورات **AT com-command** قابل اجرا می باشد، در غیر این صورت تنها برخی از این دستورات اجرا خواهد شد.

از جمله کاربرد این مازول می توان به موارد زیر اشاره کرد:

* ارتباط بین دو میکروکنترلر: در این حالت یکی از مازول ها در حالت **Slave** و دیگری در حالت **Master** پیکربندی می شود.

* ارتباط بلوتوث کامپیوتر یا تلفن همراه با میکروکنترلر: در این حالت

مازول به عنوان یک پورت مجازی بین بلوتوثر کامپیوتر یا تلفن همراه و میکروکنترلر عمل می کند. در این کاربرد کامپیوتر یا تلفن همراه به عنوان **Master** و مازول به عنوان **Slave** عمل می کند.

* می توان با پیکربندی این مازول در حالت **Master** با دستگاه های دارای بلوتوثر دیگر که در حالت **Slave** هستند(مانند پرینتر های دارای بلوتوثر)، ارتباط برقرار کرد.

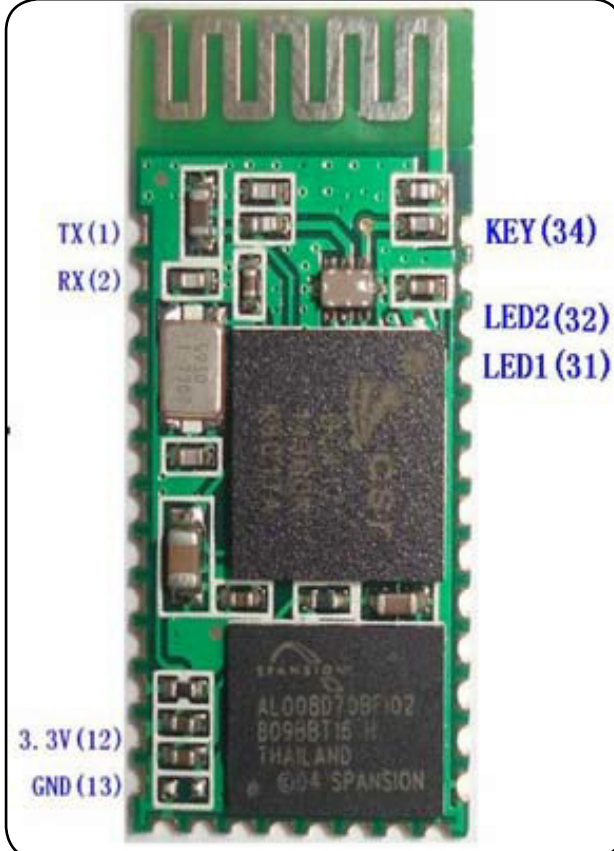
این مازول به صورت پیش فرض **Slave** تعريف شده است. اگر قصد ایجاد ارتباط با بلوتوثر کامپیوتر یا تلفن همراه تان را دارید، این مازول باید **Slave** تعريف شود (حالت پیش فرض)، اما اکثر دستگاه های دارای بلوتوثر موجود در بازار مثل پرینترها، به عنوان **Slave** عمل می کنند. برای برقراری ارتباط بین مازول و چنین دستگاه هایی باید آن را به عنوان **Master** پیکربندی کرد.

منظور از **AT commands** یک سری دستورات هستند که از طریق ارتباط سریال به مازول ارسال می کیم و مازول با دریافت آن ها، طبق نیاز کاربر تنظیم می شود.
 در جدول شماره ۱ یک سری از **AT commands** های مهم ذکر شده است.

Parameter	Response	Command	Application
None	OK	AT	Test
None	OK	AT+RESET	Reset
Get the soft version	AT+VERSION?	+VERSION: <Param> OK	Param: Version number
Restore default status	AT+ORGL	None	OK
Get module Bluetooth address	AT+ADDR?	+ADDR: <Param> OK	Param: Bluetooth address
Set/ inquire device's name	AT+NAME=<Param>	OK	Param: Bluetooth device name Default: "HC-05"
Set/ inquire device's name	AT+NAME?	1. +NAME:<Param> OK----success 2. FAIL----failure	Param: Bluetooth device name Default: "HC-05"
Get the remote Bluetooth device's name	AT+RNAME?<Param1>	1. +NAME:<Param2> OK----success 2. FAIL----failure	Param1: Remote Bluetooth device address Param2: Remote Bluetooth device address
Set/ inquire module role	AT+ROLE=<Param>	OK	Param: 0---- Slave role 1---- Master role 2---- Slave-Loop role Default: 0
Set/ inquire module role	AT+ROLE?	+ ROLE:<Param> OK	

جدول شماره ۱

باید توجه داشت که هنگام ارسال دستور به ماژول در انتهای هر دستور باید کلید **Enter** (در صورت ارسال دستور از طریق کامپیوتر) و یا کد **0x0d** (در صورت ارسال دستور از طریق میکروکنترلر) وارد شود.



شکل شماره ۳

برای مثال جهت Master بودن مازول باید دستور "AT+ROLE=1\r\n" را وارد کنیم. اگر دستور "OK\r\n\r\n" را دریافت کردیم یعنی مازول در حالت Master قرار گرفته است.

توجه: این همان فشردن کلید Enter یا نوشتن کد مربوط به این کلید در برنامه می باشد.

همچنین اگر در دستور فوق به جای عدد یک، صفر را ارسال کنیم این مازلول دوباره به عنوان Master عمل می‌کند. این مازلول در دو مد AT mode1 و AT mode2 قابل استفاده است.

AT mode1: در این حالت Baud Rate = 38400 bps می باشد و LED متصل به پایه PIN31 با فرکانس ۲ هرتز چشمک می زند. برای وارد شدن به این حالت باید مراحل زیر را به ترتیب اجرا کرد:

۱. اتصال PIN34 به ولتاژ low
 ۲. اعمال تغذیه مازول

۳. اتصال PIN34 به ولتاژ high در این حالت AT mode2 Baud Rate = 9600 bps می باشد و LED متصل به پایه PIN31 با فرکانس ۱ هرتز چشمک می زند. برای وارد شدن به این حالت باید مراحل زیر را به ترتیب اجرا کرد:

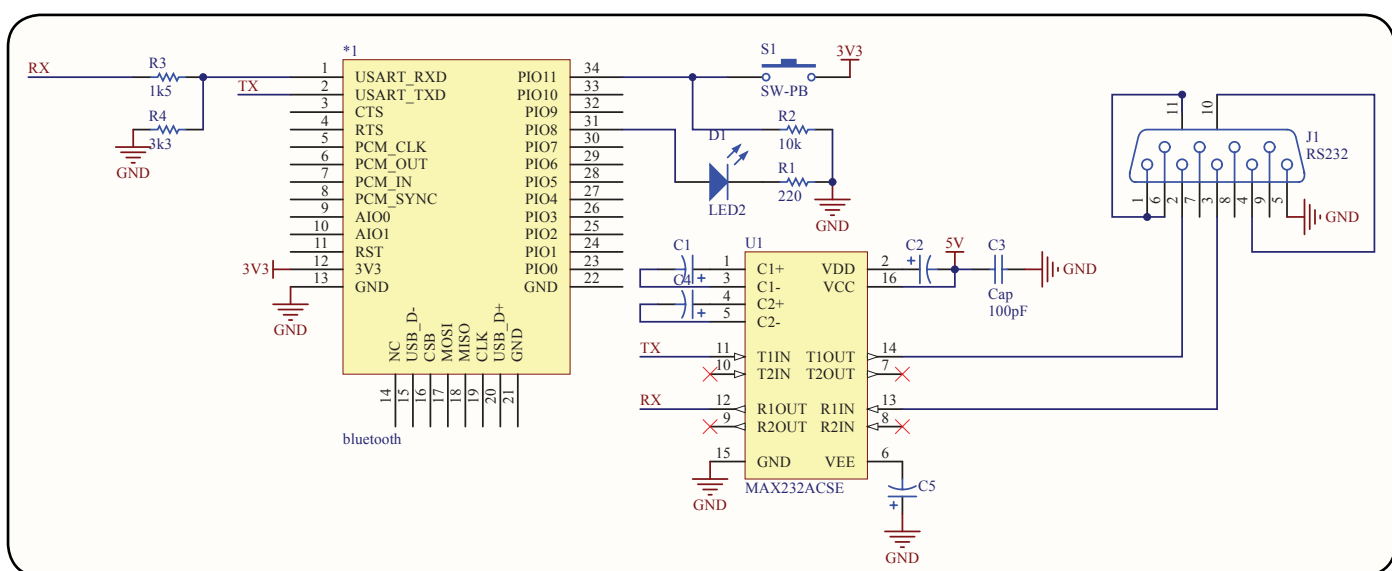
۱. PIN34 را به مژول وصل می کنیم.

۲. با اعمال تغذیه مژول این پین نیز به طور همزمان به سطح high روی می رود.

اتصال ماذول به کامیوتو از طبقه بورت

پس از اطلاعاتی مختصری که در مورد مازول و نحوه استفاده از آن ارائه شد، قصد داریم مازول را از طریق پورت سریال به کامپیوتر وصل کنیم. در محیط نرم افزار Hyper Terminal دستورات AT commands را نوشته و با فشردن کلید Enter جواب مازول به این دستورات را در محیط نرم افزار Hyper Terminal مشاهده کنیم.

ابتدا مدار را به صورت شکل شماره ۴ می بندیم:



شکل شماره ۴۵

توضیح شماتیک مدار

بخشی از مدار مربوط به مبدل RS232 به TTL می باشد. خروجی این قسمت از مدار TTL می باشد، در حالی که مازول با ولتاژ ۳,۳ ولت کار می کند. به همین دلیل برای وصل پایه TXD کامپیوتر به RXD مازول از یک تقسیم مقاومتی استفاده کرده ایم تا RXD را به ۳,۳ ولت تبدیل کنیم. پین TXD مازول هم مستقیما به پین RXD مبدل وصل

می شود. چون ۳,۳ ولت برای TTL به عنوان سطح high قابل قبول است. کلید متصل به پین PIN34 برای انتخاب AT mode1 یا AT mode2 می باشد. در مورد این مدها قبل از بحث شد. فرکانس چشمک زدن LED نیز بیان گر کار کرد دستگاه در این مدها می باشد.

نحوه عملکرد برنامه

پس از وصل کردن مژول به کامپیوتر، مژول را به صورت زیر وارد مدل AT mode1 می کنیم:

۱. اتصال PIN34 به ولتاژ Low

۲. اعمال تغذیه مژول

۳. اتصال PIN34 به ولتاژ High

در این حالت LED با فرکانس ۲ هرتز چشمک می زند.

نرم افزار Hyper Terminal را باز کرده در قسمت Name نام دلخواهی را وارد می کنیم. سپس ok را می زنیم. در پنجره باز شده، در قسمت connect using شماره پورتی را که بعد از وصل شدن مژول اضافه شده است را انتخاب می کنیم. در قسمت configure تنظیمات زیر را اعمال می کنیم:

Baud Rate = 38400 bps , Data bits:8 , Parity:None , Stop bits: 1

و در نهایت Flow control: None. سپس کلید ok را می زنیم و دوباره ok را کلیک می کنیم.

حال در محیط نرم افزار Hyper Terminal از منوی فایل گزینه Properties را می زنیم. در پنجره باز شده در تب settings روی ASCII Setup کلیک می کنیم و در پنجره باز شده تیک گزینه های Append line feeds to incoming و Echo typed characters locally را می گذاریم. سپس دوبار بر روی ok کلیک می کنیم. حال با تایپ دستورات line ends را می توان جواب مژول به این دستورات را مشاهده کرد.

توجه: برای تشخیص شماره پورت متصل به مژول، روی computer کلیک راست کرده گزینه Ports(COM & LPT) را انتخاب کنید. در قسمت Devise Manager و سپس Manage با

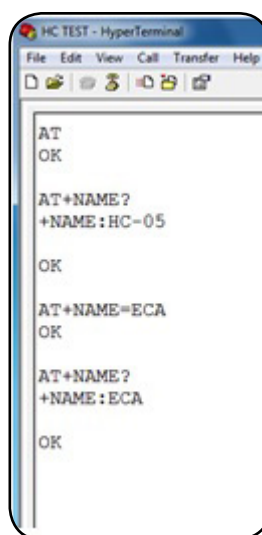
وصل کردن مژول پورتی اضافه می شود که همان پورت مورد نظر می باشد.

توجه: در مورد نرم افزار Hyper Terminal در مجله نویز شماره ۱۱ بحث شده است. برای اطلاعات بیشتر می توانید به این شماره مراجعه نمایید.

لیست کامل دستورات AT commands در دیتابیت مژول آورده شده است. در شکل شماره ۵ ارسال و دریافت چندین دستور نشان داده شده است.

با ارسال دستور AT، OK دریافت می شود. سپس نام بلوتوث را فراخوانی کرده ایم. و با دستور بعدی نام بلوتوث را تغییر داده ایم.

برای آگاهی از سایر دستورات AT command و ERROR ها به دیتا شیت موجود در فایل ضمیمه مجله مراجعه نمایید.



شکل شماره ۵

برای آگاهی از سایر دستورات AT command و ERROR ها به دیتا شیت موجود در فایل ضمیمه مجله مراجعه نمایید.

تبادل اطلاعات بین میکرو و کامپیوتر از طریق بلوتوث

هدف این پروژه ارسال یک رشته کاراکتر از میکرو به کامپیوتر و همچنین از کامپیوتر به میکرو، از طریق پروتکل بلوتوث می باشد.

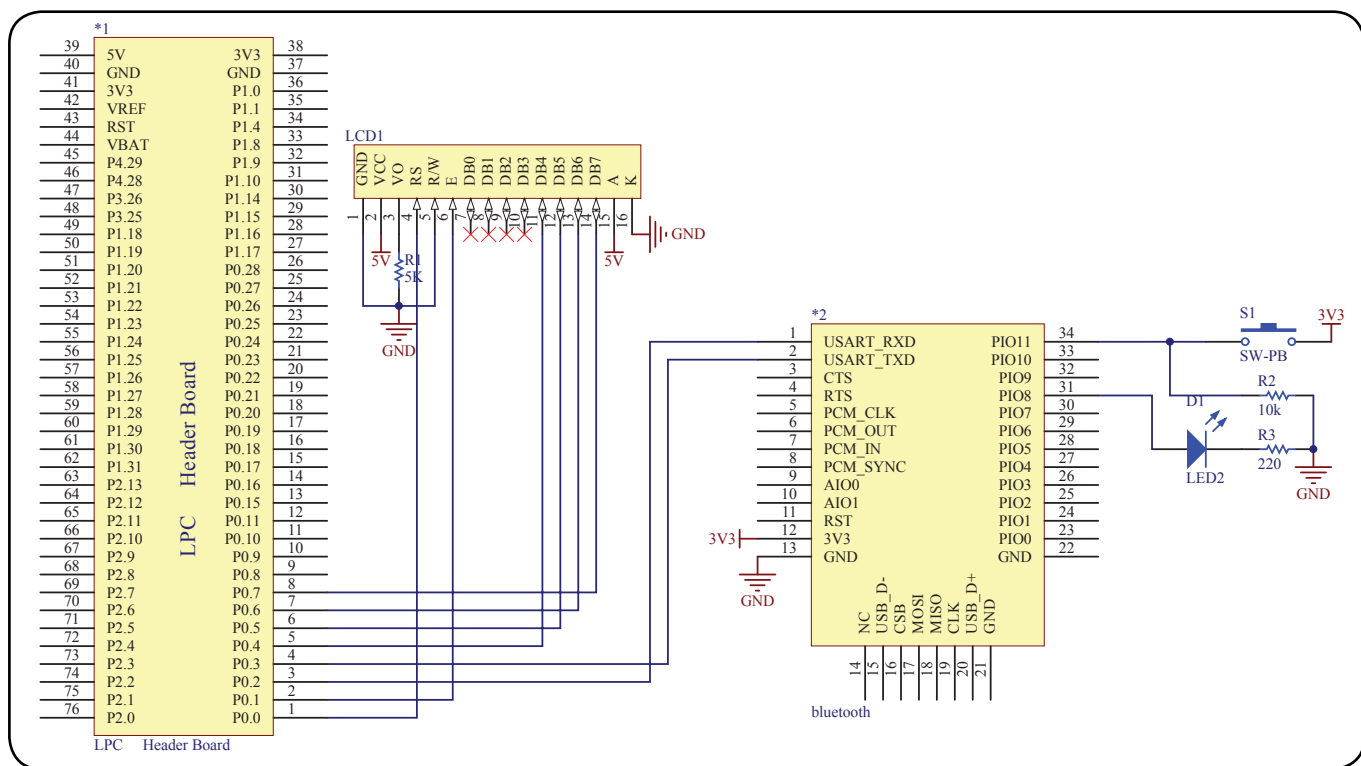
ابتدا یک رشته کاراکتر از میکرو به صورت سریال به مژول فرستاده می شود. سپس مژول این دیتا را از طریق پروتکل بلوتوث به بلوتوث لپ تاپ یا کامپیوتر شما می فرستد. این رشته دریافت شده در محیط نرم افزار Hyper Terminal نمایش داده می شود. سپس یک رشته را در محیط این نرم افزار تایپ کرده و با فشردن کلید Enter این رشته از طریق بلوتوث کامپیوتر به مژول ارسال می شود. مژول نیز رشته دریافتی را از طریق ارتباط سریال به میکرو می فرستد و در نهایت این رشته در ال سی دی کاراکتری متصل به میکرو نمایش داده می شود.

میکروکنترلر مورد استفاده در این پروژه LPC1768 NXP می باشد.

شکل شماره ۴ شماتیک این پروژه را نشان می دهد. همان طور که مشاهده می شود چون میکروکنترلر و مژول دارای ولتاژ تغذیه ۳,۳ ولت می باشند، نیازی به تقسیم مقاومتی بر روی پین RXD مژول نمی باشد. پین های TXD و RXD از UART0 میکروکنترلر به ترتیب به پین های TXD و RXD از مژول متصل شده اند. LCD به پورت صفر میکروکنترلر متصل شده است. برای تنظیم کنتراس LCD نیز از یک پتانسیومتر استفاده کرده ایم. پس ایجاد پروژه در نرم افزار Keil. فایل های lcd.c و system_LPC17xx.c پوشه پروژه کپی کنید و سپس فایل Add system_LPC17xx را کنید.

شرح کلی برنامه

ابتدا میکرو رشته ای به Hyper Terminal می فرستد و منتظر دستور کاربر می ماند. کاربر رشته را نوشته و با زدن کلید Enter، رشته در ال سی دی نمایش داده می شود. سپس با فشردن دوباره کلید Enter توسط کاربر، برنامه به ابتدا برگشته و این چرخه ادامه می یابد.



شکل شماره ۶

شرح قسمت های مختلف برنامه

```
#include <lpc17xx.h>
```

در دستور فوق فایل سرآیند میکروکنترلر را فراخوانی کرده ایم.

```
#define LCD_LPC1768
#define LCD_PORT_0
#define LCD_RS 0
#define LCD_E1
#define LCD_DB4 4
#define LCD_DB5 5
#define LCD_DB6 6
#define LCD_DB7 7
#include "lcd.h"
```

سپس پورتی که ال سی دی به آن متصل است و پین های میکرو که به ال سی دی متصل هستند را به ترتیب در برنامه نوشته و کتابخانه مربوط به LCD را فراخوانی کرده ایم.

```
int j,m,i,n;
char code[]="Write The String:";
char str[20];
char get[16];
```

در این قسمت از برنامه چند متغیر از نوع int و سه رشته از نوع کاراکتر را تعریف کرده ایم که کاربردشان در ادامه خواهد آمد.

```
void putchar(char c)
{
while(!(LPC_UART0->LSR & 0x20));
    LPC_UART0->THR=c;
}
```

تابع putchar

با فراخوانی این تابع، ابتدا میکروکنترلر منتظر می ماند تا رجیستر THR خالی شود، سپس کاراکتر c را در این رجیستر

قرار داده و ارسال می کند.

```
void puts(char *str)
{
    char k;
    while (k=*str++) putchar(k);
    putchar(10);
}
```

تابع puts

با فراخوانی این تابع، رشته‌ی کاراکتری که در آرگومان تابع نوشته می‌شود، از طریق میکرو ارسال می‌شود. در سطر آخر این تابع عدد ده را (که کد رفتن به سطر بعدی می‌باشد) ارسال می‌کنیم. یعنی ابتدا یک رشته، مثلاً عبارت Write Hyper Terminal ظاهر می‌شود و این رشته در صفحه نرم افزار The String ارسال می‌رود.

```
gets()
{
i=0;
j=1;
while(i<16 && j==1){
while(!(LPC_UART0->LSR & 0x1));
get[i] = LPC_UART0->RBR;
if (get[i] != 0x0d) i++;
else j=0;
}
}
```

تابع gets

آخرین تابع این برنامه نیز تابع gets() می‌باشد که با فرخوانی آن میکرومیکرو منظر می‌ماند تا ثبات RBR برای دریافت کاراکتر جدید خالی شود. سپس کاراکتر را دریافت و در خانه آز رشته get[i] قرار می‌دهد. این عمل تا زمانی که کلید Enter کد 0x0d، فشار داده نشده یا طول رشته وارد شده کمتر از ۱۷ کاراکتر باشد انجام می‌شود. در صورت فشردن کلید Enter یا زیاد شدن طول رشته از ۱۶ کاراکتر، رشته وارد شده را در get[i] ریخته و از تابع خارج می‌شود.

```
int main()
{
SystemInit();
lcd_init();
lcd_clear();
LPC_PINCON->PINSEL0=(1<<4)|(1<<6);
{
```

تابع main

حال وارد تابع اصلی برنامه می‌شویم. ابتدا به کمک تابع SystemInit() تنظیمات مربوط به PLL انجام می‌شود. در این حالت $PCLK = 25 M$ & $CCLK = 100 M$ می‌باشد. ال سی دی را فعال و صفحه نمایش را پاک می‌کنیم و به دنبال آن رجسیتر PINSEL0 را که مربوط به پین‌های TXD0 و RXD0 است را مقدار دهی می‌کنیم.

```
LPC_UART0->LCR=0x83;
LPC_UART0->DLM=0x00;
LPC_UART0->DLL=0x28;
LPC_UART0->LCR=0x03;
```

سپس رجسیترهای مربوط به UART0 را با توجه به مقادیر زیر مقدار دهی کرده ایم:
Baud Rate = 38400 bps , Data bits:8 , Parity:None , Stop bits: 1 , Flow control: None.

```

while (1)
{
    putchar(10);
    lcd_clear();
    puts(code);
    lcd_gotoxy(1,1);
    lcd_putsf("HC-05 Testing");
    gets();
    ++){for (m=1; m<=i; m
    lcd_gotoxy(2,m);
    lcd_putchar(get[m-1]);
}

```

در یک حلقه بی نهایت یک سطر به پایین رفته (ارسال عدد ۰)، سپس صفحه LCD را پاک می کنیم. در سطر بعدی رشته «Write The String»: "را ارسال می کنیم تا در محیط نرم افزار Hyper Terminal نمایش داده شود. سپس در سطر اول و ستون اول از ال سی دی عبارت «HC-05 Testing» نمایش داده می شود. سپس تابع gets() فرآخوانی می شود تا رشته تایپ شده در محیط نرم افزار به میکروکنترلر ارسال شود. میکرو این رشته از کاراکترها را گرفته و در سطر دوم و ستون اول نمایش می دهد.

```

while (1){
    while(!(LPC_UART0->LSR & 0x1));
    n = LPC_UART0->RBR;
    if (n == 0x0d) break;
}

```

در یک حلقه دیگر منتظر می مانیم تا دوباره کلید Enter توسط کاربر فشار داده شود. پس از نوشتن برنامه، کامپایل کردن آن و پروگرم کردن میکروکنترلر، جهت استفاده از سخت افزار به صورت زیر عمل کنید:

تغذیه مدار را اعمال کنید. سپس پین 34 PIN مازول را به وسیله کلید، از زمین مدار قطع و به ولتاژ ۳,۳ ولت وصل کنید تا مازول وارد مد AT mode شود. در این حالت LED با فرکانس دو هرتز چشمک می زند. با بلوتوث کامپیوتر در قسمت Add Device جستجو کرده و پس از یافتن مازول، آن را انتخاب کنید و Add را بزنید. در صورت درخواست رمز برای برقراری ارتباط، عدد 1234 را وارد کنید. این عدد رمز پیش فرض مازول بوده و می توانید توسط دستورات AT commands آن را تغییر دهید.

پس از Add کردن مازول دو پورت com به سیستم شما اضافه خواهد شد.

برای دیدن شماره پورت های اضافه شده، روی MyComputer کلیک راست کرده گزینه Manage و سپس Devise Manager را انتخاب کنید. در قسمت Ports(COM & LPT) پورت های اضافه شده مشاهده می شوند. یکی از پورت ها

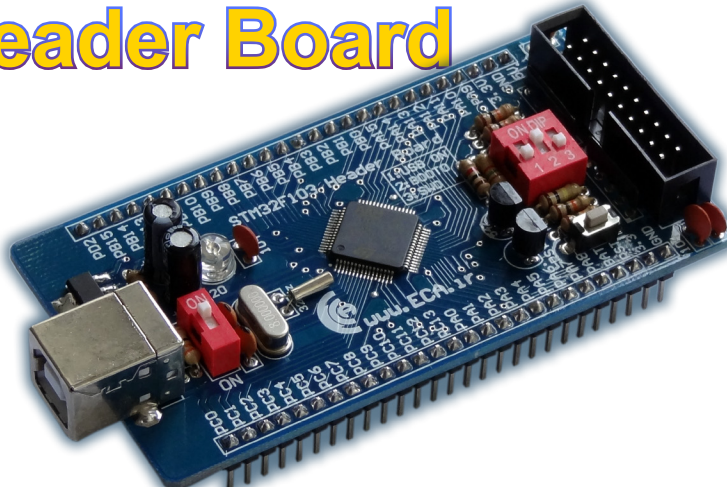
Outgoing و دیگری Incoming می باشد. شماره پورت مربوط به Outgoing را به خاطر بسپارید. حال نرم افزار Hyper Terminal را باز کرده تنظیمات مربوطه را انجام دهید. این تنظیمات و نحوه کار با نرم افزار در قسمت اتصال مازول به کامپیوتر ذکر شد. فقط به هنگام انتخاب پورت، شماره پورت مربوط به Outgoing را وارد کنید و ادامه تنظیمات را طبق مراحل گفته شده انجام دهید.

هدف از این مقاله صرفا آشنایی با نحوه برقراری ارتباط میکرو با دستگاه های دیگر از طریق بلوتوث و به کمک مازول HC-05 Serial-Bluetooth بود. بی شک با کمی ابتکار می توان پروژه های مفید و کاربردی تری را در این زمینه تعریف، طراحی و اجرا نمود.

STM32F103RET6 Header Board

خانواده STM32 از سری میکروکنترلرهای ۳۲ بیتی مبتنی بر پردازنده ARM Cortex می باشد که با هدف ایجاد معنای جدیدی از آزادی عملکرد برای کاربران میکروکنترلرها ایجاد گشته است. در این خانواده از میکروکنترلرها تلفیقی از کارایی بالا، عملکرد همزمان، پردازش سیگنال های دیجیتال و کاربردهای کم توان در بالاترین سطح کیفی و با حفظ یکپارچگی کامل و سهولت توسعه، رائمه می گردد.

از جمله امکانات مهم میکروکنترلر STM32F103RET6، هسته Cortex M3 با سرعت 72MHz، اینترفیس موازی LCD، ۳ عدد ADC ۱۲ بیتی، ۲ عدد DAC ۱۲ بیتی و دارا بودن اینترفیس های متعددی از جمله SDIO، I2C، USART، CAN و ... می باشد.



[توضیحات تکمیلی :](http://eshop.eca.ir/link/1325.php)

ATXMEGA128A3U Header Board

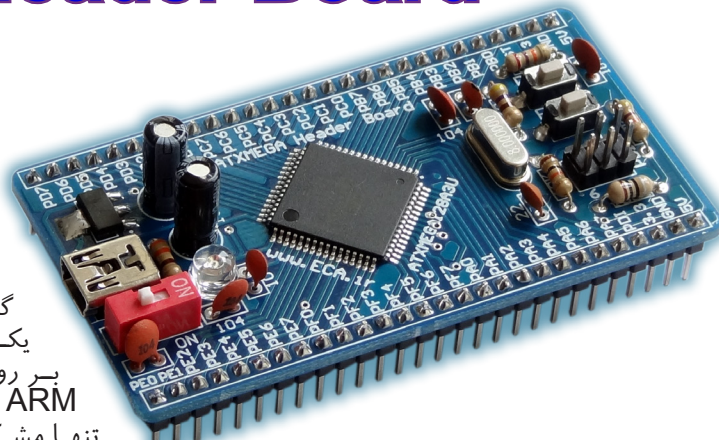
خانواده XMEGA نسل دوم از میکروکنترلرهای با مصرف توان پایین (Pico Power Technology) با قابلیتها و کارائی بسیار بالاتر نسبت به سری قبیل میکروهای AVR می باشد و قابلیت پردازش داده هم بصورت ۸ بیتی و هم به صورت ۱۶ بیتی را فراهم می نمایند همچنین از نظر عماری وساختار تراشه این سری میکروکنترلرها مشابه خانواده قبیل میکروهای AVR می باشد. در خانواده XMEGA تمامی مشکلات و کمبودهای نسل قبلی (MEGA) برطرف شده و قابلیت های جدید برای طراحان در نظر گرفته شده است.

یکی از نکات مهم در سری XMEGA امکانات و مازوول های موجود بر روی میکرو بوده که حتی این تعداد مازوول بر روی میکروهایی نظری ARM نیز موجود نیست.

تنها مشکلی که باعث شده تا این سری از میکروکنترلرها از استقبال کمتری نسبت به بقیه میکروکنترلرها روبرو شوند، هزینه بالای پروگرامر مخصوص این میکروکنترلرها بوده که با سری جدید این مشکل نیز مرتفع شده است.

در سری جدید، مازوول USB نیز به این خانواده اضافه شده است و شما می توانید بدون نیاز به هیچ پروگرامر خاصی فقط از طریق پورت USB میکروکنترلر خود را پروگرام کنید.

سرعت بالا و راحتی پروگرام نمودن از طریق این روش از مهمترین مزایای این سری از میکروکنترلرها می باشد.



[توضیحات تکمیلی :](http://eshop.eca.ir/link/1324.php)

ماژول ضبط و پخش صدا

VS1003 یک تراشه همه کاره دکودر MP3 و WMA می باشد. این تراشه قابلیت ضبط صدا با کیفت بالا و در باند وسیع را داراست، همچنین می تواند MIDI را هم از طریق فایل و هم با استفاده از MIDI keyboard سریال استاندارد پخش نماید.

امکانات مازوول :

قابلیت اتصال به تمام میکروکنترلرها از طریق رابط SPI
تامین ولتاژهای مورد نیاز تراشه و راه اندازی کل مازوول با تک ولتاژ ۵ ولت

دارای خروجی هدفن به صورت استریو

دارای ورودی میکروفون به صورت مونو

ایزوله نمودن مناسب در برابر نویز و تغییرات ولتاژ، به جهت بالا بودن

کیفیت ضبط و پخش



[توضیحات تکمیلی :](http://eshop.eca.ir/link/1326.php)

پروژه دستگاه تشخیص نشت گازهای خانگی



نویسنده: سوران آراسته soran.arasteh@gmail.com

در جامعه امروزی هر روز مشاهده می شود که بر اثر بی احتیاطی، افراد زیادی به دلیل نشت گازهای خانگی (LPG) جان خود را از دست می دهند. با ورود سنسورهای تشخیص گاز و آگاهی از نحوه عملکرد آن ها، افراد و شرکت های زیادی دست به ساخت دستگاه هایی زدند که قادر به تشخیص گازهای پراکنده در محیط شود. تقawat عمدۀ این دستگاه ها بیشتر در سرعت عملکرد و یا امکانات آن می باشد. پروژه ای که در حال حاظر مشاهده می فرمایید دستگاهی است که قادر به تشخیص گاز بوده و با توجه به مقدار گاز پخش شده عملکردهای مختلفی را به صورت هوشمند انجام می دهد.

شرح عملکرد کلی دستگاه

این دستگاه شامل دو قسمت، که یکی فرستنده و دیگری گیرنده (برد اصلی) می باشد تشکیل شده است. قسمت فرستنده در بالای سقف منزل نصب شده و قسمت مادربرد در مکان مورد نظر کاربر و با توجه با اینکه در قسمت مذکور دسترسی لازم به برق و خط تلفن موجود باشد نصب می گردد.

دلیل نصب فرستنده در سقف این است که گاز نشتی به دلیل کمبود وزن ابتدا به بالای سقف می رود و در صورت وجود سنسور مربوطه در بالاترین قسمت منزل می توان سریع ترین نتیجه را حاصل کرد.

حال به تشریح عملکرد اصلی دستگاه می پردازیم، در این دستگاه با روشن کردن هر دو قسمت فرستنده و گیرنده بعد از چند لحظه با هم ارتباط برقرار کرده و فرستنده دیتای دریافتی از سنسور را با استفاده از ADC میکرده و اعداد دیجیتال تبدیل کرده و از طریق پروتکل UART به گیرنده ارسال می کند.

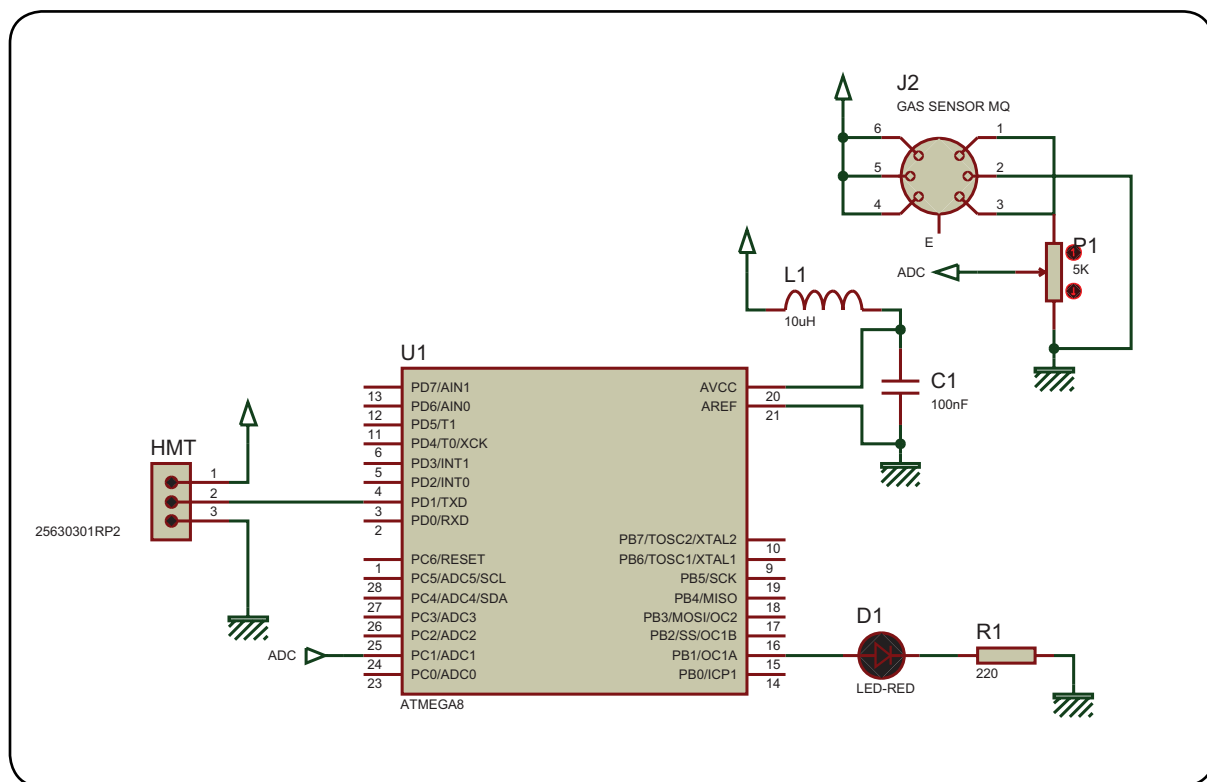
در قسمت گیرنده با دریافت دیتا، عملکرد لازم با توجه به مقدار گاز موجود در هوای منزل تشخیص داده شده و انجام

می‌گیرد.

در وضعیتی که هیچ گازی در محیط احساس نشود بر روی صفحه نمایش پیغام عادی بودن هوا نمایش داده می‌شود و همه‌ی خروجی‌ها غیر فعال می‌باشند. همچنین دو LED بر روی مادربرد وجود دارد که LED سبز رنگ وضعیت عادی و LED قرمز وضعیت غیر عادی را نمایش می‌دهد.

به محض تشخیص گاز توسط قسمت گیرنده و ارسال دیتای مبتنی بر وجود گاز در محیط، ابتدا آلام مدار به صدا در خواهد آمد و پیغام وجود مقدار جزئی گاز بر روی نمایشگر نمایان می‌شود. اگر مقدار گاز کم شود آلام قطع شده و مدار به وضعیت عادی بر می‌گردد اما اگر مقدار نشت گاز همچنان افزایش یابد بعد از به صدا در آمدن زنگ دستگاه، شیر گاز را قطع خواهد کرد (این عمل با استفاده از شیربرقی انجام می‌گیرد). حال بعد از قطع گاز اگر در منزل آتش سوزی پیش آمده باشد چون همچنان مقدار دود حاصل از آتش سوزی رو به افزایش خواهد بود، دستگاه به ۸ شماره دلخواه زنگ خواهد زد. یک خروجی دیگر نیز برای مدار در نظر گرفته شده که به نیاز کاربر مورد استفاده قرار می‌گیرد.

در همه‌ی حالت‌های فوق کاربر می‌تواند با فشار کلیدی که بر روی برد تعییه شده خروجی‌ها را مجدداً غیر فعال کند.



شکل شماره ۱: شماتیک بخش فرستنده

تشریح عملکرد بخش فرستنده

در برنامه فرستنده در ابتدا میکرو مورد استفاده معرفی شده سپس فرکانس کاری و نرخ انتقال دیتا یا باودریت میکروکنترلر معرفی شده است.

در خطوط بعد پورت ۰.۰ به عنوان خروجی جهت راه اندازی LED نشانگر روشن بودن دستگاه پیکربندی شده و همچنین ADC تراشه جهت اسکن گاز موجود در محیط فعال سازی شده است.

در اینجا توضیحات مختصری راجع به ADC و نحوه راه اندازی آن داده خواهد شد.

ADC چیست:

گاهی نیاز است که یک کمیت بیرونی مانند دما شدت‌نور و ... اندازه گیری شود. جهت این کار از سنسورهای مربوطه استفاده می‌شود. سنسورها کمیت موردنظر را به ولتاژ، جریان و یا سایر کمیت‌های الکتریکی که اندازه گیریشان کار دشواری نیست تبدیل می‌کنند. ولتاژ تهیه شده توسط سنسور را می‌توان به یک کانال ADC اعمال کرده و مقدار دیجیتال آن را تولید کنیم و این مقدار دیجیتال را با محاسبات ریاضی به عددی دسیمال جهت نمایش تبدیل کنیم.

ADC های موجود در میکروکنترلرهای AVR ۱۰ بیتی بوده و بنابراین می‌توانند اعداد بین ۰ تا ۱۰۲۳ را در خود ذخیره کنند. مثلاً برای صفر ولت عدد صفر، برای پنج ولت عدد ۰۲۳ و برای ۲.۵ ولت عدد ۵۱۱ را در خود ذخیره می‌کنند. برای استفاده از این قابلیت باید ابتدا مثل سایر امکانات میکروکنترلر، پیکربندی آن را انجام داد.

نحوه پیکربندی ADC:

شکل کلی راه اندازی به صورت زیر می‌باشد:

CONFIG ADC = single, PRESCALER = AUTO, REFERENCE = opt

همانطور که در جدول شماره ۱ ملاحظه می‌شود دو مد کاری برای ADC وجود دارد:

ADC	Running mode. May be SINGLE or FREE.
PRESALER	A numeric constant for the clock divider. Use AUTO to let the compiler generate the best value depending on the XTAL
REFERENCE	The options depend on the used micro. Some chips like the M163 have additional reference options. In the definition files you will find : ADC_REFMODEL = x This specifies which reference options are available. The possible values are listed in the table below.

جدول شماره ۱

۱) Single: در این حالت هر موقعی که در برنامه کanal ADC مورد نظر فراخوانی شود، مقدار آن توسط میکرو گزارش می شود.

۲) Free: در این حالت خود میکرو به صورت پیش فرض در زمانهای معین کanal را چک کرده و به برنامه گزارش می دهد.

قسمت PRESALER مربوط به انتخاب فرکانس نمونه برداری کanal می باشد که در صورت انتخاب auto خود میکرو بهترین کلاک را انتخاب خواهد کرد.

در بخش REFERENCE که مربوط به انتخاب ولتاژ مرجع برای ADC می باشد چندین حالت به صورت زیر وجود دارد:

۱) Off: ولتاژ مرجع داخلی که برابر ۲.۵۶ ولت است خاموش شده و ولتاژ وصل شده به پایه Aref به عنوان ولتاژ مرجع در نظر گرفته می شود.

۲) AVcc: ولتاژ پایه AVcc به عنوان ولتاژ مرجع در نظر گرفته می شود.

۳) Internal: از ولتاژ مرجع داخلی ۲.۵۶ ولت استفاده می شود.

در برنامه دو متغیر به نام های A و AD معرفی شده اند که قبل از کاربرد هر کدام توضیحی در مورد متغیر داده می شود: متغیر چیست؟ متغیر نامی برای کلمات حافظه است که داده ها در آن قرار می گیرند و ممکن است در طول اجرای برنامه تغییر کنند. برای دسترسی به متغیرها از نامشان استفاده می شود.

متغیر AD مقدار اسکن شده کanal ADC را در خود ذخیره می کند که این عدد می تواند با توجه با ۱۰ بیتی بودن ADC ۰ تا ۱۰۲۳ باشد.

متغیر A مقدار رشته ای متغیر AD را در خود جهت ارسال به گیرنده ذخیره می کند. در مدار فرستنده در یک حلقه بی پایان مدام کanal مربوطه ADC چک شده و سپس مقدار عددی آن به رشته تبدیل می شود بعد از طی این مراحل با استفاده از دستور print مقدار رشته ای متغیر A از طریق کanal uart به گیرنده ارسال می شود.

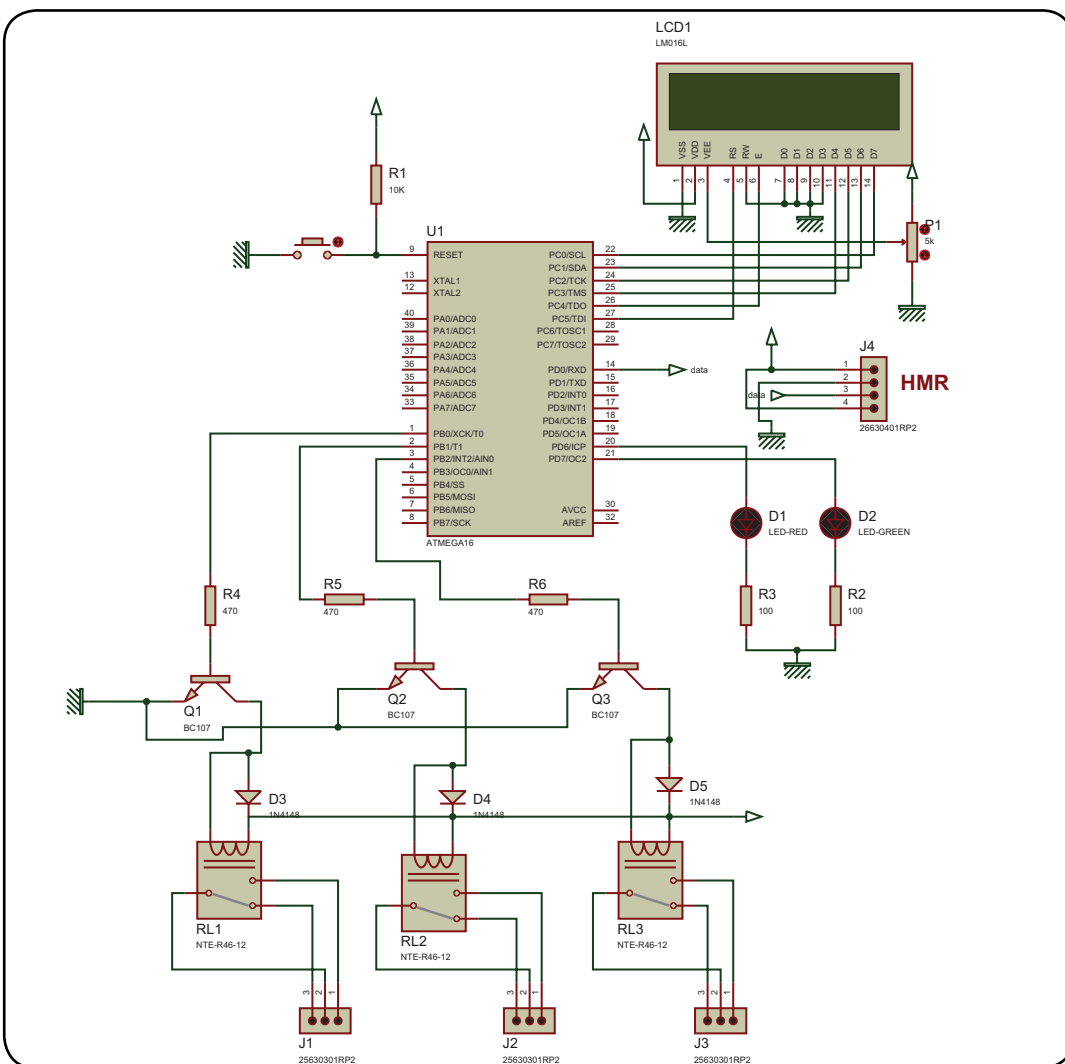
برنامه نوشته شده برای فرستنده به زبان بیسیک:

```
$regfile = "m8def.dat"
$crystal = 1000000
$baud = 9600
'-----
Config Portb.1 = Output
ConfigAdc = Single ,Prescaler = Auto , Reference = Avcc
Start Adc
Enable Adc
'
Dim A As String * 13
Dim Ad As Word
'
Set Portb.1
Wait 2
Main:
Do
Ad = Getadc(1)
A = Str(ad)
Waitms 75
Print A ;Chr(13);
Loop
End
```

پروژه دستگاه تشخیص نشت گازهای خانگی

تشریح عملکرد بخش گیرنده

دستگاه با دریافت مقدار گاز موجود، آن را طبق ضوابط از پیش تعیین شده چک کرده و به صورت خودکار عمل لازم را انجام می‌دهد.



شکل شماره ۲: شماتیک بخش گیرنده

برنامه نوشته شده برای گیرنده به زبان بیسیک:

```
$regfile = "m16def.dat"
$crystal = 1000000
$baud = 9600
'
Config Lcd = 16 * 2
Config Lcdpin = Pin ,Rs = Portc.5 , E = Portc.4 , Db4 = Portc.3 , Db5 = Portc.2 , Db6 = Portc.1 ,
Db7 = Portc.0
Cursor Off
'
Config Portb.0 = Output
Config Portb.1 = Output
Config Portb.2 = Output
Config Portb.3 = Output
Config Portd.6 = Output
Config Portd.7 = Output
Config Portb.4 = Input
'
```

```

Dim A As String * 13
Dim Ad As Word
Dim Tab As Byte
'-----
Designer:
Cls
Locate 1 , 15 : Lcd "www.ECA.ir"
Locate 2 , 15 : Lcd "www.ECA.ir"
For Tab = 0 To 13
Shiftlcd Left
Waitms 500
Next Tab
Wait 1
Main:
Do
Input A
Ad = Val(a)
If Ad <= 40 Then
Cls
LcdAd: Locate 1 , 4: Lcd "Normal Air"
Locate 2 , 3: Lcd "Disable Out"
Reset Portb.3: Reset Portb.2: Reset Portb.0: Reset Portb.1
Set Portd.7
Reset Portd.6
End If
If Ad > 40 Then
If Ad <= 120 Then
Cls
Locate 1 , 2: Lcd "low Gas sensing"
Locate 2 , 3: Lcd "Enable Alarm"
Set Portb.3: Reset Portb.2: Reset Portb.0: Reset Portb.1
Reset Portd.7
Set Portd.6
If Pinb.4 = 0 Then Reset Portb.3
End If
End If
If Ad > 120 Then
If Ad <= 200 Then
Cls
Locate 1 , 2: Lcd "Increased gas"
Locate 2 , 2: Lcd "Off gas valve"
Set Portb.2: Set Portb.3: Reset Portb.0: Reset Portb.1
Reset Portd.7
Set Portd.6
If Pinb.4 = 0 Then
Reset Portb.3
Reset Portb.2
End If
End If
End If
If Ad > 200 Then
If Ad <= 500 Then
Cls
Locate 1 , 2: Lcd "Increased gas"
Locate 2 , 1: Lcd "Contact Support"
Set Portb.2: Set Portb.3: Set Portb.0: Reset Portb.1

```

```

Reset Portd.7
Set Portd.6
If Pinb.4 = 0 Then
Reset Portb.3
Reset Portb.2
Reset Portb.0
End If
End If
End If
If Ad > 500 Then
If Ad ==< 1023 Then
Cls
Locate 1 , 2: Lcd "Increased gas"
Locate 2 , 6: Lcd "On Air..."
Set Portb.2: Set Portb.3: Set Portb.0: Set Portb.1
Reset Portd.7
Set Portd.6
If Pinb.4 = 0 Then
Reset Portb.3
Reset Portb.2
Reset Portb.0
Reset Portb.1
End If
End If
End If
If Pinb.4 = 0 Then
Reset Portb.0
Reset Portb.1
Reset Portb.2
Reset Portb.3
End If
Loop
End

```

در برنامه گیرنده نیز چند خط اول مربوط به معرفی میکروکنترلر به کامپایلر، تعیین فرکانس کاری، باوودریت و ورودی/ خروجی کردن پین ها می باشد.

در خط بعدی متغیرها معرفی شده اند که کاربرد آنها به ترتیب زیر است:

(۱) Tab: در تابع **Designer** جهت حرکت متن در حلقه **for next** استفاده شده است.

(۲) A: این متغیر همان متغیر در قسمت فرستنده می باشد که توسط گیرنده دریافت می شود و همچنان به صورت رشته است.

(۳) Ad: این متغیر مقدار عددی متغیر A را در خود ذخیره می کند تا بتوان از این مقدار در قسمت های مختلف برنامه استفاده کرد.

نحوه کارکرد تابع مورد استفاده در برنامه گیرنده تابع **Designer**

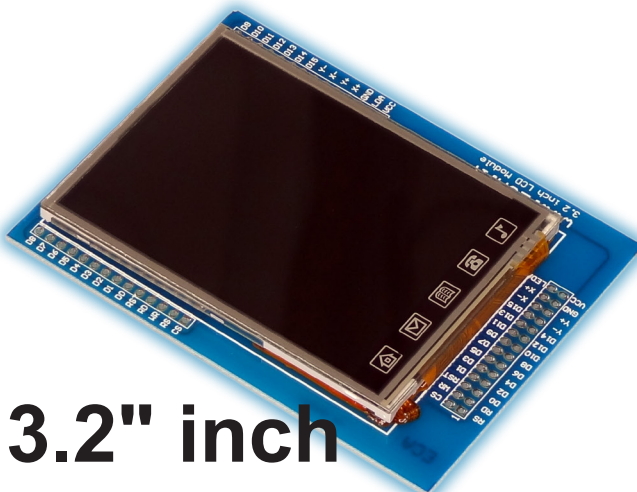
این تابع جهت نمایش یک تبلیغ ساده و نمایش یک متن با افکت، بر روی LCD می باشد که شیفت دادن متن توسط یک حلقه **for next** مهیا شده است.

در دستورات شیفت فقط امکان شیفت دادن یک واحدی وجود دارد که در صورت نیاز به شیفت دادن با تعداد زیاد باید از حلقه ها استفاده کرد.

تابع **Main**

در این تابع که قسمت اصلی برنامه نیز می باشد ابتدا مقدار A از پروتکل **UART** دریافت شده و سپس مقدار رشته ای متغیر A به صورت عددی در متغیر AD قرار می گیرد. مقدار این متغیر بیان کننده مقدار گاز موجود در محیط می باشد که با استفاده از شرط های if موجود در برنامه این مقدار تست شده و با توجه به گاز موجود در محیط در مورد آن تصمیم گیری می شود.

ماژول های TFTLCD به همراه تاچ اسکرین



3.2" inch



2.8" inch

این ماژول جهت کارکرد راحتتر با LCD های رنگی ۳.۲ اینچی ساخته شده و تمام پایه های مورد استفاده این LCD و همچنین پایه های تاچ اسکرین بیرون کشیده شده است. ماژول فوق قابلیت اتصال بر روی برد برد و تمام بردهای کاربردی و صنعتی را دارا می باشد. در ضمن ماژول دارای بسته بندی مناسبی جهت حفاظت از شکستگی در مرسوله های پستی می باشد.

این ماژول جهت کارکرد راحتتر با LCD های رنگی ۲.۸ اینچی ساخته شده و تمام پایه های مورد استفاده این LCD و همچنین پایه های تاچ اسکرین بیرون کشیده شده است. ماژول فوق قابلیت اتصال بر روی برد برد و تمام بردهای کاربردی و صنعتی را دارا می باشد. در ضمن ماژول دارای بسته بندی مناسبی جهت حفاظت از شکستگی در مرسوله های پستی می باشد.

اطلاعات مربوط به LCD :

LCD رنگی فوق دارای چیپست به شماره ۹ SSD1289 بوده که می تواند از طریق ۱۶ خط داده با انواع میکروکنترلر های ۸ و ۲۲ بیتی از قبیل AVR-XMEGA-PIC-ARM ارتباط برقرار کرده و اطلاعات مربوط به تصاویر را از آنها دریافت کند. برای LCD موردنظر بحث امکان راه اندازی در هر ۲ مود ۸ و ۱۶ بیتی وجود دارد این ماژول برای عملکرد ۱۶ بیتی طراحی شده و تغییر مود عملکرد بر عهده کاربر خواهد بود.

رزولیشن تصویر : ۲۴۰*۳۲۰ پیکسل
ابعاد : ۷.۵*۵.۵ سانتی متری (۳.۲ اینچ)
چیپست کنترلی - درایور: SSD1289

توضیحات تکمیلی : <http://eshop.eca.ir/link/897.php>

اطلاعات مربوط به LCD :

LCD رنگی فوق دارای چیپست به شماره ۹ ili9325-ili9320 بوده که می تواند از طریق ۱۶ خط داده با انواع میکروکنترلر های ۸ و ۳۲ بیتی از قبیل AVR-XMEGA-PIC-ARM ارتباط برقرار کرده و اطلاعات مربوط به تصاویر را از آنها دریافت کند. برای LCD موردنظر بحث امکان راه اندازی در هر ۲ مود ۸ و ۱۶ بیتی وجود دارد که برای اینکار می بایستی مقاومت های روی LCD را تغییر دهید و یا از پایه IM استفاده نمایید که برای این کار نیاز به لحیم کاری LCD می باشد. این ماژول برای عملکرد ۱۶ بیتی طراحی شده و تغییر مود عملکرد بر عهده کاربر خواهد بود.

این LCD در بازار موبایل، به نام Nokia N96 چینی شناخته می شود که دارای چیپست های بسیار متنوعی هستند که تنها مدل های خاصی از آنها قابل راه اندازی هستند.

رزولیشن تصویر : ۲۴۰*۳۲۰ پیکسل
ابعاد : ۵*۶.۵ سانتی متری (۲.۸ اینچ)
چیپست کنترلی - درایور : ili9325- ili9320
توضیحات تکمیلی : <http://eshop.eca.ir/link/619.php>

نرم افزار Jimbo LCD :

جهت راه اندازی هرچه ساده تر LCD های رنگی توسط میکروکنترلرهای مختلف (ARM-AVR) نرم افزار Jimbo LCD از طرف وب سایت ECA طراحی گشته است تا کاربران به راحتی بتوانند عکس، افکت و سایر موارد مرتبط را بر روی LCD های رنگی پیاده سازند.



توضیحات تکمیلی : http://eshop.eca.ir/link/jimbo_lcd.php

AVR Ethernet Board



توضیحات تکمیلی : <http://eshop.eca.ir/link/829.php>

در این دستگاه از تراشه ENC28J60 ساخت شرکت microchip استفاده شده است. این تراشه تمامی شرایط مورد نیاز برای اتصال به شبکه TCP/IP (ایه فیزیکی mac و...) را یکجا فراهم می‌کند. نحوه برقراری ارتباط این تراشه با میکروکنترلر به وسیله پروتکل پر سرعت SPI می‌باشد. در این دستگاه علاوه بر خود تراشه ENC28J60 ATMEGA32A همچنین جهت سهولت در امر برنامه نویسی و یادگیری نحوه استفاده از این برد، فایل آموزشی به همراه کتابخانه‌های لازم جهت برنامه نویسی و پروژه نمونه در CD مخصوص قرار گرفته است.



امکانات و مشخصات برد:

- * میکروکنترلر ATMEGA32A
- * کنترل شبکه ENC28J60 10Mbit
- * ۴ عدد شستی مکان نما
- * دارای LCD ۱۶ کاراکتری
- * امکان اتصال حافظه EEPROM
- * کانکتور ISP برای پروگرام کردن برد
- * کانکتور خروجی برای دو پورت A و C میکروکنترلر
- * نمایش ارسال و دریافت اطلاعات شبکه از طریق LED

Digital ICs Tester



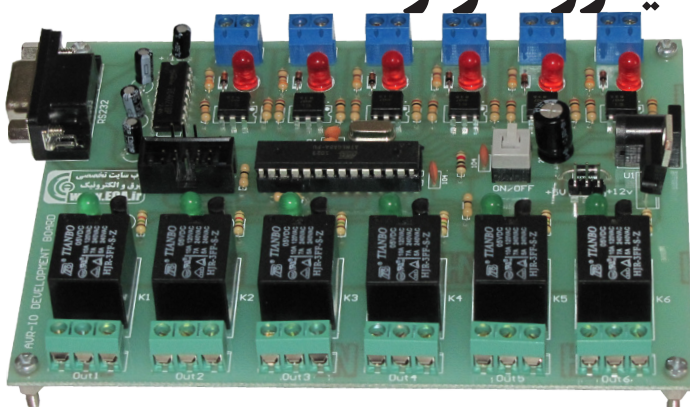
یکی از مشکلات موجود بر سر راه علاقمندان و طراحان الکترونیک که همیشه باعث اتلاف وقت بسیار زیادی می‌شود، خرابی و معیوب شدن قطعات الکترونیکی بوده که هیچ گاه از ظاهر قابل تشخیص نبوده و فقط با تست قطعه معیوب می‌توان از خرابی آن آگاه شد. این دستگاه یک تست کننده انواع IC مخصوص آزمایشگاه‌ها و جزئی لاینفک از تجهیزات طراحان حرفه‌ای می‌باشد که دارای امکاناتی جهت تست انواع IC‌های پرکاربرد خانواده‌های TTL و CMOS و ULN... می‌باشد و می‌تواند در کمترین زمان ممکن قطعات را تست و سالم بودن یا خراب بودن تک تک گیت‌ها و یا کلیت قطعه را مشخص نماید.

قطعات قابل تست دستگاه:

- » IC‌های پرکاربرد سری 74XX
- » IC‌های پرکاربرد سری 40XX
- » IC‌های پرکاربرد سری 45XX
- » IC‌های پرکاربرد سری ULN 20XX
- » IC‌های پرکاربرد سری ULN 28XX

توضیحات تکمیلی : <http://eshop.eca.ir/link/633.php>

برد توسعه ورودی خروجی میکروکنترلر AVR



برد توسعه AVR جهت استفاده از پورت‌های ورودی و خروجی میکروکنترلرهای AVR طراحی شده است.

کاربردها:

مصارف آموزشی، جهت آشنایی و تسلط بر امکانات میکروکنترلرهای AVR استفاده در پروژه‌های هوشمندسازی خانه و سایر مصارف کنترلی PLC در محیط‌های صنعتی به عنوان دستگاه‌های کنترلی مانند استفاده در پروژه‌های اینترفیس آموزشی و کاربردی توسط پورت سریال هماهنگ با نرم افزارهای برق و الکترونیک مانند MATLAB و LABVIEW ...



توضیحات تکمیلی : <http://eshop.eca.ir/link/621.php>

ساخت ماشین حساب لمسی بر دوی LCD 3.2 اینچی



می خواهیم با استفاده از
برد آموزشی NXP LPC1768
ورژن ۳ (موجود در فروشگاه ECA) و با
استفاده از نمایشگر گرافیکی ۳.۲ اینچی و صفحه
لمسی آن به عنوان کیپد یک ماشین حساب لمسی
طراحی کنیم.

هدف از این پروژه آشنایی با نحوه استفاده از LCD گرافیکی موجود، و
همچنین آشنایی با نحوه عملکرد صفحات لمسی می باشد.

LCD گرافیکی استفاده شده در این پروژه شامل یک جهت راه اندازی می باشد. برای
استفاده از این کتابخانه باید فایل های `Font_24x16.h`, `lcd.h`, `lcd.c`, `sys.h` در مسیر کامپایلر keil
کپی شود.

همچنین در این پروژه تاج اسکرین LCD به عنوان `keypad` برای ماشین حساب به کار گرفته شده است. LCD استفاده
شده دارای یک کتابخانه با نام `touch` برای کار با صفحه لمسی می باشد که برای استفاده از این کتابخانه باید فایل های
`touch.h`, `touch.c`, `i2c.h`, `i2c.c`, `sys.h`, `exti.h` در مسیر پروژه موجود باشد.

این فایل ها اگر در مسیر پروژه کپی شود کتابخانه به طور مثال به صورت `#include "lcd.h"` معرفی می شود و اگر این

بیسند: یوسف خدایست
bemu14@yahoo.com

فایل ها در مسیر کامپایلر keil یعنی مسیر Keil\ARM\INC\NXP\LPC17xx کپی شود کتابخانه به صورت #include<lcd.h> معرفی می شود.
فایل های مور نیاز در ضمنیمه مجله ارائه شده است.
به توضیح توابعی از کتابخانه ها می پردازیم که در این پروژه مورد استفاده قرار گرفته اند:

Read_ADS(u16 *x,u16 *y):

این تابع برای خواندن مقدار آنالوگ قسمت های مختلف صفحه لمسی به کار گرفته می شود. هر قسمت از LCD دارای دو مولفه y , X می باشد که این تابع این مولفه ها را در اشاره گرهای y , X ذخیره می کند. البته برای تبدیل این مقادیر به موقعیت از تناسب استفاده می شود که در ادامه به آن اشاره می شود.

LCD_ShowString (u8 x,u16 y,char *p)

رشته p را در مختصات y , X به نمایش در می آورد.

LCD_ClearLn (unsigned int ln,unsigned int col)

به اندازه ۲۰ کاراکتر را از مختصات ln و col به بعد را پاک می کند.

LCD_ShowChar(u8 x,u16 y,u8 num,u8 size,u8 mode)

یک کاراکتر را در مختصات y , X به نمایش در می آورد

LCD_Bitmap (unsigned int x, unsigned int y, unsigned int w, unsigned int h, unsigned char *bitmap)

با استفاده از این تابع تصویر ذخیره شده در حافظه میکروکنترلر در LCD به نمایش در آورده می شود.

شرح کلی برنامه

عملکرد برنامه به این صورت است که تصویر ماشین حساب در LCD نمایش داده می شود و کاربر می تواند از طریق لمس کلیدهای ماشین حساب از طریق LCD محاسبات موردنظر خود را انجام دهد و نکته قابل توجه این است که لمس قسمت صفحه نمایش ماشین حساب به عنوان کلید ON/C عمل می کند، یعنی با لمس قسمت موردنظر صفحه نمایش پاک می شود.

شرح قسمت های مختلف برنامه

```
#include <LPC17xx.h>
#include <string.h>
#include <stdlib.h>
#include <stdio.h>
#include "sys.h"
#include "i2c.h"
#include "exti.h"
#include "lcd.h"
#include "touch.h"
```

فایل های سرآیند و الحاقی برنامه در این قسمت از برنامه معرفی شده است و در قسمت های مختلف برنامه، توابع این کتابخانه ها به کار برده شده است.

```
extern      unsigned char glimage_calcu[] ;
unsigned char matrix[4][4]={{'7','8','9','+'}
 ,{'4','5','6','-'}
 ,{'1','2','3','*'}
 ,{'0',' ','=','/'}
 };
float number1 =0;
float number2 =0;
float result=0.0;
static char last_key ;
unsigned char mmz=0,count=0, data_in=0;
char save_str[32] ;
char lcd_buf[32] ;
char helper[32] ;
char str[32] ;
unsigned char i, j, Code, key ;
unsigned int x,y ;
```

در اینجا متغیرهای سراسری و آرایه های مورد استفاده در چند تابع از برنامه معرفی شده اند.

آرایه `glImage_calcu[]`

این آرایه شامل کدهای تصویر ماشین حساب که در LCD به نمایش در می آید می باشد و چون این کدها در یک فایل دیگر (`calcuc.c`) معرفی شده اند برای استفاده از این کدها در فایل جاری برنامه این آرایه به صورت `extern` معرفی شده است.

آرایه `matrix [4][4]`

این آرایه یک آرایه دو بعدی ۴ در ۴ می باشد که در آن کدهای کلید های مختلف ماشین حساب معرفی شده است و این آرایه برای تشخیص کد کلید لمس شده به کار برد می شود.

```
void delay()
{
int z ;
for(z=0 ; z<2500000 ; z++) ;
}
```

تابع `delay`

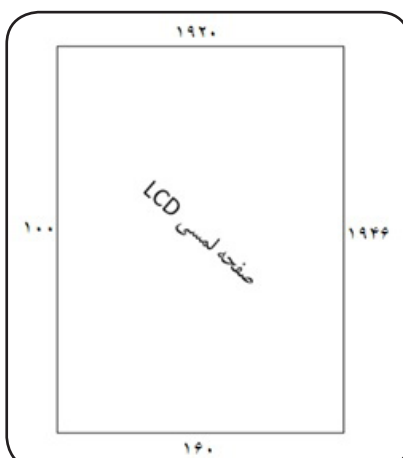
تابع تاخیر مورد استفاده در خواندن صفحه لمسی می باشد و برای جلوگیری از خطای لرزش دست در حین لمس صفحه کلید ماشین حساب می باشد.

```
char Key_Code(void)
{
while(1)
{
if(Pen_Point.Key_Sta==Key_Down)
{
Read_ADS(&Pen_Point.X,&Pen_Point.Y);
x=(240*(Pen_Point.X-100))/1846 ;
y=(320*(1920-Pen_Point.Y))/1760 ;
delay();
Pen_Point.Key_Sta=Key_Up ;
if(x<225&&x>5&&y<112&&y>33) {Code='c';
return Code;
}
for(i=0;i<4;i++)
{
for(j=0;j<4;j++)
{
if(x<52+j*59&&x>1+j*59&&y<163+i*50&&y>121+i*50)
{
Code = matrix [i] [j] ;
return Code ;
}}}}}}
```

تابع `Key_Code`

این تابع صفحه لمسی LCD را اسکن کرده و کد متناسب را برمی گرداند. برای خواندن صفحه لمسی به طور غیر مستقیم از تکنیک وقفه استفاده شده است به این صورت که پایه P2.13 در کتابخانه `touch` به صورت ورودی وقفه تعریف شده است و با لمس صفحه لمسی ولتاژ پایه 13 P2.13 از مقدار ۳.۳V به مقدار ۰ نزول پیدا می کند و چون وقفه به صورت لبه پایین رونده تنظیم شده است بنابراین وقفه رخ داده و در تابع مربوط به این وقفه وضعیت متغیر `Pen_Point.Key_Sta` برابر با `if(Pen_Point.Key_Sta==Key_Down)` تست می شود و با توجه به این مطلب در تابع `Key_Code` توسط دستور `if(Pen_Point.Key_Sta==Key_Down)` تست می شود که آیا صفحه لمسی، لمس شده است یا نه. سپس توسط تابع `Read_ADS` مقدار آنالوک تحویلی نقطه لمس شده صفحه لمسی خوانده شده و در متغیر های `Pen_Point.X` و `Pen_Point.Y` ذخیره شده و سپس به موقعیت تبدیل می شود.

شکل شماره ۱



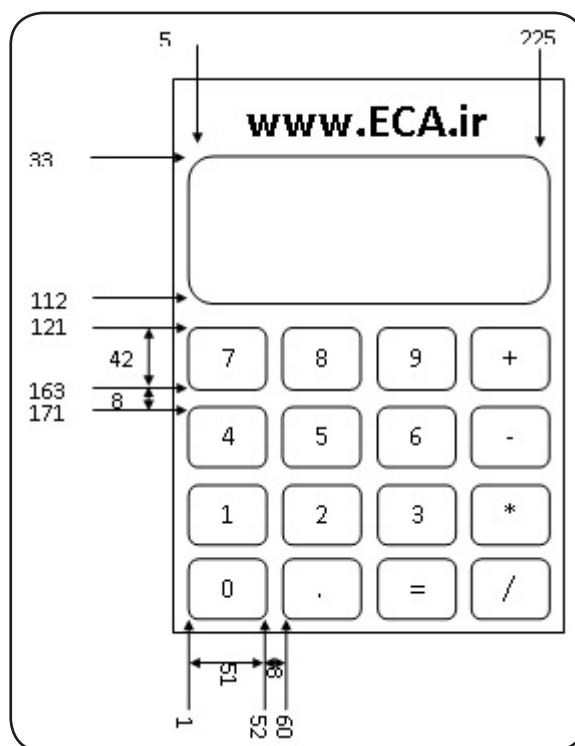
در شکل شماره ۱ اعداد ثبت شده، مقدار آنالوگ تحويلی صفحه لمسی در چهار ضلع آن می باشد که توسط تابع `Read_ADS` در یک فایل دیگر خوانده شده اند. با برقراری دو تناسب زیر موقعیت نقطه لمس شده LCD بحسب می آید. در

1920-160	320
1920-	
Pen_Point.X	y

$$\Rightarrow x = \frac{240 \times (\text{Pen_Point.X} - 100)}{1846}$$

$$\Rightarrow y = \frac{320 \times (1920\text{Pen_Point.Y})}{1760}$$

نهایت با مقایسه موقعیت نقطه لمس شده و موقعیت کلید های ماشین حساب کد متناسب با آن برگردانده می شود.
 شده لمس موقعیت: ۷ کلید



شکل شماره ۲

Clear تابع
 این تابع مقادیر تمام متغیرها را به مقدار صفر برگردانده و همچنین صفحه نمایش را پاک می کند.
 در واقع این تابع همان کاری را انجام میدهد که کلید ON/C در تمام ماشین حسابها انجام می دهد.

اعداد ثبت شده در شکل موقعیت یک کلید از ماشین حساب را نشان می دهد و چون شکل دارای نظم هندسی است و کلیدها و فاصله بین آنها دقیقاً مثل هم است، موقعیت سایر کلیدها نیز مشخص می شود که از این قاعده در نوشتن تابع برای تشخیص موقعیت لمس شده و برگرداندن کد متناسب با آن استفاده شده است.

```
void display(){
    sprintf(lcd_buf,"%f",number1);
    LCD_ShowString(10,90,"");
    LCD_ShowString(15,90,lcd_buf);
    LCD_ClearLn(10,75);
    LCD_ShowChar(15,75,'=',16,0);
}
```

display
 این تابع برای نمایش نتیجه نهایی محاسبات در LCD ایجاد شده است.

```
void Clear(){
    *save_str=NULL;
    *str=NULL;
    *lcd_buf=NULL;
    number1 = 0;
    number2 = 0;
    last_key = 0;
    LCD_ShowString(10,90,"");
    LCD_ShowString(15,90,"0");
    data_in = 0;
    LCD_ClearLn(10,45);
    LCD_ClearLn(10,60);
    LCD_ClearLn(10,75);
    LCD_ShowChar(200,60,' ',16,0);
}
```

```
void config_number(float f_number){
    static float divsion[]={1,10,100,1000,10000,100000,1000000};
    f_number=(f_number/divsion[mmz]);
    result=f_number;
}
```

config_number تابع
 تابعی که از آن برای کار با اعداد اعشاری استفاده می شود. به طور مثال در این برنامه، دریافت عدد ۱۲,۳ به این صورت است که تابع `calculator` این عدد را به صورت ۱۲۳ دریافت می کند و تعداد اعداد بعد ممیز (`mmz`) را نیز تعیین می کند که در این مثال `mmz=1` می شود سپس با فراخوانی تابع `config_number` عدد ذخیره شده ۱۲۳ به مقدار واقعی ۱۲,۳ تبدیل می شود.

```
signed char test_key (char key){
if ((key == '.')|| ((key >= '0') && (key <= '9'))) return 1;
else return 0;
}
```

تابع **test_key**

این تابع برای تست دریافت کد اعداد ۰ تا ۹ یا ممیز می باشد و در صورتی که دریافتی جزو این کدها باشد عدد ۱ و در غیر اینصورت عدد ۰ برگردانده می شود.

```
void ack_opretion(char opretion){
signed char res = 0;
switch (opretion)
{
case '+': number1 += number2; break;
case '-': number1 -= number2; break;
case '*': number1 *= number2; break;
case '/':
if (number2 != 0)
{number1 /= number2; }
else
res = 1;
break;
}
if (res == 0){
if ((number1 >= -999999999) && (number1 <=9999999999999999.999999))
display();
else{
LCD_ClearLn(10,60);
LCD_ClearLn(10,75);
LCD_ShowString(10,90," ");
LCD_ShowString(15,90,"error number");
}
}
if (res == 1){
LCD_ShowString(10,90," ");
LCD_ShowString(15,90,"*ERROR*");
}
}
```

تابع **ack_opretion**

این تابع برای تشخیص نوع عملیات محاسبه و انجام آن و همچنین نمایش نتیجه محاسبات می باشد.

```
void calculator(){
LCD_ShowString(15,90,"0");
while(1)
{
start:
key = Key_Code();
if(key=='c')
{
Clear();
goto start;
}
if (test_key(key)) {
if (data_in != 9)
{
data_in++;
if((key=='.')&&(count!=1))
```

```

{
if(data_in==1) strcat(str,"0. ");
else strcat(str,".");
count=1;
data_in--;
LCD_ClearLn(10,75);
LCD_ShowString(15,75,str);
goto start;
{
if(key=='.')
{
data_in--;
goto start;
}

if(count==1) mmz++;
key=key-'0';
sprintf(helper,"%d",key);
strcat(save_str,helper);
strcat(str,helper);
LCD_ClearLn(10,75);
LCD_ShowString(15,75,str);
{
}
else}
if(key!='=') LCD_ShowChar(200,60,key,16,0);
if (data_in != 0){
if (last_key == 0){
LCD_ClearLn(10,45);
LCD_ClearLn(10,60);
LCD_ShowString(15,45,str);
number1 =atof(save_str);
*save_str=NULL;
*str=NULL;
config_number(number1);
number1=result;
count=0;
mmz=0;
}
else{
LCD_ClearLn(10,60);
LCD_ShowString(15,60,str);
number2 = atof(save_str);
*save_str=NULL;
*str=NULL;
config_number(number2);
number2=result;
count=0;
mmz=0;
}
}

data_in = 0;
if (last_key != 0) ack_opretion(last_key);
if (key != '=')
last_key = key;
else
last_key = 0;
if((data_in==0)&&(last_key!=0))
LCD_ShowString(15,45,lcd_buf);
}
}

```

تابع calculator

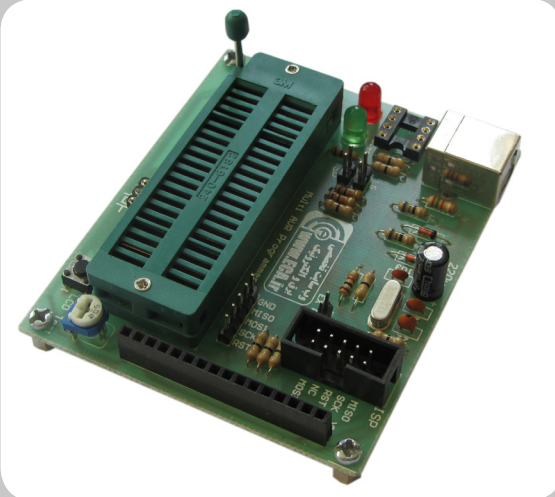
این تابع، تابع محاسبه گر برنامه می باشد و تابع ارتباط دهنده تمام توابع به یکدیگر می باشد. اعداد و عملگرهایی که از سوی کاربر وارد می شود، توسط این تابع تحویل گرفته شده و پردازش های لازم از جمله ذخیره، نمایش و... بر روی آنها انجام می شود تا به نتیجه موردنظر بیانجامد.

```
int main()
{
SystemInit();
LCD_Init();
Touch_Init();
LCD_Bitmap(0,0,240,320,gImage_calcu);
calculator();
}
```

تابع main

تابع اصلی برنامه که تنظیمات اولیه میکروکنترلر، LCD و تاچ در این تابع انجام می پذیرد و همچنین نمایش تصویر ماشین حساب در LCD در این تابع انجام می پذیرد.

Multi AVR Programmer



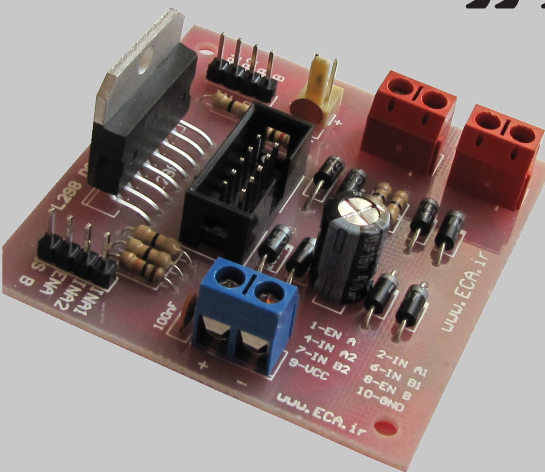
این پروگرامر علاوه بر استفاده از تکنولوژی USB جهت اتصال به رایانه دارای امکانات و ویژگی های دیگری بوده که می تواند محدوده وسیعی از احتیاجات شما را برآورده سازد. امکان تست LCD، پروگرام کردن میکرو های معیوب، رنج وسیع از میکرو های قابل برنامه ریزی، هماهنگی با انواع سیستم عامل ها و.... از امکانات ویژه این پروگرامر است که در ادامه تمامی آنها معرفی می شوند.

- ◀ هماهنگی با پورت های USB 2.0 و USB 1.1
- ◀ بدون نیاز به تغذیه خارجی
- ◀ مجهز به کانکتور ISP خروجی
- ◀ پروگرام کردن تمام میکروها فقط از طریق یک ZIF سوکت
- ◀ سازگاری با سیستم عامل های (Linux / Mac OS X / Windows)
- ◀ پشتیبانی از تمامی میکروکنترلرهای خانواده AVR
- ◀ پشتیبانی از حافظه های سریال سری 24CXX
- ◀ توانایی تست LCD های کاراکتری
- ◀ استفاده از سوکت ZIF برای پروگرام کردن . جهت جلوگیری از صدمه رسیدن به تراشه
- ◀ DVD شامل نرم افزارهای مورد نیاز به همراه تمامی دیتاشیت تمامی میکرو ها
- ◀ دارای ۱۲ ماه گارانتی

توضیحات تکمیلی :

<http://eshop.eca.ir/link/489.php>

درایور راه انداز موتور L298



یکی از کارهای که می توان با میکروکنترلر انجام داد کنترل سرعت و یا تغییر جهت انواع موتورهای الکتریکی می باشد. میکروکنترلرهای علت کم بودن جریان خروجی به تنهایی قادر به راه اندازی موتورهای الکتریکی نبوده و از درایورها جهت کنترل موتورهای الکتریکی استفاده می نمایند. یکی از درایورهای پر کاربرد جهت استفاده برای موتورهای الکتریکی درایور L298 است که قادر به کنترل ۲ موتور با ولتاژ ۵۰ ولت و حداکثر جریان ۲ می باشد. مازول فوق با استفاده از درایور موتور L298 طراحی گردیده و توانایی کنترل همزمان ۲ موتور DC را دارد.

حداکثر جریان قابل تامین برای هر موتور : ۲A
حداکثر ولتاژ قابل تامین هر موتور : ۵۰V
قابل راه اندازی با تمام میکروکنترلرهای

توضیحات تکمیلی :

<http://eshop.eca.ir/link/87106.php>

پروگرامر و دیباگر J-LINK V8.0

قابلیت آپدیت



- برخی از ویژگی های مهم این دستگاه :
- ارتباط با کامپیوتر از طریق پورت USB 2.0
- توانایی پروگرام و دیباگ در کامپایلرهای مختلف (... , IAR , Keil)
- پشتیبانی کامل از تمام میکروکنترلرهای ARM7/ARM9/ARM11 (Atmel, Philips, Cortex-M0/M1/M3,...)

- پشتیبانی از Serial Wire Debug (SWD)
- پشتیبانی از Serial Wire Viewer (SWV)
- قابلیت شناسایی اتوماتیک قطعات
- سرعت 12MHZ JTAG تا Kbytes/second 720
- سرعت دانلود تا Kbytes/second 800 DCC
- سازگاری کامل با IAR Embedded Workbench IDE
- بدون نیاز به تغذیه (تامین تغذیه از طریق پورت USB)
- قابلیت نمایش target voltage JTAG signal و قابلیت اندازه گیری
- پشتیبانی از دستگاههای متعدد
- دارای سیستم plug and play
- دارای کانکتور JTAG ۲۰ پین استاندارد
- رنج ولتاژ کاری بالا از ۱.۲v تا ۳v (قابلیت کار تا ۵v)
- دارای کابل USB و کابل ریبون ۲۰ پین
- دارای سیستم تغذیه هوشمند (محافظت در برابر اضافه بار)
- قابلیت استفاده از JTAG به صورت ۱۴ پین Memory viewer
- پشتیبانی از تمامی نرم افزارهای Flash programming
- پشتیبانی از سیستم Flash DLL
- پشتیبانی از Software Developer Kit (SDK)
- پشتیبانی از Embedded Trace Buffer (ETB)



سازگاری کامل با
ویندوز ۷

توضیحات تکمیلی : <http://eshop.eca.ir/link/506.php>

پروژه پخش فایل های صوتی Audio Player



نویسنده : یوسف خداپرست
bemu14@yahoo.com

هدف از این پروژه کار با ماژول VS1003B جهت پخش فایل های MP3 ذخیره شده در حافظه MMC می باشد. کاربرد ماژول VS1003B ضبط و پخش صدا می باشد که در این پروژه، قابلیت پخش صدای این ماژول به کار گرفته شده است.

در این پروژه پروتکل SPI برای ارتباط میکروکنترلر با حافظه MMC به کار گرفته شده است و برای ارتباط میکروکنترلر با ماژول VS1003B از پایه های GPIO میکروکنترلر بهره گرفته شده است. البته ماژول VS1003B قابلیت برقراری ارتباط از طریق پروتکل SPI را نیز دارد. همچنین در این پروژه از LCD کاراکتری، به عنوان واسطه گرافیکی میان کاربر و میکروکنترلر استفاده شده است.

فایل هایی که برای راه اندازی قسمت های مختلف به کاربرده شده است :

VS1003B.h و VS1003B.c : هدر و سورس مربوط به راه اندازی مژول LCD.h کاراکتری با میکروکنترلر های LPC23xx و LPC17xx و NOR و NAND فلش کتابخانه ای برای راه اندازی FS_CMC3.lib و کارت های حافظه از جمله MMC می باشد. برای استفاده از این کتابخانه باید فایل File_Config.c در مسیر FS_CMC3.lib در مسیر نرم افزار keil باید لایسننس مربوط به آن نصب شده باشد. در اینصورت این کتابخانه باید از مسیر زیر به پروژه اضافه گردد :

C:\Keil\ARM\RV31\LIB\FS_CM3.lib

: برای پیکربندی کتابخانه FlashFS استفاده می شود که با استفاده از Keil Wizard نرمافزار می توان آنرا به صورت گرافیکی انجام داد. در این فایل حافظه های مورد استفاده و درایو پیشفرض و چند گزینه دیگر تنظیم می شوند. SPI_LPC17xx.c : این کتابخانه برای راه اندازی بخش SPI در میکروکنترلر lpc17xx می باشد. که در این پروژه از SPI برای ارتباط میکروکنترلر و حافظه MMC بهره گرفته شده است. system_LPC17xx.h : این کتابخانه برای تنظیمات اولیه سیستم میکروکنترلر می باشد. همچنین فایل Retarget.c نیز در مسیر پروژه موجود باشد.

شرح کلی پروژه

قسمت های مختلف پروژه :

هدربرد میکروکنترلر LPC17xx : به عنوان پردازنده مرکزی پروژه مژول VS1003B : دیکودر فایل های صوتی LCD کاراکتری : نمایش عملیاتی که در حال انجام است حافظه MMC : حافظه نگهدارنده فایل هایی که کاربر قصد پخش آنها را دارد

چهار کلید فشاری : برای انجام عملیات Back, Stop/Pause, Forward و Play/Stop توسط کاربر عملکرد کلی برنامه به اینصورت است که در ابتدای راه اندازی در سطر اول LCD عبارت Audio Player نمایش داده می شود و وضعیت MMC بررسی می شود اگر MMC داخل سوکت قرار گرفته باشد تعداد فایل های صوتی در سطر دوم LCD نمایش داده می شود و اگر MMC داخل سوکت قرار نگرفته باشد عبارت insert memory در سطر دوم نمایش داده می شود و در اینصورت باید MMC در داخل سوکت قرار داده شود سپس با فشار کلید Play/Pause پخش فایل صوتی اول شروع و اسم آن نیز در LCD نشان داده می شود و دوباره با فشار دادن هریک از کلید ها عملیات منتظر یعنی Stop/Pause, Forward, Back, Stop انجام شده و در LCD نمایش داده می شود.

اگر کارت حافظه MMC در حین اجرای فایل دوباره از سوکت خارج شود عبارات Insert Memory و Audio Player برای بیان این وضعیت در LCD نمایش داده می شود.

همچنین قابلیت جستجو نیز به این پروژه اضافه شده است به اینصورت که با فشار دادن و نگهداشتن هریک از کلیدهای Forward یا Back اسم فایل های صوتی یک به یک در LCD نمایش داده می شود و با رها کردن کلید موقع نمایش اسم فایل مورد نظر، همان فایل به اجرا گذاشته می شود.

شرح جزئی قسمت های مختلف برنامه :

```
#include <stdio.h>      /* standard I/O .h-file */
#include <string.h>      /* string and memory functions */
#include <LPC17xx.H>      /* LPC17xx definitions */
#include "File_Config.h"
#include "VS1003B.c"
#define LCD_LPC1768      /*lcd port and pin definitions */
#define LCD_PORT_0
#define LCD_RS 0
#define LCD_E 1
#define LCD_DB4 2
#define LCD_DB5 3
#define LCD_DB6 4
#define LCD_DB7 5
#include "lcd.h"

static char NAME[64];
static int Pause=0,File_Num=0,F=0,B=0,P=0,S=0,files,CH;
```

در قسمت فوق فایل های سرآیند و الحاقی و همچنین متغیرهای کلی مورد استفاده در توابع مختلف برنامه معرفی شده و همچنین یا به های موردن ظر میکروکنترلر برای ارتباط با LCD در این قسمت تعریف شده اند.

```
/*
 *          Flash Memory Card Directory
 */
static void directory (int num)
{
    U32 i,j=0;
    char ch;
    FINFO info;
    files = 0;
    info.fileID = 0;
    while (ffind ("*.mp3",&info) == 0) /* mp3 file directory */
    {
        j++;
        i = 0;
        while (strlen((const char *)info.name+i) > 64)
        {
            ch = info.name[i+64];
            info.name[i+64] = ch;
            i += 64;
        }
        if(j==num)
        {
            *NAME=NULL;
            strcpy(NAME,&info.name[i]);
        }
        files++;
    }
    info.fileID = 0;
    while (ffind ("*.wav",&info) == 0) /* wav file directory */
    {
        j++;
        i = 0;
        while (strlen((const char *)info.name+i) > 64)
        {
            ch = info.name[i+64];
            info.name[i+64] = ch;
            i += 64;
        }
        if(j==num)
        {
            *NAME=NULL;
            strcpy(NAME,&info.name[i]);
        }
        files++;
    }
    if (info.fileID == 0)
    {
        lcd_gotoxy(2,1);
        lcd_putsf("No File for play");
    }
}
```

پروژه پخش فایل های صوتی

این قسمت از برنامه مربوط به دایرکتوری کارت حافظه MMC می باشد و از فایل های MP3 و WAV موجود در کارت MMC دایرکتوری می گیرد. تابع `directory num` یک آرگومان با نام `num` دارد که مربوط به شماره فایل موردنظر در دایرکتوری کارت حافظه می باشد.

تابع اصلی برنامه با فراخوانی این تابع به تعداد فایل های صوتی داخل کارت حافظه دسترسی پیدا می کند و توابع عملیاتی برنامه با فراخوانی این تابع به نام فایل های صوتی مختلف موجود در کارت حافظه دسترسی پیدا می کنند.

```
/*
 *      Pause the playing file & play the paused file function
 */
void Pause_Op(void)
{
    switch(Pause)
    {
        case 0: Pause=1; break;
        case 1: Pause=0; break;
    }
    delay(500);
    lcd_gotoxy(1,1);
    lcd_putsf("Pause ");
    while(Pause==1)
    {
        if((LPC_GPIO0->FIOPIN &0x10000)==0)
        {
            Pause=0;
            lcd_gotoxy(1,1);
            lcd_putsf("Play ");
            delay(500);
        }
        if((LPC_GPIO0->FIOPIN&0x80000)==0)
        {
            delay(500);
            Pause=0;
            S=1;
            lcd_gotoxy(1,1);
            lcd_putsf("Stop ");
            goto end;
        }
        if((LPC_GPIO0->FIOPIN & 0x20000)==0) {delay(200); F=1; goto end;}
        if((LPC_GPIO0->FIOPIN & 0x40000)==0) {delay(200); B=1; goto end;}
        if((LPC_GPIO0->FIOPIN&0x80000)==0) {delay(200); P=1; goto end;}
    }
    end:
}
```

قسمت فوق از برنامه مربوط به تابع عملیات `Pause` برنامه است که توسط تابع `play` فراخوانی می شود. چون برنامه به صورت `polling` نوشته شده است به همین دلیل در این تابع وضعیت سایر کلید ها نیز بررسی می شود.

```
/*
 *      play audio file function
 */
static void play (char *name)
{
    FILE *f;
    VS1003B_SoftReset();
```

```

VS1003B_Init();
f = fopen (name,"r");           // open the file for reading
VS1003B_XDCS_L();

while ((CH = fgetc (f)) != EOF) // read the characters from the file
{
    BITWAIT_DREQ_HIGH();
    VS1003B_WRITE_DATA(CH,8);

    if((LPC_GPIO0->FIOPIN &0x10000)==0) Pause_Op();
    if((LPC_GPIO0->FIOPIN & 0x20000)==0) {delay(200); F=1; goto end;}
    if((LPC_GPIO0->FIOPIN & 0x40000)==0) {delay(200); B=1; goto end;}
    if((LPC_GPIO0->FIOPIN&0x80000)==0)
    {
        delay(100);
        lcd_gotoxy(1,1);
        lcd_putsf("Stop ");
        goto end;
    }
    if(S==1) goto end;
    if(F==1 || B==1 || P==1) goto end;
}
F=1;
end:
VS1003B_XDCS_H();
fclose (f);                  // close the input file when done
S=0;
}

```

این تابع عملیات پخش فایل های صوتی را برعهده دارد. بدین صورت که این تابع نام فایل را به عنوان آرگومان ورودی دریافت کرده و عملیات باز کردن فایل، خواندن بایت به بایت فایل، ارسال بایت ها به مازول VS1003B برای دیکد شدن و اجرا و بستن فایل بعد از بایت انتها بی فایل را انجام می دهد. همچنین اگر هر یک از کلیدهای عملیاتی فشار داده شود عملیات خواندن و پخش فایل متوقف شده و برنامه از این تابع خارج می شود. این تابع برای راه اندازی اولیه حافظه

```

/*
 *          Initialize a Flash Memory Card
 */
static void init_card (void)
{
U32 retv;
while ((retv = finit ()) != 0) /* Wait until the Card is ready*/
{
    if (retv == 1)
    {
        lcd_gotoxy(1,1);
        lcd_putsf("Audio Player ");
        lcd_gotoxy(2,1);
        lcd_putsf("insert Memory");
        delay(100);
    }
}
lcd_gotoxy(2,1);
if (File_Num != 0) lcd_putsf("      ");
}

```

پروژه پخش فایل های صوتی

MMC می باشد و همچنین تشخیص قرار گرفتن کارت حافظه در داخل سوکت توسط این تابع انجام می پذیرد.

```
/*
 *      display the file number in directory and file name
 */
void display_Op(void)
{
    lcd_gotoxy(2,1);
    lcd_putsf("      ");
    lcd_gotoxy(2,1);
    lcd_putsf(NAME);
    lcd_gotoxy(1,1);
    lcd_putsf("      ");
    lcd_gotoxy(1,13);
    lcd_puts(File_Num);
    lcd_gotoxy(1,1);
    lcd_putsf("Play");
}
```

نمایش عملیات play و نام فایل در حال پخش توسط این قسمت از برنامه انجام می شود.

```
/*
 *      goto play the Forward file function
 */
void Forward_Op(void)
{
    File_Num++;
    if(File_Num>files) File_Num=1;
    directory(File_Num);
    delay(200);
    display_Op();
    F=0;
    play(NAME);
}
```

عملیات Forward (یرش به فایل بعدی) توسط این تابع انجام می شود.

```
/*
 *      goto play the Back file function
 */
void Back_Op(void)
{
    File_Num--;
    if(File_Num<1) File_Num=files;
    directory(File_Num);
    delay(200);
    display_Op();
    B=0;
    play(NAME);
}
```

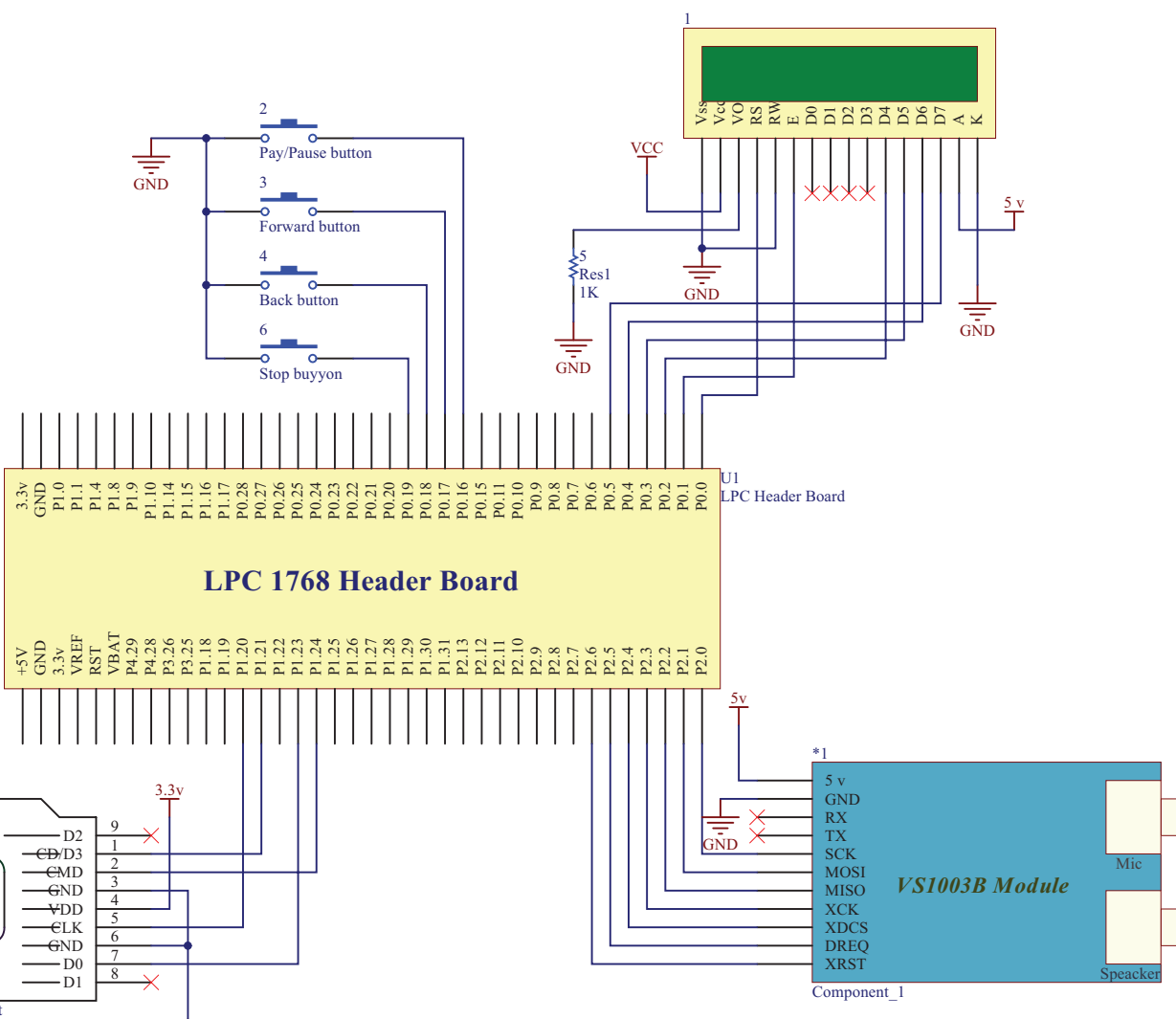
عملیات Back (پرش به فایل قبلی) توسط این تابع انجام می شود.

```
/*
 *      start to play function
 */
void Play_Op(void)
{
    if (File_Num==0) File_Num=1;
    directory(File_Num);
    delay(200);
    display_Op();
    P=0;
    play(NAME);
}
```

این تابع از برنامه برای شروع پخش فایل های صوتی می باشد.

```
/*
 *      Main function
 */
int main (void)
{
    char buf[10];
    SystemInit();
    lcd_init();
    delay_init();
    VS1003B_SoftReset();
    VS1003B_Init();
    lcd_clear();
    lcd_gotoxy(1,1);
    lcd_putsf("Audio Player");
    init_card ();
    directory(1);
    lcd_gotoxy(2,1);
    sprintf(buf,"%d Audio file",files);
    lcd_putsf(buf);
    while(1)
    {
        init_card ();
        if((LPC_GPIO0->FIOPIN&0x20000)==0 || F==1) Forward_Op();
        if((LPC_GPIO0->FIOPIN&0x40000)==0 || B==1) Back_Op();
        if((LPC_GPIO0->FIOPIN&0x10000)==0 || P==1) Play_Op();
    }
}
```

در این قسمت از برنامه تابع اصلی برنامه آورده شده است. در این تابع تنظیمات اولیه مربوط به میکروکنترلر، مازول و LCD اجسام می گیرد و همچنین این تابع توسط حلقه بینهایت وضعیت کلیدهای فشاری را بررسی می کند و توابع متناظر با هر کدام را برای اجرا فراخوانی می کند.



شماتیک مدار

LabVIEW 2012 Professional Full AddOns



نرم افزار Lab View که مخفف عبارت Instrument Engineering Workbench زبان برنامه نویسی گرافیکی می باشد که به صورت گستردگی برای کاربردهای مختلفی در صنایع، تحصیلات، آموزش و تحقیقات آزمایشگاهی به عنوان یک مدل استاندارد برای جمع آوری و پردازش داده ها و همچنین وسیله ای جهت کنترل و شبیه سازی ابزارهای مجازی درآمده است. این برنامه یک نرم افزار قدرتمند و قابل انعطاف جهت تجزیه و تحلیل سیستم های اندازه گیری است. در این مجموعه می توانید مجموعه کاملی از Add-Ons و Toolkits و Modules های موجود برای این نرم افزار را دریافت و استفاده کنید.

این محصول در قالب ده عدد DVD با لایسنس معتبر و بسته بندی شکل ارائه گشته است

توضیحات تکمیلی :

<http://eshop.eca.ir/link/labview.php>

برد Mini2440 + 3.5"LCD



این برد بر اساس توانایی ها و قابلیت های میکروروسور S3C2440 طراحی شده است. این برد در اصل Embedded MotherBoard می باشد، از این رو که با فرکانس کاری ۵۳۳ مگاهرتز و داشتن پورت های همچون سریال، USB، صدا، شبکه، حافظه VGA، SD/MMC و ... توانایی های یک مادر برد را دارد.

همچنین امکان نصب سیستم عامل های Windows CE.NET و Linux بر روی مادر برد به راحتی امکان پذیر می باشد. داشتن نمایشگر LCD ۳.۵" با دقت ۲۴۰*۳۲۰ پیکسل به همراه صفحه حسگر لمسی و امکان اتصال برد مبدل VGA برای نمایشگرهای LCD و CRT معمولی از دیگر قابلیت های جذاب این برد می باشد.

ابعاد این برد ۱۰*۱۰ سانتی متر می باشد. ابعاد بسیار کوچک این برد جهت کاربردهای جیبی (Porotabl) و

فضاهایی که نیاز به یک مادر برد با سایز بسیار کوچک است، بسیار مناسب می باشد. این برد نیاز به یک تغذیه ۵ ولت تک داشته و با توجه به عدم تلفات حرارتی فاقد هرگونه فن و سیستم خنک کننده می باشد.

پورت ها و خروجی ها :

:: یک عدد پورت شبکه (RJ45) با سرعت 10/5 Mbps :: سه عدد پورت سریال

:: یک عدد پورت USB HOST

:: یک عدد پورت USB DEVICE

:: یک عدد سوکت کارت های حافظه SD/MMC

:: یک عدد خروجی استریو صوت

:: یک عدد میکروفون

:: یک عدد کانکتور ۱۰ پین JTAG

:: چهار نمایشگر LED

:: شش عدد کلید فشاری همه منظوره

:: یک عدد بازر روی خروجی PWM

:: یک عدد پتانسیومتر روی ورودی A/D

:: یک عدد کانکتور ۲۰ پین به منظور اتصال دوربین

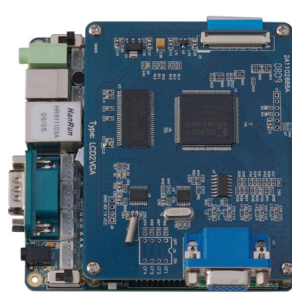
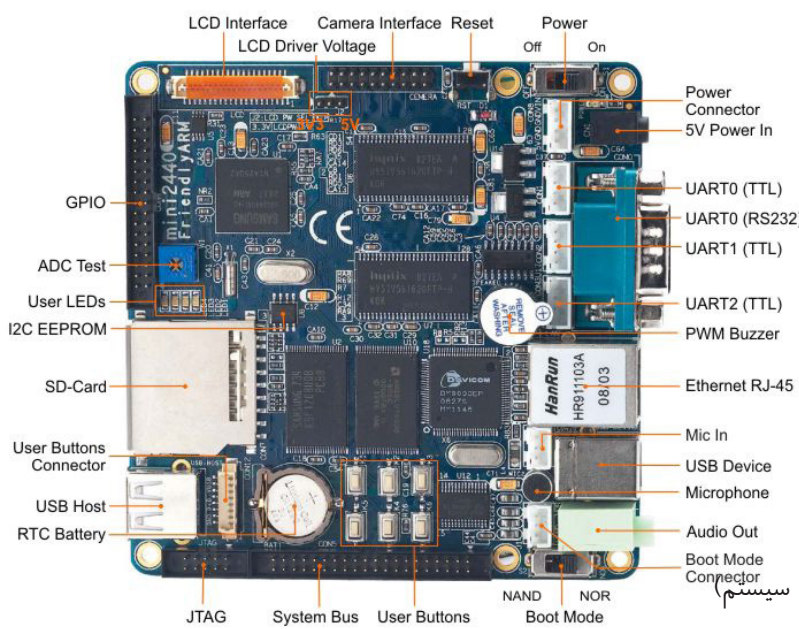
:: یک عدد باتری پشتیبانی حافظه RTC روی برد

:: تغذیه ورودی ۵ ولت به همراه کلید و نمایشگر تغذیه

:: یک عدد کانکتور ۴۰ پین به منظور اتصال LCD

:: دو عدد کانکتور توسعه (I/O) ۳۴ پایه گذرگاه سیستم

:: یک عدد کلید ریست میکرو پروسسور



توضیحات تکمیلی : <http://eshop.eea.ir/link/851.php>

معرفی کتاب

بر اساس آخرین استاندارد
وزارت کار و امور اجتماعی
سازمان آموزش فنی و حرفه‌ای
کد استاندارد ۰-۲۳/۹۳/۱/۱

مرجع جامع میکروکنترلر AVR



به همراه CD

رضا سپاسی‌یار
یدالله مهریزی



مجموعه پروژه‌های پیشرفته اتوماسیون

Collection of Advanced Automation Projects

SIEMENS

- تالیف: مهندس مبین محسن زاده
- (به اهتمام شرکت صنعتی میوهن ماهظیر)



- بروزه‌های کاربردی با نرم افزارهای مانیتورینگ
- بروزه‌های تدبیکی از سیستم‌های PLC
- به کارگیری مبنی فایری در PLC به کمک نرم افزار Fuzzycontrol++
- بروزه‌های کاربردی استفاده از شکه‌های صنعتی Ethernet و MPI
- بروزه‌های کاربردی به کمک نرم افزار FMS
- بروزه‌های کاربردی به کمک نرم افزار جامع PCSC7.1
- بروزه‌ای جامع از ارتباط بین PLC و Inverter-Micro Master
- بروزه‌ای از ارتباط Remote I/O با بلبیت مانیتورینگ روی PLC
- بروزه‌ای کاربردی از ارتباط ET200M با
- بررسی کاربردی تجهیزات هیدرولیک و ...

متوفیات DVD شامل:

قابل اسکن لایک بروزه‌های کتاب به همراه راه حل آن به صورت (zip) Archive

SIEMENS Manual Collections

نرم افزار قدرتمند سیستم بررسی‌های منطقی

نرم افزارهای کاربردی و مطالعات تخصصی و کاربردی اتوماسیون صنعتی

CD

BIG BANG
Scientific Series

ویرایش دوم

مرجع کامل اینورترهای سیستم کنترل موتور



LS Industrial Systems



تالیف:
مهندس مبین محسن زاده
مهندس این محسن زاده
به اهتمام:
شرکت مهندسی اینم تایبلو

DVD

پروژه‌های عملی با میکروکنترلرهای AVR

مهندس علیرضا ملکی

دور سنج

LCD و تکنیکی

RFM12

WAV REC & PLAYER

فلسله سنگ آنتراسوئنیک

اخلاق فارسی

مودری کارت

تالیل روان

GPS

قطب شناسی دیجیتالی

ارسال و دریافت صدا با RFS12bp

دفتر نشانی دیجیتالی

کتابخانه فونت فارسی

تاكسي متر

دور سنج

و دهها پروژه دیگر

DVD

آموزش کار کردن با پورت های

Xmega



نویسنده: فرامرزی

پورت های I/O (درگاه های ورودی - خروجی) برای تبادل دیتا بین میکروکنترلر و devic های خارجی که از خارج به میکرو متصل می شوند (اجزای جانبی) مورد استفاده قرار می گیرند. در این قسمت به بررسی پورت های میکروکنترلر Xmega (سری جدید میکروکنترلرهای Atmel) خواهیم پرداخت. قبل از بررسی پورت های این خانواده از میکروکنترلرهای AVR، ویژگی ها و امکانات قدرتمند و منحصر به فردی که پورت های این میکروها دارند آورده شده و سپس به بررسی هر قسمت می پردازیم و در نهایت بخش اول را با انجام دو پروژه جامع در محیط AVR Studio به اتمام می رسانیم.

پورت های Xmega

خانواده Xmega از سری جدید میکروکنترلرهای AVR دارای پورت های انعطاف پذیر و قدرتمندی بوده که هر پورت آن دارای ۸ پین می باشد. لازم به ذکر است که تک تک پایه های هر پورت به صورت بیتی قابل دسترسی می باشد یعنی می توان یک پین از پورت را به صورت مستقل از پایه های دیگر ورود و یا خروجی تعریف کرد. از دیگر ویژگی های پورت های Xmega می توان به وقfe ها، حسگرهای ورودی سنکرون و آسنکرون اشاره کرد. همچنین هر پایه ای از پورت را می توان به صورت Wired-Or، Wired-And، Bus-keeper، Totem-pole، invertedio تنظیم گردد. همچنین هر پایه به صورت مجزا از پایه های دیگر دارای مقاومت Pull-Up و Pull-Down داخلی می باشد.

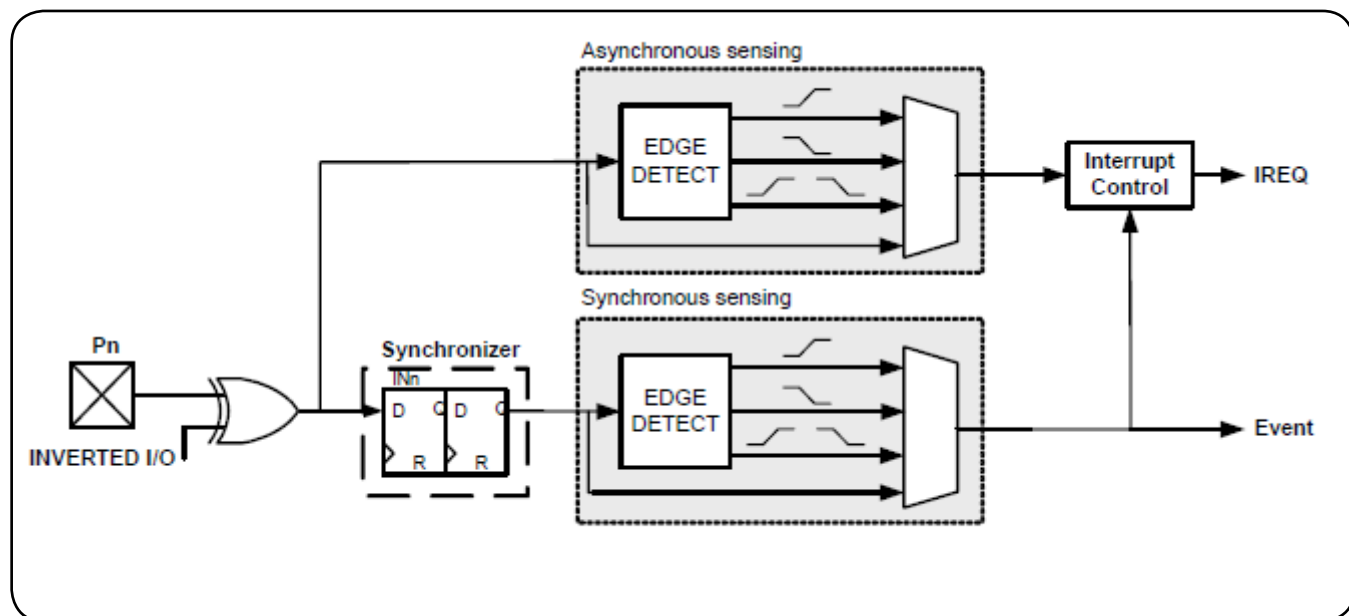
پورت های مجازی

با توجه به محل قرار گیری پورت های مجازی در حافظه **DATA MEMORY** میکروکنترلرهای XMEGA، سرعت دسترسی CPU به این رجیسترها از رجیسترها پورت های معمولی بیشتر است. بنابراین یکی از تفاوت های پورت های معمولی با پورت های مجازی در سرعت دسترسی CPU به آن ها می باشد. چهار عدد پورت مجازی در میکرو های XMEGA وجود دارد. لازم به ذکر است که پورت های مجازی باید به یکی از پورت های واقعی map شود(متصل گردد) در این صورت نوشتن در رجیستر پورت های مجازی همانند نوشتن در رجیستر پورت های معمولی می باشد.

حسگرهای ورودی

حسگرهای ورودی برای تشخیص لبه و سطح بالس روی پایه ای مورد نظر قرار می گیرند. حسگرهای ورودی می توانند لبه ای بالا رونده، لبه ای پایین رونده و یا هر دو لبه و یا سطح پایین بالس را تشخیص دهند. بنابراین پایه ای که به عنوان حسگر ورودی مورد استفاده قرار می گیرد، باید حساس به یکی از حالت های قبل پیکربندی شود. لازم به ذکر است که سطح بالای پالس (high level) توسط حسگرهای ورودی تشخیص داده نمی شود بنابراین برای تشخیص سطح بالای پالس باید پایه ای ورودی را حساس به سطح پایین پالس قرار دهیم و سپس معکوسگر پایه ای مورد نظر را فعال کنیم، در این صورت سطح بالای پالس نیز قابل تشخیص خواهد بود.

تمام پایه های I/O دو نوع حسگر ورودی سنکرون و آسنکرون را پشتیبانی می کنند. که حسگرهای ورودی سنکرون برای عمل آشکارسازی نیازمند حضور کلک (peripheral clock) می باشد در حالی که حسگرهای آسنکرون نیازمند به حضور



شکل شماره ۱

وقفه ی پورت ها

یکی دیگر از قابلیت های پورت های XMEGA نسبت به AVR های معمولی (خانواده MEGA) این است که تمام پایه های I/O میکرو های XMEGA قادر به تولید وقفه می باشند. هر یک از تنظیمات حسگرهای ورودی می تواند برای تولید وقفه مورد استفاده قرار گیرد. استفاده از وقفه بستگی به این دارد که کدام نوع حسگر مورد استفاده قرار می گیرد (حسگر سنکرون یا حسگر آسنکرون) لازم به توضیح است که حسگرهای سنکرون قادر به ایجاد وقفه در تمام تنظیمات حسگرهای ورودی می باشند در حالی که در حسگرهای آسنکرون فقط پایه ۱ ۲ هر پورت تمام تنظیمات را پشتیبانی می کند. در جداول شماره ۱ و ۲ حالت هایی که حسگرهای سنکرون و آسنکرون پشتیبانی می کنند آورده شده است.

Sense Settings	Supported	Interrupt Description
Rising edge	Yes	Always triggered
Falling edge	Yes	Always triggered
Both edges	Yes	Always triggered
Low level	Yes	Pin level must be kept unchanged during wake up

جدول شماره ۱

Sense Settings	Supported	Interrupt Description
Rising edge	No	-
Falling edge	No	-
Both edges	Yes	Pin value must be kept unchanged during wake up
Low level	Yes	Pin level must be kept unchanged during wake up

جدول شماره ۲

معرفی رجیسترها
(Data Direction Register) . DIR

Bit	7	6	5	4	3	2	1	0	DIR
+0x00	DIR[7:0]								
Read/Write	R/W	R/W	R/W	R/W	R/W	R/W	R/W	R/W	
Initial Value	0	0	0	0	0	0	0	0	

این رجیستر مانند رجیستر DDR در سری AVR Mega از خانواده AVR عمل می کند. با نوشتن یک منطقی در این رجیستر پیش نظر به صورت خروجی و با نوشتن صفر منطقی پین مورد نظر به صورت ورودی پیکر بندی می شود و نحوه مقدار دهی به این رجیستر در AVR Studio به صورت زیر می باشد.

`PORTEX_DIR = value; PORTA_DIR = 0xFF;`

که X نام پورت می باشد. به عنوان مثال تمام پایه های پورت A در مثال بالا به صورت خروجی تعریف شده است.

رجیستر های DIRTGL، DIRSET، DIRCLR

Bit	7	6	5	4	3	2	1	0	
+0x01	DIRSET[7:0]								DIRSET
ReadWrite	R/W	R/W	R/W	R/W	R/W	R/W	R/W	R/W	
Initial Value	0	0	0	0	0	0	0	0	
Bit	7	6	5	4	3	2	1	0	
+0x02	DIRCLR[7:0]								DIRCLR
ReadWrite	R/W	R/W	R/W	R/W	R/W	R/W	R/W	R/W	
Initial Value	0	0	0	0	0	0	0	0	
Bit	7	6	5	4	3	2	1	0	
+0x03	DIRTGL[7:0]								DIRTGL
ReadWrite	R/W	R/W	R/W	R/W	R/W	R/W	R/W	R/W	
Initial Value	0	0	0	0	0	0	0	0	

با نوشتن یک منطقی در رجیستر DIRSET بیت متناظر با آن پین در رجیستر DIR یک می شود. با نوشتن یک منطقی در رجیستر DIRCLR بیت متناظر با آن پین در رجیستر DIR صفر می شود. و با نوشتن یک منطقی در رجیستر DIRTGL بیت متناظر با آن پین در رجیستر DIR، Toggle (بر عکس NOT) می شود.
مثال :

`PORTA_DIR = 0XF0;`

`PORTA_DIRSET = 0XF0;`

در AVR های سری Mega برای تغییر وضعیت چند پین از یک پورت ابتدا باید مقدار رجیستر مورد نظر را بخوانیم سپس تغییرات مورد نظر را روی مقدار خوانده شده اعمال کنیم و دوباره باید مقدار جدید (تغییر داده شده) را در رجیستر مورد نظر بنویسیم. همانطور که می بینیم این کار زمان بر است ولی در خانواده Xmega این مشکل نیز رفع شده. به عنوان مثال در نمونه بالا پایه های ۰ تا ۳ پورت A خروجی تعریف شده اند. حال اگر در یک جایی از برنامه نیاز باشد که چهار پایه ی دیگر پورت A را نیز خروجی قرار دهیم فقط کافی است مانند مثال بالا بیت های آن پورت را در رجیستر DIRSET یک کنیم با این کار بدون نیاز به خواندن مقدار رجیستر DIR و سپس تغییر آن، می توانیم به صورت مستقیم وضعیت این رجیستر را تغییر دهیم. پس در واقع این سه رجیستر برای تغییر وضعیت رجیستر DIR مورد استفاده قرار می گیرند که این کار باعث بالا رفتن سرعت پورت ها در خانواده Xmega می شود.

رجیستر OUT :

Bit	7	6	5	4	3	2	1	0	
+0x04	OUT[7:0]								OUT
ReadWrite	R/W	R/W	R/W	R/W	R/W	R/W	R/W	R/W	
Initial Value	0	0	0	0	0	0	0	0	

این رجیستر مانند رجیستر PORT در سری mega می باشد. یعنی این رجیستر وضعیت خروجی پایه را تعیین می کند. با نوشتن یک منطقی در این رجیستر پایه ی مورد نظر به سطح منطقی High می رود و با نوشتن صفر منطقی در این رجیستر پایه ی مورد نظر به سطح منطقی Low می رود.

`PORTEX_OUT= value >> PORTK_OUT = 0XAA;`

آموزش کارگردان با پورت های XMEGA

که X نام پورت مورد نظر می باشد.

رجیسترها OUTSET, OUTCLR, OUTTGL

Bit	7	6	5	4	3	2	1	0	
+0x05	OUTSET[7:0]								OUTSET
Read/Write	R/W	R/W	R/W	R/W	R/W	R/W	R/W	R/W	
Initial Value	0	0	0	0	0	0	0	0	
Bit	7	6	5	4	3	2	1	0	
+0x06	OUTCLR[7:0]								OUTCLR
Read/Write	R/W	R/W	R/W	R/W	R/W	R/W	R/W	R/W	
Initial Value	0	0	0	0	0	0	0	0	
Bit	7	6	5	4	3	2	1	0	
+0x07	OUTTGL[7:0]								OUTTGL
Read/Write	R/W	R/W	R/W	R/W	R/W	R/W	R/W	R/W	
Initial Value	0	0	0	0	0	0	0	0	

با نوشتن یک منطقی در رجیستر OUTSET بیت پایه‌ی مورد نظر در رجیستر OUT یک می‌شود و پایه به سطح High می‌رود. با نوشتن یک منطقی در رجیستر OUTCLR بیت متناظر با آن پین در رجیستر OUT صفر می‌شود و با نوشتن یک منطقی در رجیستر OUTTGL بیت متناظر با آن پین در رجیستر OUT، Not (برعکس) می‌شود. کاربرد این رجیسترهای همانطور که در توضیح رجیسترهای DIR بیان شد برای بالا بردن سرعت پورت‌های Xmega در هنگام تغییر وضعیت رجیسترهای می‌باشد.

IN رجیستر

Bit	7	6	5	4	3	2	1	0	
+0x08	IN[7:0]								IN
Read/Write	R/W	R/W	R/W	R/W	R/W	R/W	R/W	R/W	
Initial Value	0	0	0	0	0	0	0	0	

این رجیستر برای خواندن وضعیت پورت‌ها مورد استفاده قرار می‌گیرد.
(مثال)

a=PORTB_IN;

در مثال بالا وضعیت پورت B خوانده شده و در متغیر a ریخته می‌شود.

رجیستر INTCTRL

Bit	7	6	5	4	3	2	1	0	
+0x09	-	-	-	-	INT1LVL[1:0]		INT0LVL[1:0]		INTCTRL
Read/Write	R	R	R	R	R/W	R/W	R/W	R/W	
Initial Value	0	0	0	0	0	0	0	0	

با مقدار دهی به این رجیستر می‌توان وقفه‌های موجود در پورت را فعال، وسطح اولویت وقفه‌ها را تعیین کرد.
بیت‌های [0:1] INT0LVL: مقدار این بیت‌ها طبق جدول شماره ۴ وظیفه‌ی فعال سازی و تعیین اولویت وقفه صفر پورت را بر عهده دارند.
بیت‌های [0:1] INT1LVL: مقدار این بیت‌ها طبق جدول شماره ۴ وظیفه‌ی فعال سازی و تعیین اولویت وقفه یک پورت

را بر عهده دارند.

Interrupt Level Configuration	Group Configuration	Description
00	OFF	Interrupt disabled.
01	LO	Low-level interrupt
10	MED	Medium-level interrupt
11	HI	High-level interrupt

جدول شماره ۴

اولویت وقفه ها در بخش وقفه ها به صورت کامل مورد بحث قرار خواهد گرفت.

:INT0MASK رجیستر

Bit	7	6	5	4	3	2	1	0
+0x0A	INT0MASK[7:0]							
Read/Write	R/W	R/W	R/W	R/W	R/W	R/W	R/W	R/W
Initial Value	0	0	0	0	0	0	0	0

با نوشتن یک منطقی در این رجیستر پایه های متناظر با آن بیت ها به عنوان ورودی وقفه صفر پورت انتخاب می شود.

:INT1MASK رجیستر

Bit	7	6	5	4	3	2	1	0
+0x0B	INT1MASK[7:0]							
Read/Write	R/W	R/W	R/W	R/W	R/W	R/W	R/W	R/W
Initial Value	0	0	0	0	0	0	0	0

با نوشتن یک منطقی در این رجیستر پایه های متناظر با آن بیت ها به عنوان ورودی وقفه یک پورت انتخاب می شود.

:INTFLAGS رجیستر

Bit	7	6	5	4	3	2	1	0
+0x0C	-	-	-	-	-	-	INT1IF	INT0IF
Read/Write	R	R	R	R	R	R	R/W	R/W
Initial Value	0	0	0	0	0	0	0	0

بیت پرچم ورودی های وقفه صفر (INT0IF) : این بیت در صورتی یک می شود که یک تغییر در روی ورودی های وقفه صفر پورت با توجه به تنظیمات حسگر ها اتفاق می افتد.

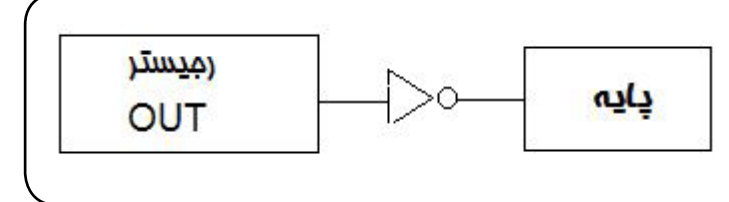
بیت پرچم ورودی های وقفه صفر (INT1IF) : این بیت در صورتی یک می شود که یک تغییر در روی ورودی های وقفه یک پورت با توجه به تنظیمات حسگر ها اتفاق می افتد.

:PINnCTRL رجیستر

Bit	7	6	5	4	3	2	1	0
	SRLEN	INVEN	OPC[2:0]			ISC[2:0]		
Read/Write	R/W	R/W	R/W	R/W	R/W	R/W	R/W	R/W
Initial Value	0	0	0	0	0	0	0	0

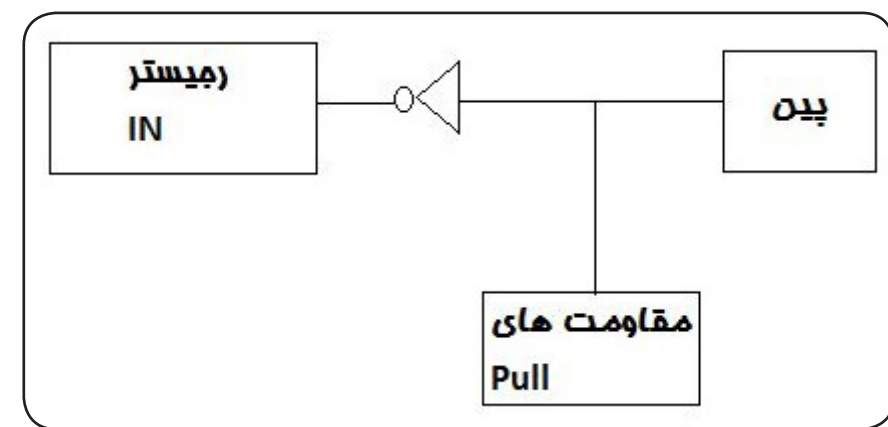
این رجیستر برخی تنظیمات ویژه را برای پایه مورد نظر انجام می دهد. این رجیستر به صورت جداگانه برای هر پین از پورت ها وجود دارد.

SRLEN: با یک شدن این بیت کنترل Slew Rate فعال می شود. با فعال شدن این ویژگی، (زمان صعود Falling Time) (زمان نزول) ولتاژ خروجی (پالس) افزایش یافته و از تغییرات سریع ولتاژ جلوگیری می کند. که مقدار این افزایش بین 50% تا 150% بوده و به ولتاژ، دما و جریان بار بستگی دارد.



شکل شماره ۲

INVEN: با فعال شدن این بیت (نوشتن یک منطقی در این بیت) اگر پایه به عنوان خروجی تعریف شده باشد. وضعیت خروجی پایه بر عکس (Not) می شود. یعنی اگر مقدار رجیستر Out برای پایه مورد نظر یک باشد خروجی در سطح پایین (Low) و اگر رجیستر Out برای پایه صفر باشد وضعیت خروجی پایه یک (High) می شود. در واقع در حالت خروجی این ویژگی را می توان به صورت شکل شماره ۲ مدل کرد.



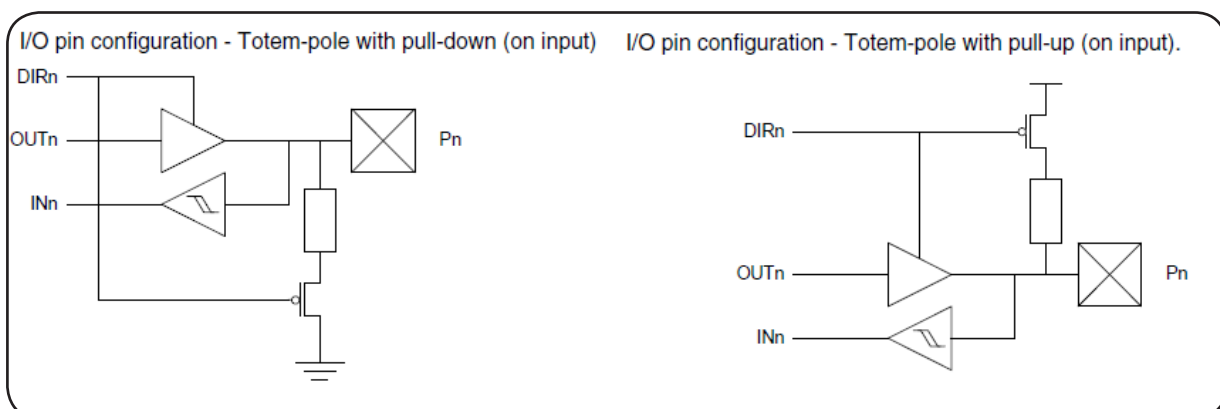
شکل شماره ۳

ولی اگر پایه به صورت ورودی پیکر بندی شده باشد. وضعیت پایه پس از تائیر گذاری مقاومت های بالاکش و پایین کش NOT شده و در رجیستر IN قرار می گیرد. بیت های [2:0]: با توجه به مقدار این بیت ها می توان یکی از قابلیت های جدول شماره ۵ را برای پایه مورد نظر تعریف کرد.

OPC[2:0]	Group Configuration	Description	
		Output Configuration	Pull Configuration
000	TOTEM	Totem-pole	(N/A)
001	BUSKEEPER	Totem-pole	Bus-keeper
010	PULLDOWN	Totem-pole	Pull-down (on input)
011	PULLUP	Totem-pole	Pull-up (on input)
100	WIREDOR	Wired-OR	(N/A)
101	WIREDAND	Wired-AND	(N/A)
110	WIREDORPULL	Wired-OR	Pull-down
111	WIREDANDPULL	Wired-AND	Pull-up

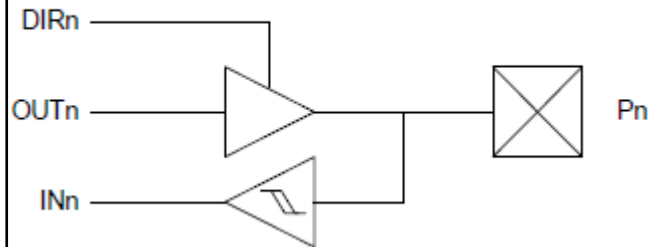
جدول شماره ۵

TOTEM: این ویژگی مانند پورت های سری AVR از خانواده Mega می باشد. یعنی با فعال شدن این ویژگی جریان



شکل شماره ۵

I/O pin configuration - Totem-pole (push-pull)

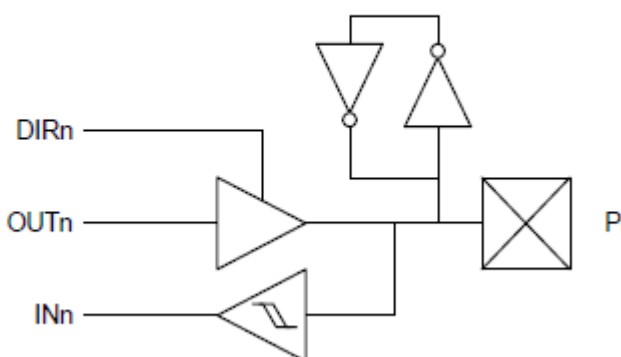


شکل شماره ۴

خروجی پایه از یک درایور (تقویت کننده جریان) تامین می شود (اگر پایه خروجی تعريف شود).

Buskeeper: با فعال شدن این ویژگی برای پایه مورد نظر، اگر پایه به صورت خروجی بیکر بنده شده باشد. با تغییر وضعیت از حالت خروجی به ورودی آخرین وضعیت پایه نگهداری می شود. به عنوان مثال اگر وضعیت پایه در حالت خروجی High باشد و وضعیت پایه از حالت خروجی به ورودی تغییر کند مقاومت Pull Up داخلی فعال شده و سطح پایه را در حالت ورودی همچنان در یک منطقی (High) نگه می دارد.

I/O pin configuration - Totem-pole with bus-keeper



شکل شماره ۶

Pull Down: مقاومت پایین کش داخلی را فعال می کند.

Pull Up: مقاومت بالاکش داخلی را فعال می کند.

WIREDOR: اگر چندین پایه با فعال بودن این ویژگی به هم وصل شوند (این ویژگی این امکان را می دهد که چندین پایه می توانند در حالت خروجی به هم متصل شوند). وضعیت این پایه ها با هم OR می شوند. یعنی اگر وضعیت یکی از پایه ها یک باشد خروجی کل یک می شود. و اگر وضعیت همه پایه ها صفر باشد در صورت نبود مقاومت پایین کش خارجی وضعیت کل به حالت tri-state می رود. و اگر مقاومت پایین کش خارجی وصل شود وضعیت کل صفر می شود.

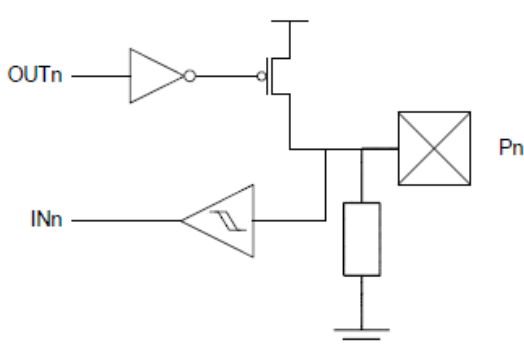
WIREDAND: این ویژگی همانند ویژگی WIREDOR می باشد فقط با این تفاوت که وضعیت خروجی پایه ها در این حالت AND منطقی می شوند و خروجی کل در صورتی یک است که وضعیت همه پایه های متصل شده به هم یک باشد.

WIREDORPULL: این ویژگی همانند ویژگی WIREDOR بوده فقط با این تفاوت که یک مقاومت پایین کش داخلی هم در این حالت فعال می شود. یعنی اگر وضعیت همه پایه های متصل شده به هم صفر باشد وضعیت کل صفر می شود. (tri-state نمی شود).

WIREDAND PULL: این ویژگی همانند ویژگی WIREDAND بوده فقط با این تفاوت که یک مقاومت بالاکش داخلی هم در این حالت فعال می شود.

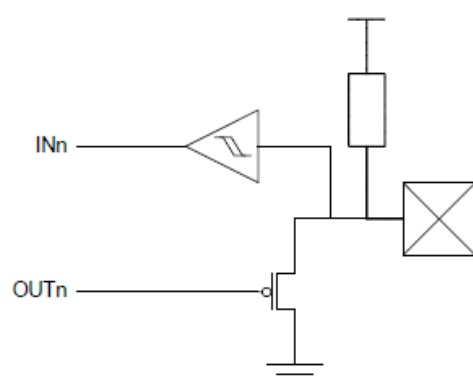
بیت های [0:2] ISC: مقدار این بیت ها طبق جدول شماره ۶ یکی از تنظیمات حسگرها را برای پایه مورد نظر انتخاب می کند.

Output configuration - Wired-OR with optional pull-down.



شکل شماره ۷

Output configuration - Wired-AND with optional pull-up.



شکل شماره ۸

ISC[2:0]	Group Configuration	Description
000	BOTHEDGES	Sense both edges
001	RISING	Sense rising edge
010	FALLING	Sense falling edge
011	LEVEL	Sense low level ⁽¹⁾
100		Reserved
101		Reserved
110		Reserved
111	INTPUT_DISABLE	Digital input buffer disabled ⁽²⁾

جدول شماره ۶

به عنوان مثال می خواهیم ویژگی INVERT (معکوس گر) و Buskeeper را برای پین صفر پورت A فعال کنیم. برای این منظور در محیط AVR – Studio این گونه عمل کنیم.
 کدها >> OX48 >> PORTA_PIN0CTRL = 0X48;
 INVERT Buskeeper

رجیستر MPCMASK (Multi_pin configuration mask register)

Bit	7	6	5	4	3	2	1	0
+0x00	MPCMASK[7:0]							
Read/Write	R/W	R/W	R/W	R/W	R/W	R/W	R/W	R/W
Initial Value	0	0	0	0	0	0	0	0

با مقدار دهی به این رجیستر تنظیمات مشترک چندین پایه‌ی یک پورت در یک زمان صورت می‌گیرد. عملکرد این رجیستر را با یک مثال توضیح می‌دهیم.
 فرض کنید می خواهیم مقاومت بالاکش تمام پایه‌های پورت A را فعال کنیم. برای این کار با مقدار دهی به رجیستر PINnCTRL که برای هر پایه به صورت مجزا وجود دارد، این عمل را به صورت زیر انجام می‌دهیم.
 PORTA_PIN0CTRL=0X18;
 PORTA_PIN1CTRL=0X18;

تا
 PORTA_PIN7CTRL=0X18;
 که همانطور که دیده می شود برای این کار باید ۸ رجیستر را مقدار دهی کنیم که این کار زمان CPU را تلف می‌کند.
 حال این عمل را توسط رجیستر MPCMASK انجام می‌دهیم.
 برای این کار بیت‌های پایه‌هایی را که می خواهیم مقاومت بالاکش آن‌ها فعال شود در این رجیستر یک می‌کنیم و سپس در خط بعدی مقاومت بالاکش یکی از پایه‌های همان پورت را فعال می‌کنیم در نتیجه این تنظیمات به کل پایه‌هایی که در رجیستر MPCMASK یک شده اند اعمال می‌شود.

PORTCFG_MPCMASK=0xFF;
 PORTA_PIN0CTRL=0X18;

بنابراین این رجیستر تنظیمات رجیستر PINnCTRL خط پایین خودش را به تمام پایه‌هایی که بیت متناظر آن پایه‌ها در این رجیستر یک شده است، اعمال می‌کند.

VPCTRLA: رجیستر

Bit	7	6	5	4	3	2	1	0
+0x02	VP1MAP[3:0]				VP0MAP[3:0]			
Read/Write	R/W	R/W	R/W	R/W	R/W	R/W	R/W	R/W
Initial Value	0	0	0	0	0	0	0	0

بیت های [0:3] مقدار این بیت ها طبق جدول ۱۳-۶ یکی از پورت ها را به پورت مجازی یک map می کند (متصل می کند).

بیت های [0:3] مقدار این بیت ها طبق جدول ۱۳-۶ یکی از پورت ها را به پورت مجازی صفر map می کند (متصل می کند).

رجیستر :VPCTRLB

Bit	7	6	5	4	3	2	1	0	
+0x03	VP3MAP[3:0]				VP2MAP[3:0]				VPCTRLB
Read/Write	R/W	R/W	R/W	R/W	R/W	R/W	R/W	R/W	
Initial Value	0	0	0	0	0	0	0	0	

بیت های [0:3] مقدار این بیت ها طبق جدول ۱۳-۶ یکی از پورت ها را به پورت مجازی سه map می کند (متصل می کند)

بیت های [0:3] مقدار این بیت ها طبق جدول ۱۳-۶ یکی از پورت ها را به پورت مجازی دو map می کند (متصل می کند).

Table 13-6. Virtual Port mapping.

VPnMAP[3:0]	Group Configuration	Description
0000	PORATA	PORATA mapped to virtual Port n
0001	PORTB	PORTB mapped to virtual Port n
0010	PORTC	PORTC mapped to virtual Port n
0011	PORTD	PORTD mapped to virtual Port n
0100	PORTE	PORTE mapped to virtual Port n
0101	PORTF	PORTF mapped to virtual Port n
0110	PORTG	PORTG mapped to virtual Port n
0111	PORTH	PORTH mapped to virtual Port n
1000	PORTJ	PORTJ mapped to virtual Port n
1001	PORTK	PORTK mapped to virtual Port n
1010	PORTL	PORTL mapped to virtual Port n
1011	PORTM	PORTM mapped to virtual Port n
1100	PORTN	PORTN mapped to virtual Port n

جدول شماره ۷

Table 13-6. Virtual Port mapping. (Continued)

VPnMAP[3:0]	Group Configuration	Description
1101	PORTP	PORTP mapped to virtual Port n
1110	PORTQ	PORTQ mapped to virtual Port n
1111	PORTR	PORTR mapped to virtual Port n

جدول شماره ۸

رجیستر :CLKEVOUT

این رجیستر کلاک CPU و خروجی کانال ۰ Event system را به پایه ی ۷ یکی از پورت ها طبق جدول زیر متصل می کند.

پیت های Clk Out [1:0]: این پیت ها طبق جدول زیر کلاک CPU را به پایه ی ۷ پکی از پورت ها متصل می کند.

Clock output configurations

CLKOUT[1:0]	Group Configuration	Description
00	OFF	Clock out disabled
01	PC7	Clock output on Port C pin 7
10	PD7	Clock output on Port D pin 7
11	PE7	Clock output on Port E pin 7

جدول شماره ۹

بیت های [0:1] EV Out با مقدار دهی به این بیت ها هم، خروجی کانال صفر Even system به پایه ۷ یکی از پورت ها طبق جدول زیر متصل می شود.

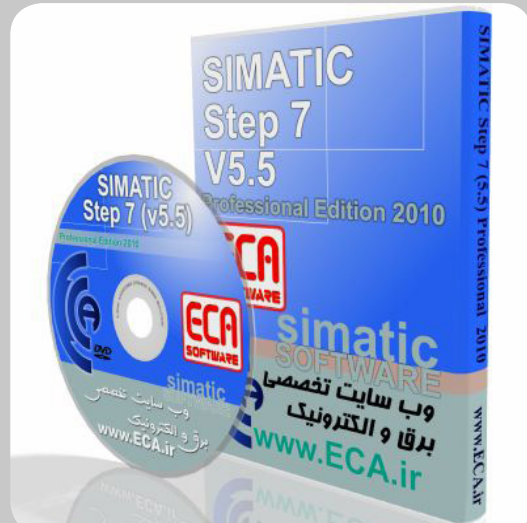
Event Channel 0 output configurations

EVOUT[1:0]	Group Configuration	Description
00	OFF	Event out disabled
01	PC7	Event Channel 0 output on Port C pin 7
10	PD7	Event Channel 0 output on Port D pin 7
11	PE7	Event Channel 0 output on Port E pin 7

حدول شماره ۱۰

به عنوان مثال می خواهیم کلک CPU را به پایه ی ۷ پورت C وصل کنیم. برای این کار در محیط AVR – studio گونه عمل می کنیم.

SIMATIC Step 7 (5.5) Pro Edition 2010



شرکت زیمنس برای سیستمهای اتوماسیون، سری PLC های S400-S300 (معروفترین و پر کاربردی ترین سری در ایران) را تولید کرده که برنامه ریزی و پیکربندی سخت افزاری این سری از PLC ها را میتوان با استفاده از نرم افزار SIMATIC MANAGER انجام داد. زبان برنامه نویسی مورد استفاده در این نرم افزار STEP 7 است که در حالت گرافیکی (استفاده از بلوکهای آماده موجود در برنامه) بسیار ساده نیز هست. بیش از 90% از نقشه های موجود در صنعت (برنامه نوشته شده در PLC) با دیگر امehا LADER است که همانند کنترلکها و رله ها در مدار های کنترل رسم میشوند. پس از برنامه نویسی در این نرم افزار با استفاده از قسمت SIMULATION نرم افزار میتوان برنامه نوشته شده را شبیه سازی کرده و در صورت وجود خطا آن را برطرف کرد.

توضیحات تکمیلی:

<http://eshop.eca.ir/link/simatic.php>

مدار چاپی

PCB

SOLDERING AND MANUFACTURING



www.karapcb.com

استفاده از برد های چند لایه به طور قابل ملاحظه ای در طول سال های گذشته افزایش یافته است. عمدت ترین مزیت برد های چند لایه، ایجاد ارتباطات داخلی در میان لایه ها و کاستن از حجم و وزن برد مدار چاپی است. در برد های چند لایه می توان ارتباطات داخلی را در لایه های درونی جای داده و لذا در لایه های بیرونی فضای کافی برای Heat Sink ایجاد نمود و نیز امکان ایجاد لایه هایی به عنوان سطوح جاذب نویز Power Shield و شاسی مثبت و منفی Ground وجود دارد.

فرآیند تولید برد های چند لایه اساسا توسعه همان فرآیندهایی است که در ساخت برد های دور و با سوراخ متالیزه مورد استفاده می باشند. مدارات چند لایه شامل تعدادی لایه های جداگانه با الگوی مداری مرتبط اما متفاوتند که بر روی یکدیگر صفحه بندی شده و تحت فشار و حرارت با استفاده پیوند دهنده ای که با نام Pre – Preg یا رزین B – Stage خوانده می شود به یکدیگر متصل می شوند. ورق های لایی Pre – Preg در عین حال نقش عایق (دی الکتریک) را به منظور جداسازی الکتریکی لایه ها از یکدیگر به عهده داشته و ارتباط الکتریکی میان لایه های مختلف در نقاط معین از طریق ایجاد سوراخ های متالیزه برقرار می گردد. این ورق ها شامل رزینی هستند که پلیمریزاسیون آن ها کامل نشده و در مرحله B – Stage نگه داشته شده اند. رزین در این مرحله هنوز قابلیت ذوب شدن دارد و لذا با افزایش درجه حرارت مجددا نرم شده و تحت فشار و حرارت پلیمریزاسیون آن تکمیل می گردد. از مشخصه هایی که در انتخاب Pre – preg مناسب در نظر گرفته می شود، علاوه بر ضخامت آن که در تعیین ضخامت نهایی برد چند لایه موثر است، زمان ژل شدگی، روان شدگی رزین و مقدار رزین نیز مهم می باشد.

در استانداردهای نظامی طول دوره مجاز نگه داری Pre – Preg در دمای پنج درجه سانی گراد را حداکثر شش ماه اعلام می دارند. در حالی که اگر دمای ابیار به 20°C افزایش یابد، طول این دوره تقریبا به سه ماه کاهش خواهد یافت. بدیهی

است که استفاده از Pre – Preg پس از طی دوره زمانی منوط به انجام آزمایش ها و بررسی مشخصه های آن نظیر زمان ژل شدگی، روان شدگی رزین، میزان رطوبت و... می باشد.

جهت تولید برد های چند لایه ابتدا باید این منظور ابتدا صفحه مدار چاپی اولیه به ضخامت مورد نظر را انتخاب کرده و پس از برش به ابعاد مورد نیاز و انجام فرآیندهای ضروری از قبیل اکسیدزدایی و چربی گیری به طریق شیمیایی یا مکانیکی و گاهی هم توامان، با بکار گیری فتورزیست و نوردهی و متعاقب آن مس بری، طرح مداری مربوط را بر روی آن ایجاد می نمایند. در مراحل بعدی به منظور چسبندگی بیشتر سطح برد (لایه های داخلی) به رزین Pre – Preg سطح مسی مدارها بر روی لایه های داخلی را به طریق شیمیایی و یکنواخت اکسید می نمایند. در این مرحله برای اجرای عملیات چینی و پرس، تعداد معینی از انواع Pre – Preg به ابعاد و ضخامت مناسب را اختیار کرده و مابین لایه ها قرار می دهند. برای ایجاد خارجی ترین لایه ها نیز از ورقه نازک مسی (فویل مسی) استفاده می شود. یعنی چنین ساختاری اجرا می گردد :

(لایه اول) فویل مسی / Pre – Preg / لایه داخلی / Pre – Preg / لایه اول

برای حفظ یکنواختی و عایقی در تمام نقاط لازم است حداقل دو ورق Pre – Preg میان هر دو لایه متوالی استفاده شود. به عنوان یک قاعده سرانگشتی می توان گفت که ضخامت Pre – Preg مورد استفاده باید حداقل دو برابر ضخامت لایه های مسی باشد که قرار است میان آن ها عایق شود. برای حفظ انطباق کامل لایه ها از یک سیستم و روش پین زنی دقیق و مناسب استفاده می شود. محل هر یک از این پین ها بر روی طرح مداری هر یک از لایه های داخلی با مختصات کاملاً یکسان تعیین گردیده است.

پس از لایه چینی برای بکار گیری حرارت و فشار جهت به هم چسبیدن لایه ها از یک دستگاه پرس مکانیکی مجهز به حرارت (و در برخی دستگاه ها مجهز به تخلیه هوا) استفاده می شود. در جریان افزایش دما با شبیع معین و کنترل شده درجه حرارت از دمای گذار شیشه ای T_g رزین بالاتر رفته و رزین شروع به نرم شدن کرده و تمامی فضای خالی میان مدار های مس بری شده را پر میکند و به عنوان یک چسبانده، لایه ها را به هم متصل می نماید. جهت توزیع یکسان حرارت از صفحات فولاد زنگ نزن به ضخامت تقریبی $6 - 8 mm$ استفاده می شود. طول و عرض این صفحات برای یکنواختی توزیع دما لازم است حدود $30 - 40 mm$ بزرگ تر از ابعاد برد و نیز حدود $50 - 100 mm$ کوچکتر از طبقات دستگاه پرس باشد. برای جداسازی هر دسته از لایه های سازنده یک برد چند لایه از دسته های دیگر نیز از ورق های فولادی مشابه با ضخامت کمتر استفاده می نمایند.

هر یک از برد های چند لایه پرس شده به منظور امکان پذیری اجرای عملیات سوراخ کاری در نقاط معین و مشخص شده در طرح مداری (خارج از کادر مدار) به عنوان مرجع سوراخ کاری، ابتدا سوراخ شده و سپس پین گذاری می شوند. سوراخ کردن این نقاط مرجع باید با دقت بسیار بالا و به وسیله دستگاه متصل می شود. سوراخ از حد مجاز منجر به اتصال ناجای لایه ها از طریق سوراخ های متالیزه شده و در نتیجه ضایعات به بار خواهد آمد.

پس از انجام عملیات سوراخ کاری، لازم است به منظور تسهیل متالیزاسیون و نیز افزایش میزان چسبندگی لایه فلزی به جداره سوراخ ها و هم چنین بهبود اتصال جداره فلزینه سوراخ های متالیزه بالبه های مسی پد های تعییه شده در لایه های داخلی داخل هر یک از سوراخ ها با اجرای فرآیندی شیمیایی از هر گونه زواید رزینی و شیشه ای پاک گردد. به این فرآیند Desmearing می گویند.

با اجرای آبکاری و متالیزه کردن جدار سوراخ ها ارتباط الکتریکی میان لایه ها از طریق سوراخ های هادی شده برقرار می گردد و از این پس با برد چند لایه نظیر یک برد دو رو با سوراخ های متالیزه رفتار خواهد شد.

مجموعه کامل مجلات تخصصی برق و الکترونیک

مجموعه کامل مجلات تخصصی برق و الکترونیک ، شامل



مجموعه ۱۳ ساله مجلات EPE

مجموعه ۱۷ ساله مجلات elektor

مجموعه ۲۴ ساله مجلات Circuit Cellar

مجموعه ۷ ساله مجلات Servo Magazine

مجموعه ۸ ساله مجلات Nuts and Volts

توضیحات تکمیلی :

<http://eshop.eea.ir/link/paper.php>



ربات شن نورد

نسل جدیدی از ربات های درازپا، جهان صنعتی را متحول خواهند کرد

مترجم: سما رشیدی s.rashidi.82@gmail.com

مارمولک دم راه بر ر روی ذرات و دانه های نازک شیشه می ایستد و وزنش را جابجا می کند. دانه ها، در زیر پایش می لغزند و موجود لکه دار، برای نگه داشتن بهتر خود، انگشتان دوکی شکل خود را به حالت کشده روی شیشه قرار میدهد. ناگهان شروع به دویدن کرده، تمام سطوح ذرات را با چابکی شگفت-انگیزی طی می کند و با ضربه زدن به دانه ها، انگشتان خود را می کشد و پاهای خود را به صورت شلاقی به جلو و عقب می اندازد. هر طرف از بدن مارمولک کش می آید و سپس به دور خود حلقه می زند شبیه خزنده ای که با حرکت سریعش، چندین متر در هر ثانیه به پیش می رود.

در گودبرداری یک سال گذشته در صحرا موهاوی کالیفرنیا مارمولکی توجه مارا به خاطر آن پاهای واقعاً عجیب و غریبیش جلب کرد و به یک آزمایشگاه در جورجیا تک منتقل شد، دست و پای بلند و استخوانی به خزنده اجرازه می دهد تا بر روی شن و ماسه، سنگ و انواع دیگری از زمین که در صحرا وجود دارد، حرکت کند. در آزمایشگاه مقداری از خاک صحرا را که برای مطالعه آورده شده بر روی صفحه ای ریخته و با دمیدن باد در آن خاکی صاف و سفت به دست می آوریم، سپس چگونگی مقابله مارمولک با این شرایط را بررسی می کنیم.

علاوه مندی ما صرفاً از نظر بیولوژیکی نیست. کاوشگران ما در مرکز فناوری جورجیا، Komsuoglu و Koditschek در دانشگاه پنسیلوانیا در فیلادلفیا و دیگر همکارانمان امیدوار هستیم که با مطالعه مارمولک دم راه و مجموعه ای از حیوانات وحشی و موجودات دیگر بیابان، بتوانیم نسخه سریع تری از ربات شش با، بنام SandBot بسازیم. درهنگام عبور از اراضی خشک، ربات مسیر ثابت، به اندازه دو برابر طول بدنش را در هر ثانیه می پیماید. برای مقایسه، یک سگ آموخته دیده به اندازه چهار برابر طول بدنش را در هر ثانیه می پیماید. اما ربات شن نورد (SandBot) در اولین سفر کوتاه خود، با پاهای هلالی شکل، در سراسر دانه های شیشه ای، با موفقیت کمتری چاله حفر می کند و تنها پس از چند مرحله در آن گیر می کند. مشخص است که خاک از نوع شن و ماسه برای یک ربات یکی از سخت ترین مواردی است که جهت آزمودن بکار می رود.

از جهتی خاک از نوع شن و ماسه ذاتا لغزنده است، به این دلیل پیوسته بین دو حالت جامد بودن و سیال بودن در حال تغییر می باشد. فیزیکدانان هنوز تصویر کاملی از مکانیسم ذرات شن و ماسه در دست ندارند، به همین دلیل توجه ما به مارمولک و استراتژی های هوشمندانه تکامل یافته این نوع خاک، در مقابله با سطوح شنی جلب شده است. برای مثال، ما متوجه شده ایم که انگشتان بلند پای مارمولک در هر مرحله به عمق شن و ماسه فرو می روند. به نظر می رسد که این مورد اجازه می دهد که مارمولک پاهای خود را با فشار آوردن از سطح پایینی خاک بیرون آورد و نیز قسمت پوسته ای پایداری کمتری نسبت به سطوح پایینتر دارد. آشنایی اولیه نشان می دهد که توانایی فرورفتن انگشتان پای مارمولک در داخل زمین، او را قادر می سازد تا زمین سخت را بپیماید و تا ۷۵ درصد از سرعت آن بر روی زمین سخت را حفظ نماید. حیوانات صحرابی با سطوح مختلفی از شن و ماسه روبرو هستند و هر کدام به نحوی با سطح زمین برخورد می کند و به عنوان مدرکی ارزشمند برای تصحیح ربات شن نورد بکار می روند.

نهایتاً، ما می خواهیم رباتی بسازیم که بتواند از روی هر نوع زمین سختی مانند غزال عبور کند و از درختان پوسته شده بلند و ساختمان ها مانند سنجاق بالا رفته و یا در توده ای لغزنده از برگ و یا گل و لای همانند یک مار مانور دهد. حداقل اکنون تعداد محدودی از ربات ها توانسته اند برای مدت زمان کوتاهی دیوارهای عمودی را بپیمایند و از سطوح شیبدار پوشیده از برگ عبور کنند یا حتی از روی سطوح بخ زده بگذرند. نهایتاً، ربات ها با قابلیت جابجایی سریع، توانستند تحولی در یافتن و فرار از مناطق خطرناک در تمامی انواع سطح زمین نه تنها بر روی زمین، که در ماه، مریخ و فراتر از آن را نیز ایجاد کنند.

اول از همه، ماشین آلات ما نیاز دارند که بر سطح زمین از جنس شن و ماسه غلبه کرده و بر آن فائق آیند. اگر نیاز بود بالی برای پرواز یا باله ای برای شنا بسازیم نیازمند بهره گیری از معادلات Navier-Stokes که قوانین تعیین شده ای برای جریان سیال هستند، بودیم. اما برای مواد پیچیده ای مانند شن و ماسه، هنوز مدل معادلی وجود ندارد. بنابراین ما مجبور هستیم از همان ابتدا، با بررسی خواص فیزیکی ذرات تشکیل دهنده زمین شروع کنیم. پس از حدود دو سال مطالعه و آزمایش، در کنسرسیوم فیزیکدانان، ربات شناسان، و زیست شناسان فکر میکنیم ما برخی از قوانین اساسی در توصیف حرکت ربات ها در سراسر سطوح زمین نه تنها بر روی زمین، که در آن دانش جهت طراحی ربات های مخصوص شنیزار، هرگز آسان نخواهد بود.

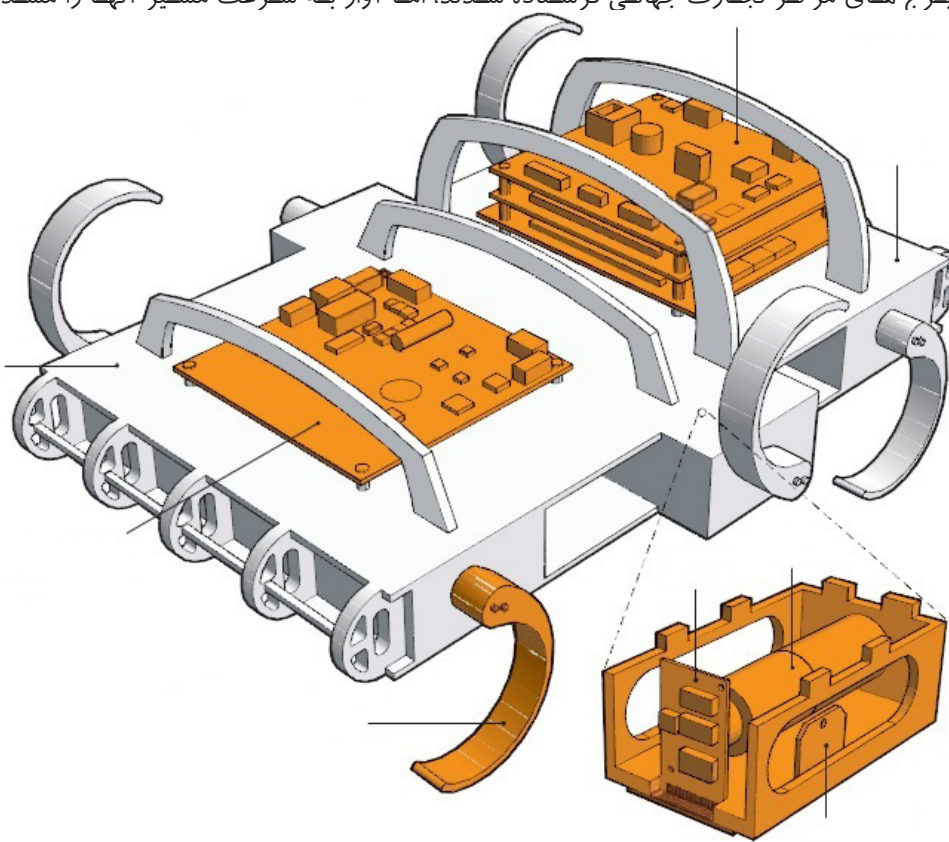
در نظر بگیرید که انسان چگونه خود را بر روی زمین حرکت می دهد. مکان هایی مانند جاده ها و بزرگراه ها که سرمایه گذاری های عظیمی شده، جابجایی با ماشین یا قطار را نسبتا ساده شده است. در واقع، وسایل نقلیه ما به تمامی امکانات هموار کننده مهندسی نیازمند بوده و بدون اینها، آدمی نمی تواند به دورست ها برسد. اما برای وسایل نقلیه و همچنین برای ربات ها، مساحت بزرگی از زمین تا حد زیادی غیر قابل دسترس می باشد. حدود ۳۰ درصد از مساحت بیابان و یک پنجم آن با نوعی از شن و ماسه پوشیده شده است.

تنها مسئله، شن و ماسه نیست، انتظار می رود ربات های متجرک در مناطقی که بلایای طبیعی رخ داده، جبهه های جنگی و مکان هایی که پر از قلوه سنگ و غیرقابل پیش بینی و غیرقابل عبور هستند بیشترین فایده را داشته باشند. به عنوان مثال، در سال ۲۰۰۱، ربات ها پس از سقوط برج های مرکز تجارت جهانی فرستاده شدند، اما آوار به سرعت مسیر آنها را مسدود

کرد و یا باعث درهم شکستن ربات ها شد. به همین شکل، هنگامی که معدن زغال سنگ در ساگو (Sago, W.Va)، در سال ۲۰۰۶ فروریخت، یک ربات امداد و نجات، پیش از آنکه در گل و لای گیر کند، در حدود ۷۰۰ متر از ورودی را طی کرد که حتی مسائل بی خطر مانند شن و برگ های افتاده نیز می تواند ربات را متوقف کند.

مارمولک دم راه راهی و خرچنگ دارای پشت، اسرار بسیاری برای حرکت سریع و نحوه دویدن داردند مانند اینکه اندام چه میزان انعطاف بر روی شن و ماسه دارند. پشت خرچنگ فشار اعمال شده توسط پاهای خود را بصورت بی سیم اندازه گیری کرده و ارسال می کند.

به طور خلاصه، ربات هایی که بر روی چرخ ها حرکت می کنند



مسیرهای را که به محدوده عملکردشان نزدیک است را طی می کنند. ربات های دارای پا، که از حرکات حشرات و یا حیوانات و خزندگان تقلید می نمایند پیشنهاد مناسبی هستند، اما مکانیسم حرکتی آنها ساده نیست. چون شناخت زیادی از نیرویی که بین پا و سطح زمین ایجاد می گردد تا حرکت صورت گیرد، وجود ندارد، راه حل متدال روشن آزمون و خطاست.

اما ما راه درازی را سپری کرده ایم. قدمت اولین ربات کامپیوترا کنترلی دارای پا به صده ۱۹۶۰ برمی-گردد، زمانی که اولین بار رابرت مک گی اسب ساختگی خود را در دانشگاه کالیفرنیای جنوبی، واقع در لس-آنجلس خلق کرد. پس از آن، مک گی این پروژه را در دانشگاه ایالتی اوهايو در کلمبوس، دنبال کرد که اولین ربات مستقل دارای پا را در سال ۱۹۷۶ ساخت. این دستگاه، که به عنوان جانور شش پا شناخته شد، می توانست مسیر خود را در سراسر بلوك های چوبی خانگی را به آرامی طی می کرد.

بعد از یک دهه، مک گی و همکارانش سیستم تعليق تطبیقی خودرو با طول ۵ متر که اولین دستگاه مستقل دارای پا بود را برای مقابله با محیط های خارجی ایجاد کردند. ربات هر پا به دقت بر زمین قرارداده، در هر ثانیه کسری از طول بدن را به آرامی طی کرده و سپس با وجود گشتاور مفاصل، نیروهای واکنشی لازم بین زمین و بدن خود را ایجاد کرده، به جلو هل می داد.

مرحله بعدی ربات های پادار، که توسط مارک رابرت در دانشگاه کارنگ ملون در پیتسبرگ و بعدها در دانشگاه MIT بود راهنمائی شد، ماشین هایی با مهارت های پویایی ساخته شدند. مهارت پویایی تبادل انرژی پتانسیل و انرژی جنبشی به شیوه ای کنترل شده و تقاضت بین یک کانگوروی جهنده و ماشین است. خم پاهای کانگورو انرژی بالقوه را ذخیره می کند، که اجازه می دهد به آسانی از موانع عبور کند. توانایی هدایت انرژی مکانیکی بدن جهت حرکت بر روی سطوح غیرقابل پیش بینی برای ربات ها بسیار مهم است. تولیدات رایرت، اساساً متجرک هستند و برای حفظ تعادل در جهش و زمان جفت شدن با یکدیگر استفاده می شوند. این ربات ها هنوز هم رکورد سرعت حرکت روی زمین با ۲۱ کیلومتر در ساعت حفظ کرده اند، با این حال آنها سرخانه برای محیط آزمایشگاهی کنترل شده طراحی شده اند.

ربات RHex طراحی شده توسط مارتین بهلر، ربات شناس و عضو گروه کو دیتچیک Koditschek در سال ۱۹۹۹، ربات ها را تا مرحله بعد ارتقای دادند. این دستگاه خودمختار، در بخش زیست شناسی رابرت کامل، از دانشگاه کالیفرنیا، برکلی، دارای شش پا هستند که از قسمت خارجی بدن به مرکز متصل شده است. این پیکربندی ربات به ثبات و پایداری زیادی نیاز دارد، موارد سریعتری نیز به وجود آمده اند که RHx تنها ماشین دارای پا است که می تواند در مسیرهای ناهموار و زمین های شکسته با سرعتی بالا و به اندازه طی کردن طول بدن در هر ثانیه به حرکت خود ادامه دهد.

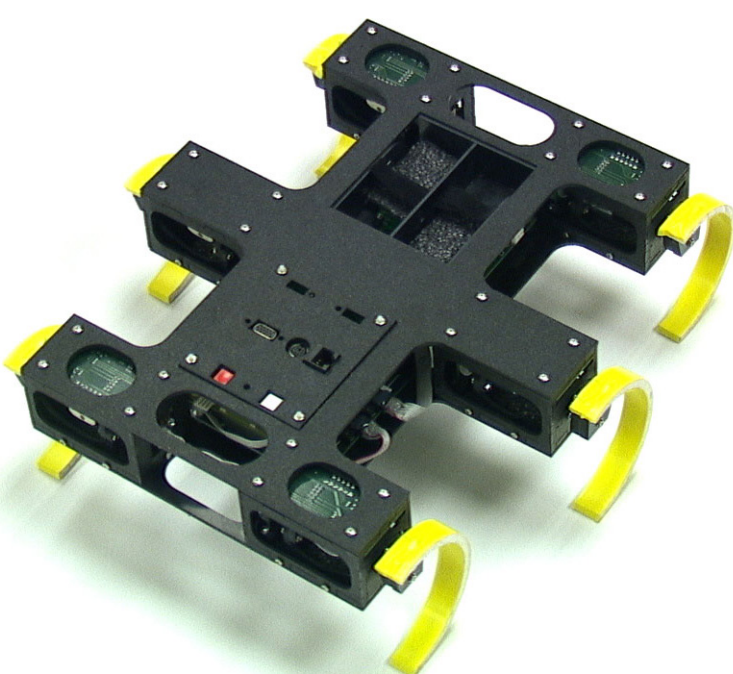
ربات RHex به نوبه خود، مدلی برای خانواده ربات ها است که هر کدام توسط یک موتور واقع در مفصل میانی، به حرکت درمی آیند. ربات آبی که فرزندان خود را در میان دیگران قرار می دهد و اساس ربات RHx شناگر با باله است که به دو ربات دیواره نورد با نام دیناکلیمر Dynoclimber و ربات شنزار مجهر شده است.

دونده سنگپوش SandBot

یک مسیر پر از دانه های خاک رس را طی می کند که جهت آماده سازی ربات برای انواع بسیاری از گرد و غبار، شن و ماسه و خاک سست است که در خارج از آزمایشگاه با آنها روبرو می شود. در اوایل سال ۲۰۰۷، ربات شن نورد Komsuoglu از مدل RHx و زیرساخت های مدولار براساس خلاقیت خود طراحی و در کمتر از یک ماه ساخت.

با ۲ کیلوگرم، وزن آن کمتر از یک چهارم وزن RHx، SandBot به مانند RHx دارای شش پای سازگار و به طور مجزا کنترل شده که هر یک از آنها یک نوار نیم دایره RHx از جنس پلاستیک دارند. همچنین مانند RHx البته با الهام از حشرات ها با "سه پایه متناوب" راه می رود. این ربات با ۳ پا که دارد حرکت خود را انجام می دهد و با پای جلو و عقب حرکت رو به یک به سمت و با پای میانی حرکت مخالف جهت بقیه را انجام می دهد. پس از هر مرحله، پایه های خود را جایگزین کرده و بدن را به جلو رانده، پس از آن به اطراف می چرخد.

داخل ربات شن نورد از نقاط مجزائی تشکیل شده است و از طریق یک شبکه همزمان که RiSEBus نامیده می شود، ارتباط دارد که مشابه نسخه اولیه ربات کوهنورد است. در مفصل ران هر یک از پاهای ۱۱ وات از طریق موتور DC ارسال می شود. شش موتور کنترلی

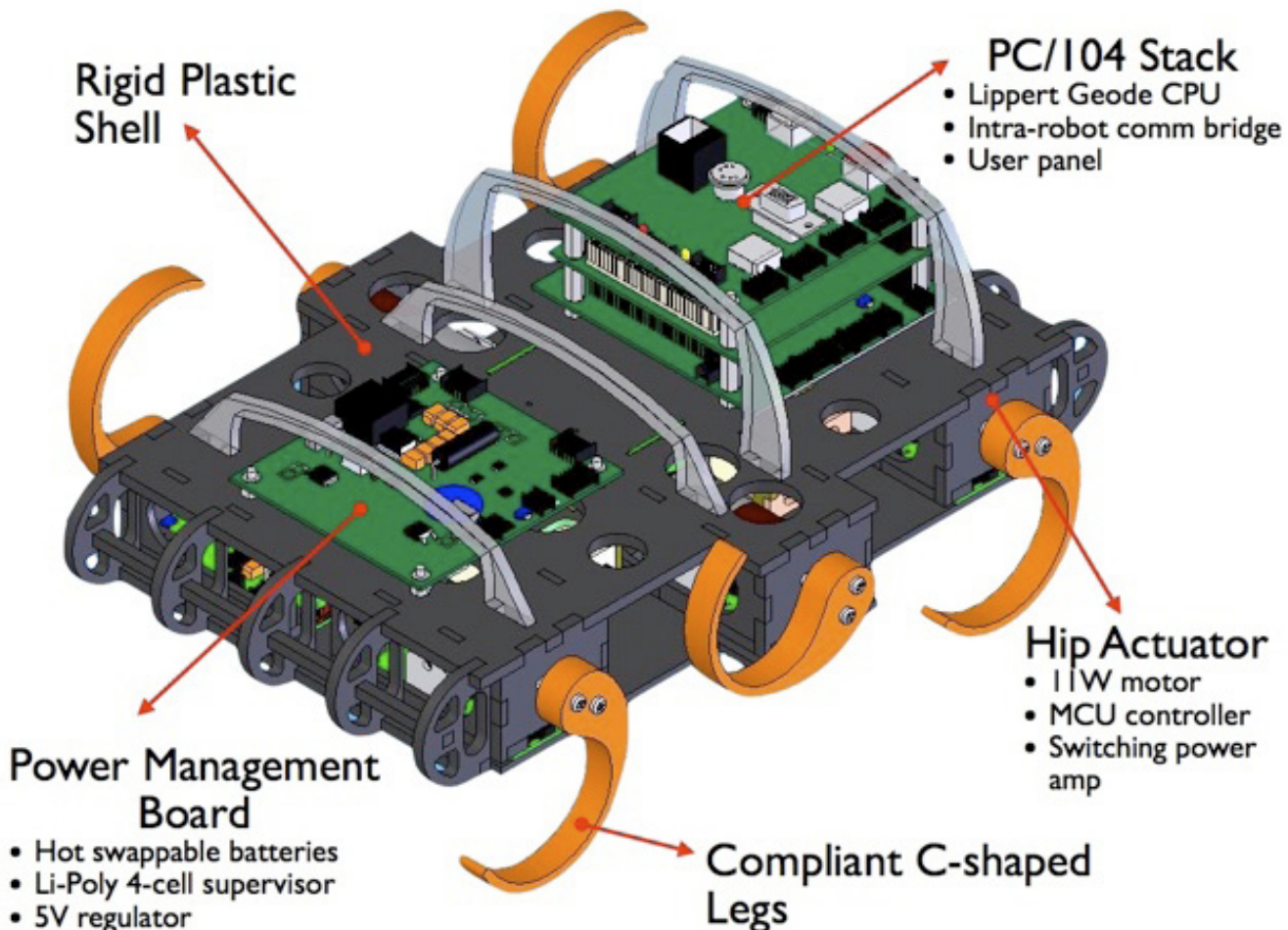


به یک کامپیوتر مرکزی مرتبط شده اند که توابعی از مفرز ربات شن نورد هستند و در تصمیم گیری های رفتاری سطح بالا تمرکز دارند. دستورات از پردازنده مرکزی به کنترل کننده های موتور آموزش داده می شوند تا پاهای را با سرعت و درجه نظر حرکت دهند. کنترل ردبایی موقعیت اختلاف میان حالت واقعی پا و حالت مورد نظر را تعیین می کند. سپس کنترل کننده ولتاژ مورد نیاز برای اصلاح خطای را محاسبه و صدق آن را به موتور با استفاده از تقویت کننده قدرت است. این عمل باعث می گردد پاهای را با سرعت مناسب به حرکت در مسیر خود پردازند.

برای صرفه جویی در قدرت محاسباتی ربات، کامپیوتر دستورات را با سرعت نسبتاً کندی، حدود ۱۰۰ بار در ثانیه ارسال می کند، که زمان خود را برای انجام دادن کارهای دیگر آزاد می کند. به عنوان مثال، ممکن است پردازنده مرکزی اعمال گردد. به یکی از میکرو کنترلرها فرمان می دهد که یکی از پاهای خود را باید با سرعت خاصی و با شروع از یک موقعیت خاص حرکت بدهد. از آن پس، همه ردبایی های مربوط به موقعیت آن پا توسط میکرو کنترلر صورت می گیرد، که می تواند سنسورهای خود را در فرکانس بسیار بالاتری از ۱ کیلوهرتز بازیابی و بدهست آورد.

این طرح اجازه می دهد تا پردازنده مرکزی، با استفاده از بسته های اطلاعاتی فشرده شده که نیاز به حداقل قدرت محاسباتی برای رمزگشایی دارند، با ساق پا ارتباط برقرار کنند.

تفکیک وظایف کنترلی، پردازنده مرکزی را از اجرای برنامه های طولانی مدت رها می کند. پردازنده مرکزی ممکن است از یک دوربین برای ارزیابی تفاوت بین ارتباط خود با واقعی بصیری و آنچه باید باشد استفاده کند، و یا چگونه باید باشد و نیز فهمیدن اینکه چگونه سطحی که بر بنای بازدهی وابسته است، خطرناک بوده که از طریق سنسورهایی در پایه اصلاح می شود.



طراحی ربات شن نورد، در آزمایش هایی با وجود موجودات طبیعی شنیزар در آزمایشگاه Goldman انجام شده است. برای مثال، مارمولک دم راه راه بیش از هر نوع موجود دیگری می تواند با سرعت بالایی از زمین شن و ماسه عبور کند. در مقابل خرچنگ تطبیق پذیری کمتری دارد. در توده ای از زمین، اندام ها و پاهای خود را ۴ سانتی متر از پوسته ی بدنش دراز می کند و با سرعت ۱ متر در ثانیه سریع حرکت می کند اما در برخی خاک های ضعیف خرچنگ در خاک گرفتار می شود. عقرب می تواند در هر ثانیه چند برابر طول بدنش را در روی زمین طی کند و در مسیرهای شیب دار به راحتی به طرف پایین فرود می آید.

مشاهدات ما از مارمولک، خرچنگ و عقرب در شرایط مختلف، به شکل دهی نظریه ما در مورد حرکت در شن و ماسه کمک کرده اند. ما معتقدیم که این پژوهه اولین تلاش ها برای ترکیب اندازه گیری مستقیم جریان فیزیکی زیرلایه ها با مشاهده تاثیراتی که دونده بر روی زمین وارد کرده و حرکات بدن آنها دارد را نشان می دهد. به طور کلی، وزن حیوان، شکل پا، و

نحوه راه رفتن، همه و همه مقدار فشار خاصی که به شن و ماسه وارد می شود را تعیین می کنند. براساس این مدل، مارمولک به مشخصات قدرت مواد موجود در شن پیدا می کند. تا از بین مواد لغزیده و دست و پا بزند، کاریکه خرچنگ شبح بر روی زمین نرم به پایان رسانده است.

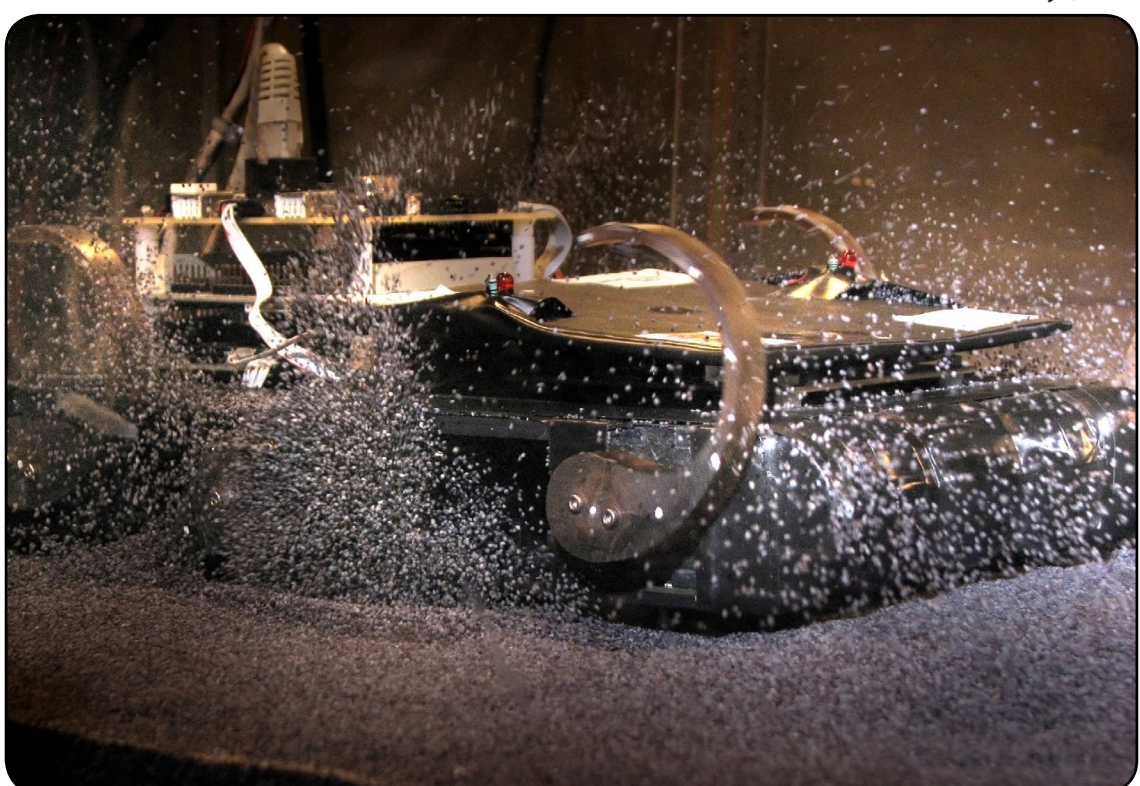
هر گام حرکتی خزندۀ، می تواند بسیار آموزنده باشد. با هر گام بلند، زمانیکه یک پا در بین شن و ماسه حرکت می کند نیروهای کششی تولید شده می توانند خواص مواد جامد و مایع را نشان دهند. اگر تنش-های ایجاد شده توسط پا بیش از یک حد آستانه ای باشد، مواد جریان می یابند و می لغزند. اما در صورتی که این تنشها کاهش یابند می تواند به اندازه کافی سفت شود. برای مثال، اگر نیروهای رو به پایین تولید شده توسط اندام و وزن ربات با فشار داخلی شن و ماسه که تابعی از عمق آن است متعادل شود، این مورد رخ می دهد.

حقیقت دیگر این است که رفتار حرکتی ذرات شن و ماسه، بستگی به آن دارد که در گذشته چه اتفاقاتی بر آن افتاده است. برای مثال بخشی از شن و ماسه سخت توسط یک گام دچار آشفتگی شده و ممکن است پراکنده شود و زمانیکه گام بعدی به مواد ضربه می زند، نیروهای تولید شده توسط یک گام در شرایط مختلف می تواند به طور چشمگیری متفاوت باشد، بطور مثال مقاومت نفوذ با ضریب ۱,۶ بین مواد محکم متفاوت است. پیش بینی اینکه تا چه حد، در حالت های مختلف قسمت های بدن باید در خاک نفوذ کنند، کار پیچیده ای است.

برای یافتن اینکه چگونه ربات شن نورد بهترین مانور را در شن و ماسه می تواند اجرا کند، ما ربات را در معرض انواع مختلفی از محیط ذرات و دانه ها که کاملاً کنترل شده اند قراردادیم. محیط را با استفاده از یک مسیر ۲,۵ متری ساخته شده توسط Chen Li، دانشجوی فارغ التحصیل از آزمایشگاه Goldman توسل طولانی مرتب شده که آن را با ۹۰ کیلوگرم دانه خاک رس پر کرده اند. حفره های کوچکی در پایین سطح مسیر وجود داشت که از طریق آن ما می توانستیم هوا را به داخل وارد کنیم که باعث بلند کردن دانه های خاک رس و تحریک آن قبل از استقرار در حالت بسته پراکنده شده وجود دارد. چرا دانه های خاک رس و شن و ماسه واقعی نه؟ ما دریافتیم که هر ذره به اندازه کافی بزرگ است تا ما از ورود آنها به موتور نگران نباشیم و در عین حال نور به اندازه کافی با پمپ کردن هوا به محافظه وجود داشته باشد. از آزمایش های جداگانه، دریافتیم که تا زمانی که تاکه ها و دانه های سخت ساخته شده اند، شبیه بودن مواد مهم نیست.

توسط شن و ماسه و سایر ذرات ما می توانیم قدرت زمین را در تحمل حجمی از مواد جامد محاسبه کنیم که کسری از نیرویی است که توسط ذرات ریز بر روی زمین اعمال می گردد.

به طور معمول، کسر حجمی جامد بین ۵۸ تا ۶۴ درصد برای موادی مانند شن و ماسه و یا انبوهی از دانه ها می افتد. کسری پایین تر به این معنی است که به طور متوسط، امتیاز کمتری از تماس بین دانه ها و مواد جامد کمتر است وجود دارد. از آنجائی که ربات RHex در راه رفتن بر روی سطوح مختلف موفق بوده است، به این نتیجه رسیدیم که ربات هر چه کوچکتر ولی پرقدرت تر باشد حرکت بهتر و آسانتری روی شن و ماسه خواهد داشت. ما اشتباه کردیم. در آزمایش های اولیه، مواد بسته بندی شده که ۶۳ درصد از کسر حجمی جامد بود را بر روی سطح قرار داد، و فرکانس از راه رفتن سه پایه متناوب تا ۵ دور در هر ثانیه مشخص کردیم. پیش از این، این ربات با استفاده از این پارامترها در سراسر زمین سفت و سخت بی وقفه پیش رفته بود.



هر چند، در این زمان، تنها پس از طی چند مرحله در خاک گیرکرد. مانند لاستیک های ماشینی که در گل و لای گیر افتاده، ربات ساخته شده با پاهای چرخشی سریع، مطلقاً هیچ حرکت رو به جلو در مسیر پر از خاک رس نداشت. اولین فرض ما به شکل نالمید کننده ای بود چرا که ربات شن نورد، برای راه رفتن بر روی شن و ماسه خیلی سنگین بود و ما مجبور به طراحی دوباره ربات شدیم.

اما ما تصمیم گرفتیم کمی بیشتر روی آن کار کنیم. Komuosglu مشاور تلفنی، از دفتر خود واقع در Penn، پیشنهاد کرد که ما جهت حرکت اندام‌ها و راه رفتن ربات را، اندکی تغییر دهیم تا در بخش‌هایی از چرخه، پاها سریعتر بچرخدند و در بخش‌های دیگر کندتر باشند. او از مطالعات قبلی می‌دانست که برخی از ربات‌ها با چنین راه رفتن متفاوتی، حداقل در سطوح سخت و محکم اجرای بهتری دارند. به نظر می‌رسید که ارزش یک حرکت را دارد. Komuosglu از طریق تلفنی میزان تغییرات را به ما اعلام کرد، ما آنها را وارد برنامه کنترلی کردیم، مثل سحر و جادو بود، ربات شروع به حرکت کرد! ربات پاهای خود را پنج بار در ثانیه به شکل دورانی می‌چرخاند، اما هنوز حرکت سریع به طرف پائین مسیر، تنها به میزان درازای یک طول بدن در هر ثانیه بود. مطالعات بیشتر نشان داد که هر یک از اندام‌ها در ذرات ریز نفوذ می‌کنند و تا وقتیکه وزن ربات را برای ثبات کافی در فشار بالا و رو به جلوی ماشین تامین کند، به حرکت خود ادامه میدهد.

همراه با Paul Umbanhower، مهندس مکانیک در دانشگاه Northwestern: بعد از آنکه ما در توضیح رابطه بین حجم و جسم، فرکانس چرخش اندام و عمق نفوذ اندام در هر مرحله، مدل حرکتی را بسط دادیم. در هر دو مدل و شواهد تجربی نشان می‌داد اگر فرکانس چرخش اندام ربات را افزایش دهیم، ربات بیشتر در مواد غرق می‌شوند و اندازه هر گام کاهش می‌یابد، باعث از دست دادن فاجعه بار سرعت می‌شود که کاملاً مخالف با آنچه که بر روی زمین ساخت رخ می‌دهد.

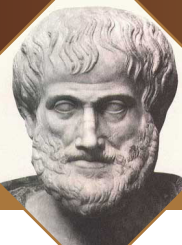
پیشرفتی دیگر: بهبود دیگری که ما برای ساخت پای بهتر برای ربات شن نورد در حال کار بر روی آن هستیم توان بخشیدن به آن برای گرفتن شن و ماسه است تا فقط مثل مارمولک دم راه عمل کند. به این منظور، نیروهایی که بر پا تاثیر می‌گذارند تا در مواد با حجم‌های مختلف نفوذ کنند را اندازه گیری می‌کنیم. آزمایش‌ها بصورت فریبنده‌ای ساده به نظر می‌رسند: ما ستاپ سنجی را داخل اشیای دیسک مانند ساده‌ای جاسازی می‌کنیم و بعد آنها را در انبوهی از شن و ماسه قرار می‌دهیم.

نتایج نشان می‌دهند زمانیکه پا به زمین برخورد می‌کند نیروهای تولید شده در حجم زیاد و یا در قسمت‌های کوچکی از مواد، کیفیت‌های مختلفی دارند. وقتی پای طراحی شده در یک ماده با حجم کم می‌افتد، نیروی وارد تا زمانی که جسم به ثابت بایستد، افزایش می‌یابد و هنگامی که شی بر روی یک ماده با حجم بالا بسته بندی شده می‌افتد، در زمان نفوذ نیرو کاهش می‌یابد. برای بررسی نیروهای کششی و بلندکردن که در بخش‌های دیگر از هر مرحله بوجود می‌آیند، از حرکت پا و انگشتان پا در امتداد مسیرهای دانه، از یک بازوی رباتیک استفاده می‌کنیم.

با وجود مدلی کامل از رفتار منحصر به فرد حرکتی دانه‌ها، ما باید شبیه سازی را دوباره دسته‌بندی کنیم. Yang Ding دانشجوی فارغ التحصیل از مرکز Goldman، شبیه سازی‌های کامپیوترا را که مدلی از برخورد اشیاء با شن و ماسه، دانه‌ها و سایر ذرات پوششی می‌باشد را توسعه داده است. امیدواریم که این آزمایش‌ها و شبیه سازی‌ها در مورد پا، در نهایت به توسعه سنجش‌های جدید و سیستم کنترلی منجر گردد تا برای ربات شن نورد جستجوگر غذا را قادر سازد و حرکات پا را با تغییرات زمین انطباق دهد. شن و ماسه تنها نوع محیط زیست و سطوح زمینی نیست بلکه گل و لای و بستر سست برگها نیز نمایش جامد و مایعی از ویژگی‌های سطحی دانه‌های هستند که این ربات‌ها می‌توانند با آن مقابله کنند. مشاهدات ما از مارمولک، خرچنگ و عقرب در حقیقت به شکل دهنده نظریه ما در مورد حرکت بر روی شن و ماسه با مدل فیزیکی که از روی پاها و مغز آنها ساخته شده است، کمک کرده‌اند، روزی ربات‌ها باید قادر باشند در تمام محیط‌سنگی یا شنی پیش بروند و یاد بگیرند چگونه قدم به قدم با تغییرات روی زمین، رفتار کنند.

جهت جستجو بر روی سطح سیارات دیگر می‌توانیم هزاران ربات پادار را تصور کنیم که به سادگی از توده‌های انبوهی از سنگ و زمین‌های شنی بالابرونده که هنوز چالشی بزرگ، برای ماشین آلات امروزی است. اما این مسئله، چیزی است که لاک پشت دریایی نیز میتواند انجام دهد، این حیوانات شناخته شده، باید از یک سوراخ در عمق زمین، بالا بیانند و از بین علفزارها و باقی مانده‌های زباله‌های اطراف با دست و پازدن به سختی عبور کرده و از روی شنزارها حرکت کرده و ماسه‌ها را برای رسیدن به آب، کنار زده، به مکانی می‌رسند که در آن، بقیه عمر خود را می‌گذرانند.

ما همچنین برای الهام گرفتمند، زیر زمین را نیز جستجو می‌کنیم، اکنون در حال مطالعه مارمولکی به نام sandfish (ماهی شنزار) با استفاده از سرعت بالای اشعه X هستیم که می‌تواند شن و ماسه را در یک چشم برهم زدن به عقب بزنند و سپس از بین مواد زیرزمینی به جلو حکت کند. البته ما امیدواریم این موجودات به عنوان سرنخی جهت اینکه یک ربات چگونه با دست و پا زدن می‌تواند از بین یک منطقه فاجعه زده غیر قابل پیش‌بینی بعد از یک زلزله یا سیل و یا حفاری رو به پایین برای شناسایی معادن زیرزمینی، فراهم کند. با وجود طبیعت به عنوان راهنماییمان، ما انتظار داریم که این ربات‌ها به زودی در برخی از توانایی‌های باورنکردنی جدید مسلط شوند.



Celebrities

UNFORGETTABLE PERSONS

چهره های ماندگار

جان لاجی برد

اختراع تلویزیون به وسیله‌ی تنها یک نفر انجام نگرفت ولی آن کس که این اختراع را کامل کردو قابل استفاده کرد شخصی به نام جان لاجی برد بود.

جان لاجی برد روز سیزدهم اوت ۱۸۸۸ در هلنسبرگ واقع در نزدیکی کلاسگو به دنیا آمد. پدر او یک کشیش تحصیل کرده بود ولی در فقر به سر می‌برد. لاجی دی‌هنگام تحصیل در مدرسه به حدی از خود هوش نشان داد که حتی در ۱۲ سالگی به کمک همکلاسنان یک خط تلفن به وجود اورد.

او پس از پایان تحصیلات متوسطه در دانشگاه گلاسکو مشغول تحصیل گردید و علی‌رغم آنکه از سلامتی برخود دار نبود کمک مهندس شد و در ۱۶ سالگی با حقوق ۳۰ شیلینگ در هفته در یک شرکت الکترونیک مشغول کار گردید.

پس پایان جنگ جهانی اول او شروع به تولید جوراب نمود و از این راه حدود ۱۶۰۰ پوند تحصیل می‌کرد. بعد از آن او کارگاه کوچکی برای تولید مریبا و سس افتتاح کرد ولی به علت آنکه این اقلام زیاد مصرف نداشت کارگاه خود را تعطیل کرد.

در سال ۱۹۲۳ در موقعی که از عمرش ۳۴ سال می‌گذشت او به لندن مراجعت کرد و تصمیم گرفت به هر قیمت که شده اختراع تلویزیون خود را تکمیل کند. برای این منظور او یک قفسه

قدیمی چای را که یک جعبه‌ی مقوای مخصوص بسته‌بندی کلاه در آن بود تهیه کرد و یک دیسک مدور در آن ایجاد نمود. سپس از یک سمساری یک موتور الکتریکی خرید و دیسک مدور را که جدین سوراخ در آن ایجاد کرده بود در آن نصب کرد. وقتی که دیسک را به گردش در آورد اشیایی که به آن نور می‌تابیدند به صورت نقطه‌های نورانی ظاهر گشت او انواع و اقسام وسایل دیگر از قبیل لامپ پرتو افکنی و سلول سلینیوم و لامپ نئون و سویاپ‌های رادیو و... را به کار گرفت و برای دریافت انتقال علائم به تعديلات زیادی دست زد. سرانجام تلاش‌های مستمر او در بهار ۱۹۲۴ ثمر داد و او توانست سایه صلیب مالتیس را تا قاصله سه یارد منعکس کند.

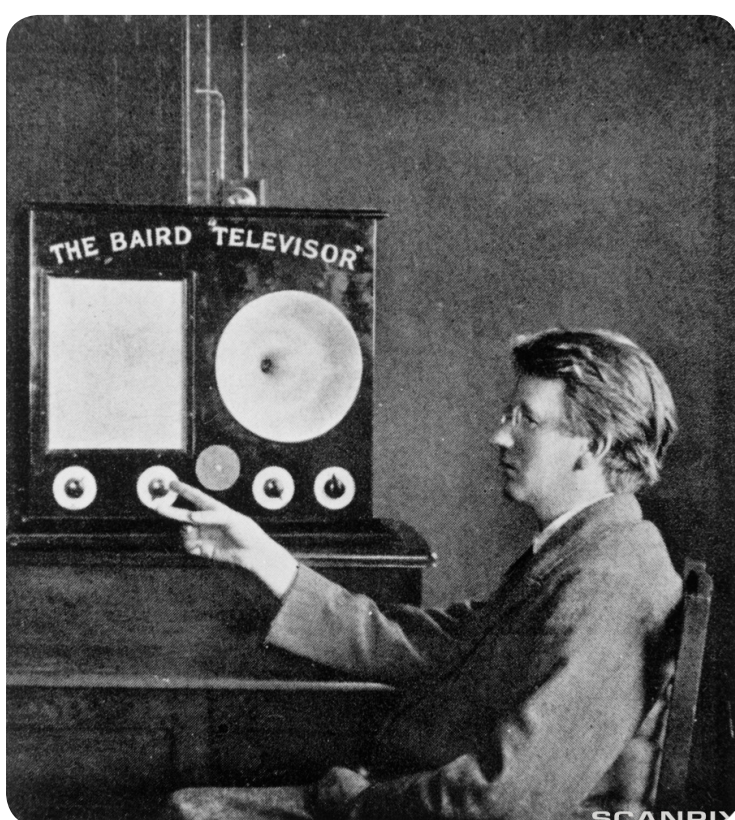
متاسفانه در این زمان برد، پول کافی برای ادامه دادن به آزمایش‌های خود را در اختیار نداشت. برای دریافت کمک در روزنامه اعلانی چاپ کرد. در نتیجه‌ی این اعلانات او توانست مقداری پول فراهم آورد. در سال ۱۹۲۵ پسر یک مغازه دار

به نام گوردون سلفریتس به ملاقاتش آمد و مقداری پول به او داد. برد تلویزیون خود را برای او به کار انداخت. تصاویر در هم و بر هم به روی پرده ظاهر گشت.

در دوم اکتبر ۱۹۲۵ برد برای انتقال تصاویر روی پرده دستگاه دیگری ساخت. وقتی که آپارات را به کار انداخت از نتیجه‌ای که حاصل شد تعجب کرد زیرا حالا دیگر تمامی تصاویر به طور کامل و بدون نقص به روی پرده ظاهر گشتند. در ژانویه ۱۹۲۵ برد با موقیت نخستین نمایش تلویزیونی خود را نشان داد.

برد تحقیقات مربوط به تلویزیون را در سراسر زندگی خود ادامه داد و علی‌رغم انکه بیمار بود و از بی‌پولی رنج می‌برد او تلاش خود را روی تلویزیون رنگی خود حتی تا سال ۱۹۴۵ ادامه داد.

مخترع فلک زده سر انجام بی‌این که از نظر مادی از تلاش‌های مستمر خود سودی ببرد در سال ۱۹۴۶ در اثر آنفولانزای شدید در گذشت. اگر چه بعد از مرگ از او تجلیل‌های زیادی به عمل امد ولی چه فایده که او در طول عمر خود در فقر زیست و تا زنده بود کسی به کار مهمی که انجام داده بود اعتمایی نکرد.



SCANPIX



فروشگاه تخصصی برق و الکترونیک

ECA SOFTWARE **ECA** UTILITY

ECA EBOOK **ECA** MAGAZINE **ECA** PAPER **ECA** HARDWARE

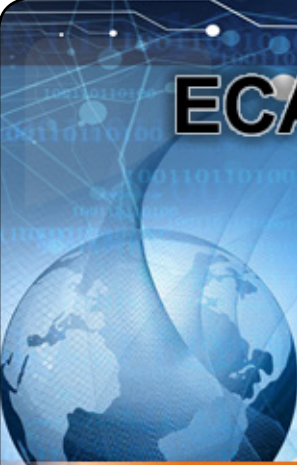
www.eShop.ECA.ir

پذیرش نمایندگی فعال

از تمامی فروشگاه های برق و الکترونیک سراسر کشور

فروشگاه تخصصی برق و الکترونیک ECA

www.eShop.ECA.ir



مرکز دانلود ECA

- « مقالات علمی
- « کنفرانس های داخلی
- « سوالات کنکور
- « پژوهه های تکمیل شده
- « و ...

www.Download.ECA.ir

طراحی، تولید و واردات کلیه برد ها و قطعات
مربوط به سیستم های Embedded



ARM7/ARM9/ARM11
(Atmel, Philips, Cortex-M3, A9/A15...)

www.eShop.ECA.ir



وب سایت تخصصی برق و الکترونیک (ECA) افتخار دارد با بیش از ۱۳۰۰۰ عضو، یکی از بزرگترین وب سایت های تخصصی ایران را تشکیل داده و پاسخگوی نیاز دانشجویان، متخصصان، محققان و صنعتگران عرصه برق و الکترونیک کشور باشد. بی شک یکی از اهداف این انجمن، برقراری ارتباط بین صنعت و جامعه می باشد. لذا از تمام شرکت ها، کارخانجات و موسسات صنعتی علمی آموزشی دولتی و خصوصی، تقاضا مندیم در صورت تمایل به عقد قرارداد تبلیغاتی و یا قبول اسپانسری برای مجله تخصصی نویز از طرق زیر با ما در ارتباط باشند.

تلفن : ۰۴۱۱-۵۵۳۹۷۸۵
فکس : ۰۴۱۱-۵۵۳۹۷۶۹
ایمیل : adver.eca@gmail.com

Silicon Nanowire Field Effect Transistor

Kianoosh Salek Soltani ^a, Siavash Salek Soltani ^b

^a Department of Electrical Engineering, Islamic Azad University South Tehran Branch, Tehran, Iran

^b Department of Chemistry, Malek-Ashtar University of Technology, Isfahan, Iran

Abstract

Silicon nanowire field-effect transistors (SiNW-FETs) have recently drawn tremendous attention as a promising tool in biosensor design because of their ultrasensitivity, selectivity, and label-free and real-time detection capabilities. For practical uses, SiNW-FETs can be delicately designed to be a reusable device via a reversible surface functionalization method. In the fields of biological research, SiNW-FETs are employed in the detections of proteins, DNA sequences, small molecules, cancer biomarkers, and viruses. The methods by which the SiNW-FET devices were integrated with these representative examples and advanced to virus infection diagnosis or early cancer detection will be discussed. In addition, the utilization of SiNW-FETs in recording the physiological responses from cells or tissues will also be reviewed.

Keywords: Field effect transistor; Silicon nanowire; Biosensor

1. Introduction

Sensing using a planar field effect transistor (FET) has been demonstrated for decades, but lower sensitivity has limited its applications. Compared to the surface region of a planar device, due to the ultrahigh surface-to-volume ratio, nanowires and carbon nanotubes are ideal choices for sensors due to the introduced depletion/accumulation of charges near the surface as a result of surface binding/adsorption of foreign molecules and species. Biological specificity, combined with the semiconducting properties, enables nanowire-based biosensors to selectively detect proteins in solution by using direct electronic readout without the need for labeling [1].

Quantification and analysis of biological processes are of utmost importance for biomedical applications and cellular programming investigation. However, it is challenging to convert the biological

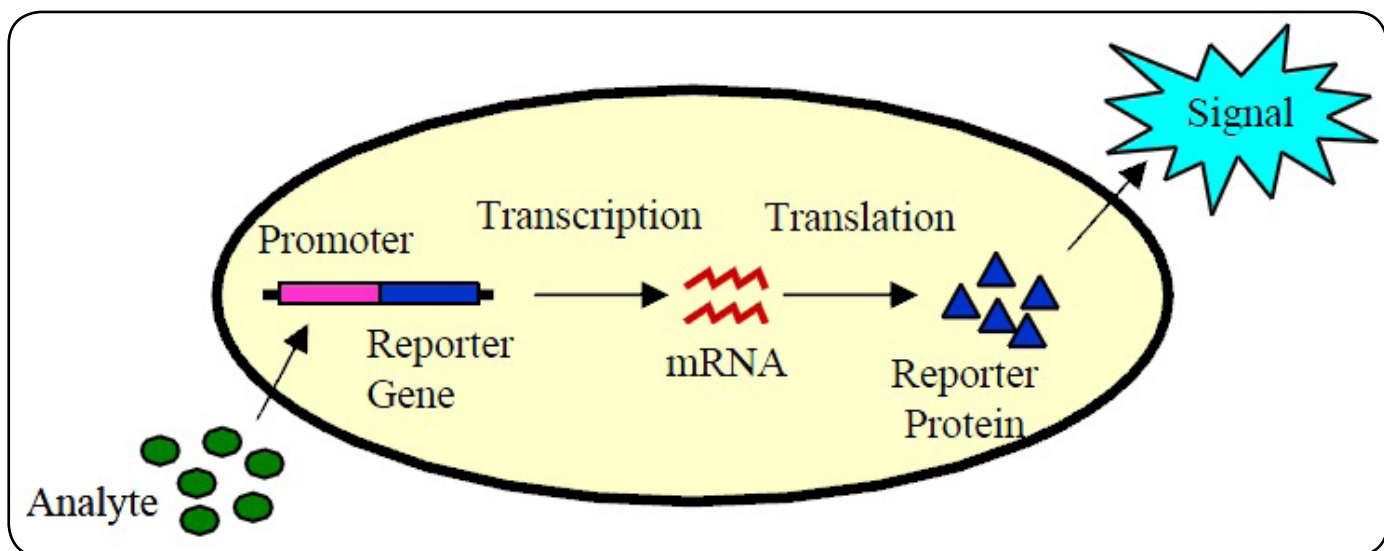


Figure 1. Anatomy of a bioreporter organism. Upon exposure to a specific analyte, the promoter/reporter gene complex is transcribed into messenger RNA (mRNA) and then translated into a reporter protein that is ultimately responsible for generating a signal [4].

information into an electronic signal due to the difficulties of connecting an electronic device into a biological environment. In recent years, there has been dramatic development of electrochemical biosensors because of their applications in toxicity testing, chemical analysis, medical diagnosis, food industry, environmental monitoring, and many other areas. An electrochemical biosensor, as defined by IUPAC, is a self-contained integrated device that allows for specific analytical detection by using a biological recognition element (a biochemical receptor) in direct spatial contact with a transduction element [2]. A biosensor is composed of two elements: a biological recognition unit able to interact specifically with a target, and a transducer able to convert a change in property of the solution or surface, due to complex formation, into a recordable signal. In contrast with conventional bioassays, biosensors allow the detection of molecular interactions as they take place, without requiring auxiliary procedures, making them highly attractive for biotechnological applications [3]. Therefore, the presence of a signal indicates that the bioreporter has sensed a particular target agent in its environment.

Molecular recognition is central to biosensing. Since the first biosensor was developed by Updike and Hicks (1967) many biosensors have been studied and developed. As shown in Figure 2, a biosensor can be defined as a compact analytical device or unit incorporating a biological or biologically derived sensitive recognition element integrated or associated with a physio-chemical transducer. Initially, biosensor recognition elements were isolated from living systems. However, many biosensor recognition elements now available are not naturally occurring but have been synthesized in the laboratory [5].

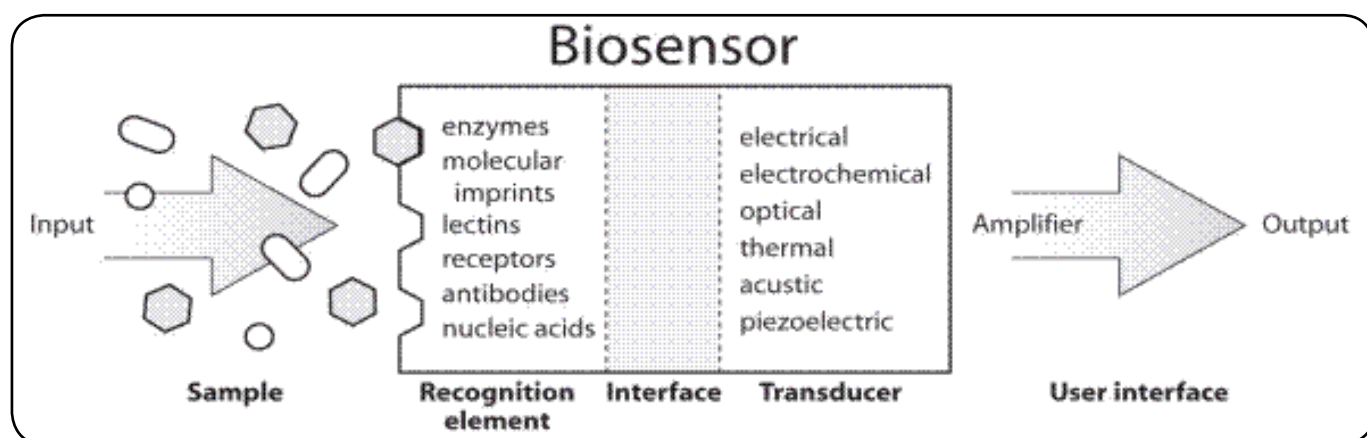


Figure 2. Configuration of a biosensor showing biorecognition, interface, and transduction elements.

Figure 3 shows the illustration of a nanoscale FET biosensor with a cross-sectional view. The semiconductor channel is placed between the source and drain electrodes with a gate electrode on the bottom to modulate the conductivity of the semiconductor channel. Target molecules can be recognized by the receptor modified on the channel surface through strong binding affinity. In recent years, one-dimensional semiconducting nanomaterials, such as silicon nanowires and carbon nanotubes, configured with FETs have attracted great attention because they are an ideal biosensor with high selectivity and sensitivity, real-time response, and label-free detection capabilities [6].

2. FET based biosensors

From the electrochemical point of view, SiNW-FET-based biosensors are a three-electrode system, including source, drain, and gate electrodes. The function of the source and drain electrodes is to bridge the semiconductor channel made of SiNWs and the gate electrode is responsible for modulating the channel conductance.

A diversity of FET-based biosensors has been employed for biological applications. Enzyme-modified FETs comprise a redox active enzyme integrated with an electronic circuitry to give a real-time quantitative analysis of the enzyme substrate, e.g., sensing glucose from a catalytic reaction in the presence of glucose oxidase. Cell-based FETs were exploited to detect the released biochemical agents or real-time cellular responses from living cells, such as action potentials from neuron cells. In general, immunologically functionalized FETs are the most frequently used biosensors. For ex-

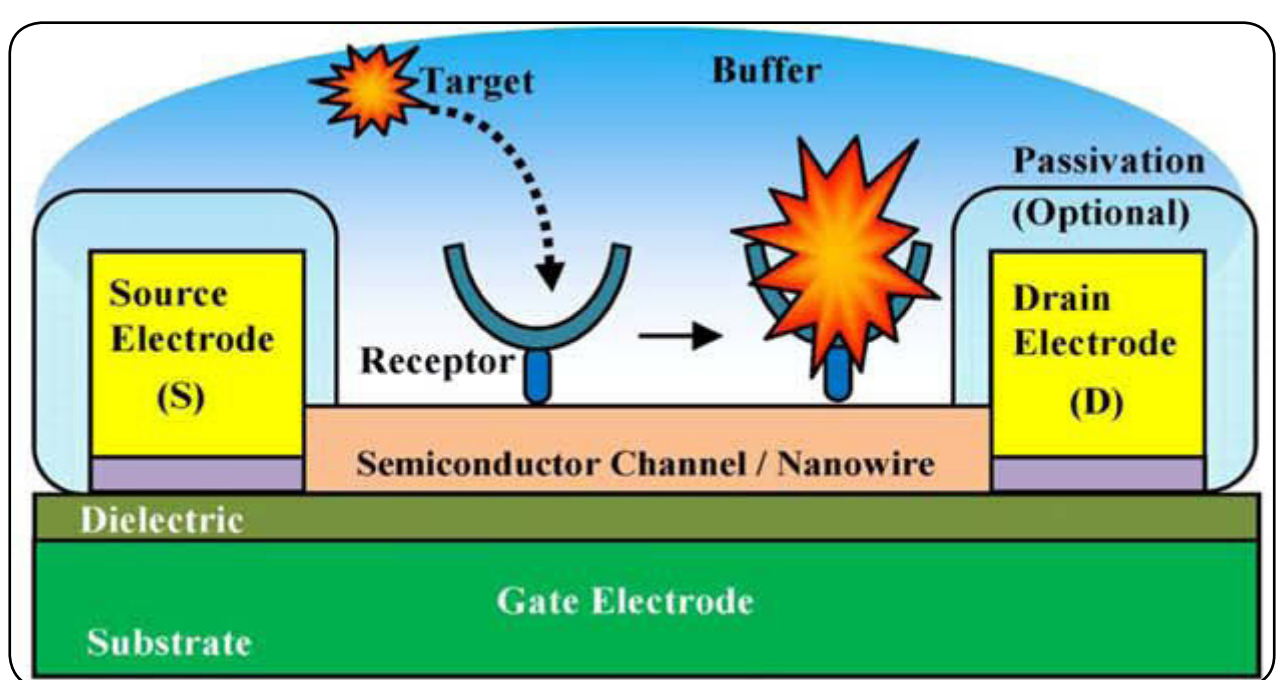


Figure 3. The illustration of a nanoscale FET biosensor.

ample, an antibodymodified FET sensor can be used to detect the corresponding antigen [7].

3. Overview of SiNW-FETs

Taking advantage of the well-developed silicon industry, SiNW-FETs can benefit from existing and mature silicon industry processing techniques and fabrications. In the synthetic reactions that prepare SiNWs, different sizes, shapes, and dopants of SiNWs could be precisely tailored [8]. Because SiNWs could be well-controlled during the wire growth, the performance exhibits high reproducibility. Therefore, the n/p type semiconducting property, doping density, and charge mobility in a SiNW-FET can be designed in advance.

There are two major fabrication techniques in preparing SiNW-FETs: “top-down” and “bottom-up”. The top-down method is carried out through lithographic processes combined with an electron-beam technique that defines SiNW-FETs by physically etching a single-crystalline silicon wafer. On the other hand, the “bottom-up” processes start with the growth of SiNWs, normally in a chemical vapor deposition (CVD) reaction, followed by SiNW assembly and electrode fabrication via the photolithographic or electronbeam lithographic procedures [9].

The top-down method for the SiNW-FET fabrication is based on lithographic processing on a silicon-on-insulator (SOI) wafer. As illustrated in Figure 4(a, i), the structure of an SOI wafer contains three layers: substrate Si wafer, buried silicon dioxide (about 200-400 nm thick), and top Si layer (about 50-100 nm thick). Through the standard procedures of photolithography, reactive ion etching (RIE), ion implantation, electron-beam lithography, and thermal evaporation, SiNWs and the connecting electrodes can be defined to form SiNW-FET devices, in which the width of SiNWs could reach the scale of 100 nm. A typical top-down process to fabricate SiNW-FETs is illustrated schematically in Figure 4(a) [10-11].

In Step 1, the Si layer is doped with low-density boron or phosphorous of $\sim(10)^{15} / (\text{cm})^3$ (about $10-20\Omega \text{ cm}$). Therefore, the n/p type semiconducting property and doping ratio of SiNWs are determined (Figure 4(a, i)). Step 2 is to define the source and drain leads with heavy doping $10^{19} / (\text{cm})^3$, of which the patterns are drawn with a photomask design (Figure 4(a, ii)). In Step 3, the micrometer-sized source and drain electrodes are finished by RIE etching (Figure 4(a, iii)). Step 4 is to fabricate the nanometer-sized SiNWs with an electric-resist pattern and RIE etching (or tetra-methylammonium hydroxide etching) (Figure 4(a, iv)). Subsequently, a thermal evaporation is used to make the contact leads and back-gate, and finally an insulator layer (e.g., (Al_2O_3) , (SiO_2) , or $(\text{Si})_3\text{N}_4$) is coated on the SiNW-FET devices. Compared with the bottom-up method, the top-down approach is more complex because the process relies on high-resolution lithography [12-13]. Figure 5 presents a schematic view of a junctionless nanowire gated resistor. Having no junctions

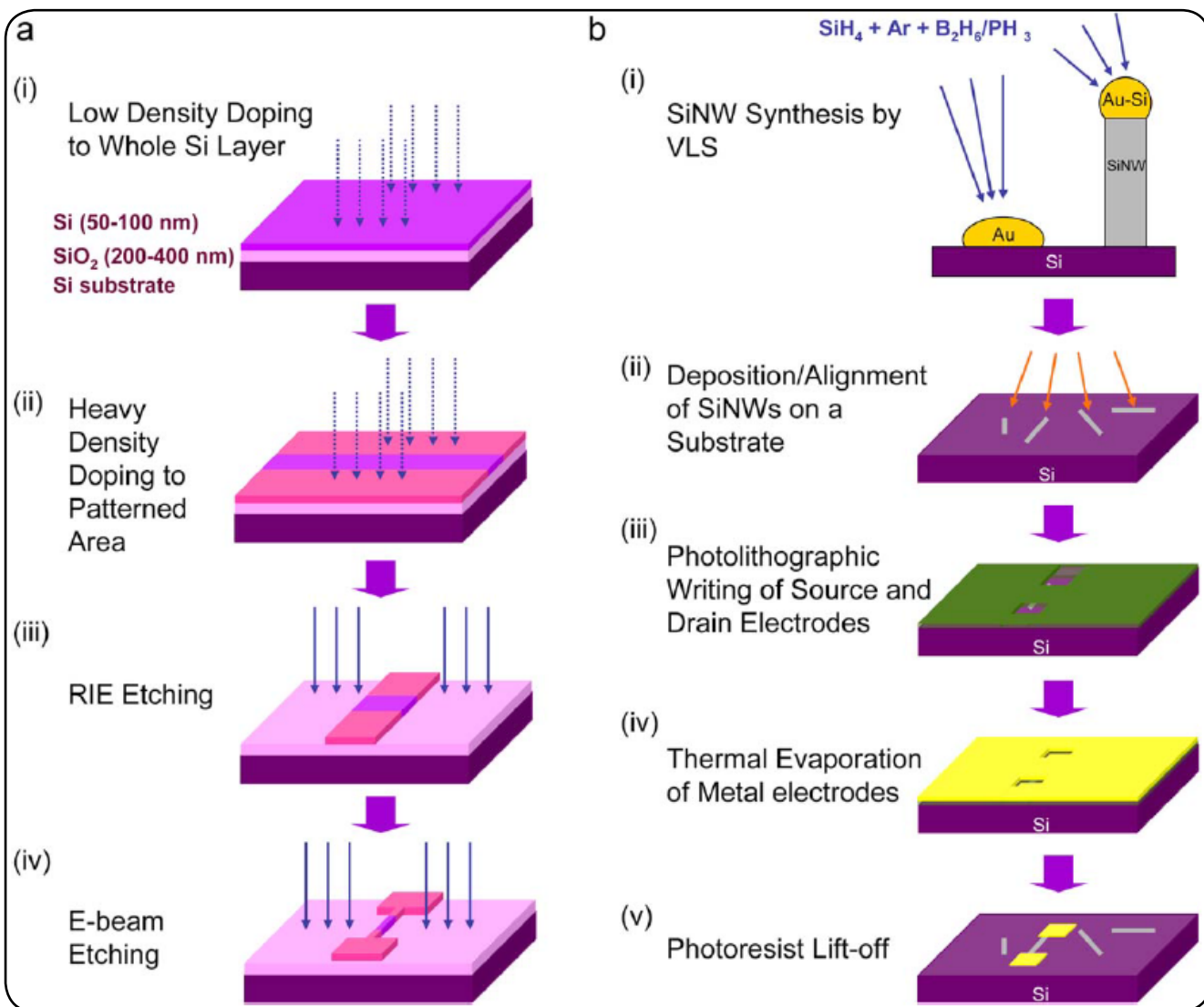


Figure 4. (a) Schematic illustration of a typical “top-down” process to fabricate SiNW FETs. (i) In Step 1, the silicon layer is doped with low-density boron or phosphorous. (ii) In Step 2, specific regions defined with a photomask pattern receive heavy doping. (iii) In Step 3, the micrometer-sized source and drain electrodes are finished by RIE etching. (iv) The following Step 4 is to fabricate the nanometer-sized SiNWs with an electric-resist pattern and RIE etching. (b) An illustration of a “bottomup” method to fabricate SiNW-FETs. (i) The growth of SiNWs in CVD reaction via the VLS mechanism. (ii) Deposition/alignment of SiNWs on a silicon substrate. (iii) A photomask pattern to define source/drain electrodes. (iv) Thermal evaporation to deposit the source/drain contacts. (v) Lift-off the remaining photoresist with Remover PG.

presents a great advantage. Modern transistors have reached such small dimensions that ultra-sharp doping concentration gradients are required in junctions: typically the doping must switch from n-type with a concentration of $1 \times 10^{19} \text{ cm}^{-3}$ to p-type with a concentration of $1 \times 10^{18} \text{ cm}^{-3}$ within a couple of nanometres. This imposes severe limitations on the processing thermal budget and necessitates the development of costly millisecond annealing techniques. In a junctionless gated resistor, on the other hand, the doping concentration in the channel is identical to that in the source and drain. The underlying insulator layer (buried oxide) is not shown. In a classical trigate device, the source and drain are heavily doped n-type and the channel region under the gate is lightly doped p-type. In the junctionless gated resistor, the silicon nanowire is uniformly doped n-type and the gate material is p-type polysilicon. Opposite dopant polarities are used for p-channel devices [14].

4. Array design of SiNW-FET

The SiNW-FET devices could be fabricated following a standard photolithographic procedure with a mask design depicted in Figure 6(a). The synthesized SiNWs were dispersed on a SiO_2/Si substrate (typically 400 nm-thick SiO_2). The as-dispersed SiNWs in the central area (the reddish

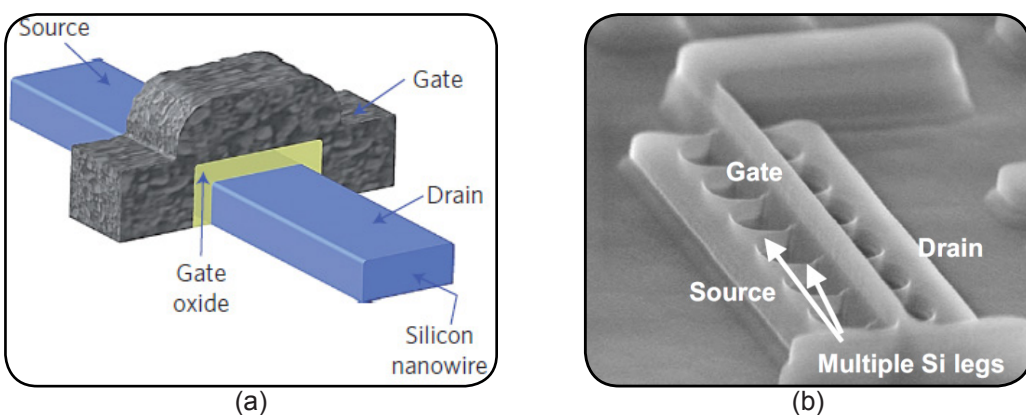


Figure 5. (a) Schematic of an n-channel nanowire transistor. (b) The scanning electron microscope of the Tri-gate transistor showing multiple Si legs [15].

rectangles in Figure 6(a) and (b)) were electrically connected by metal leads (represented in yellow in Figure 6(a)). The surfaces of the metal electrodes were further coated with an insulating layer to prevent electric leakage during sensing experiments. The bottom inset graph enlarged from the red region in Figure 6(b) displays the array design, in which the individual nanowire device was connected by metal electrodes with a separation of several micrometers. The individual SiNW situation can be seen with the image scanned by atomic force microscope (AFM), as shown in Figure 6(c) [16].

The experimental setup involved in electrical measurements includes a silicon chip ($1.5\text{mm} \times 1.5\text{mm}$) containing SiNW-FET device arrays, a PDMS microfluidic channel ($6.25\text{mm} \times 0.5\text{mm} \times 0.55\text{mm}$), and a detection system. First, the silicon chip containing SiNW-FET device arrays was mounted on a plastic circuit board and electrically connected with $30\mu\text{m}$ -diameter aluminum wires (Figure 6(d)) before electrical measurement. The PDMS microfluidic channel was then placed in the middle of the chip to allow sample solution delivery onto the SiNW-FET arrays (Figure 6(e)). The detection system including a lock-in amplifier and a current pre-amplifier was to record the electrical signals resulting from the binding events occurring on the SiNW-FET surface during sensing experiments (Figure 6(f)).

It is noted that the laminar flow in an ordinary microfluidic channel used in FET-based measurements may restrict the detection sensitivity due to the diffusion-limited sample delivery [17]. Comparatively, a specially designed microscale solution chamber with efficient sample mixing during the fluid exchange has been demonstrated to improve the detection sensitivity [18].

5. Applications of SiNW-FET sensors

5.1. Recording electrical and transmitter signals from cells

Using nano- and neuro-technologies to couple electrical interfacing with neural systems has great potential to unveil many details of neuron studies. In the past few years, SiNW-FETs and CNT-FETs have been applied for electrophysiological measurements by recording signals from neuron cells and tissues, e.g., recording the electrical signal from a single neuron and cardiomyocyte cells and detecting the released neurotransmitter of CgA from living neurons. In this section, we will introduce some current studies that demonstrate how SiNW-FET has been used to record these cell signals. Patolsky et al. have reported that hybrid SiNW-FET arrays integrated with individual axons and/or dendrites are capable of recording electrical signals from a single neuron cell. On the designed SiNW-FET array structures, they defined the adhesive zones where poly-lysine was patterned for neuron cell growth [20].

5.2. Protein-protein interaction

A huge number of approaches have been developed to understand molecular complex interactions, such as protein-protein or protein-small molecule interactions. For example, a fluorescence detection method combined with a fiber-optic biosensor has been established to study the binding kinetics of immunoglobulin G (IgG)/ anti-mouse IgG and human heart-type fatty acid-binding protein (its antibody). However, this labeling detection method was limited by some drawbacks.

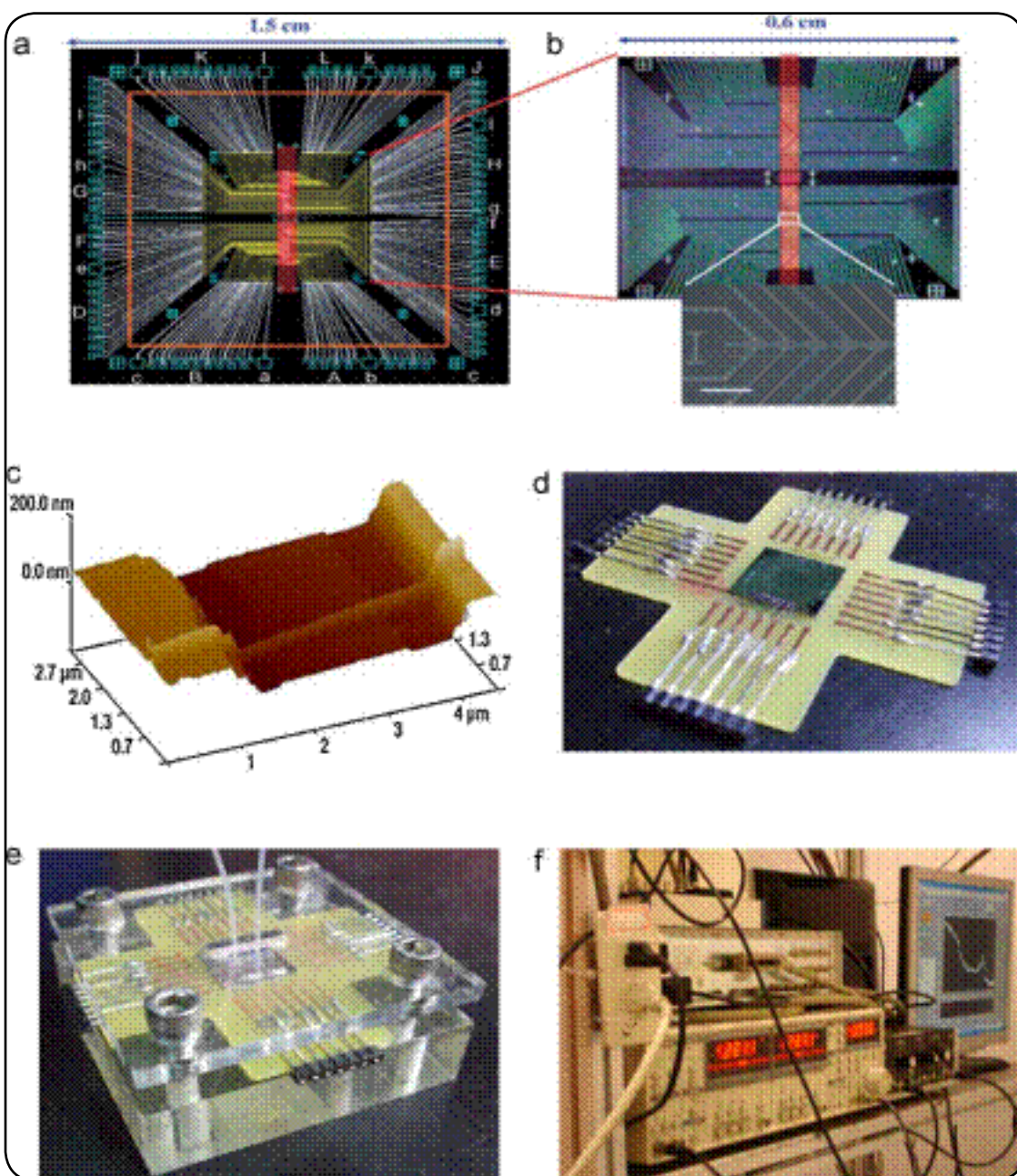


Figure 6. (a) Mask design for the photolithographic fabrication of SiNW-FET device arrays. (b) Device arrays on a magnified scale. Top: Optical image of the circuits in the area of the yellow square in (a); bottom: SEM image of a SiNW-FET array with a source-drain separation of 2 μm . The scale bar is 50 μm . (c) The topograph of a SiNW-FET scanned by AFM. A SiNW of 50 nm in diameter is connected by two Ni/Al (70 nm/100 nm in thickness) electrodes of 2 μm in separation. (d) The SiNW-FET device arrays on a silicon chip (1.5mm \times 1.5mm) are connected to a plastic circuit board with aluminum wires (3 μm in diameter). (e) A sample solution was delivered onto the SiNW-FET arrays through a PDMS microfluidic channel (6.25mm \times 0.5mm \times 0.05mm), which was designed to couple with the SiNW-FET device arrays. (f) The variation of electrical signals was monitored by a detection system that combined a lock-in amplifier and a current preamplifier [19].

For instance, the surface characteristics of small proteins might be changed after chemical labeling, thus varying the labeling efficiency for different proteins, which consequently makes accurate quantification detection difficult. Also this labeling technique usually requires a huge amount of time for the labeling procedures. In recent years, some label-free detection techniques, such as surface plasmon resonance imaging (SPRI), AFM, and SiNW-FET and CNT-FET have been invented for sensing protein-protein interactions [21].

5.3. Biomarker detection

A biomarker is generally defined as something that can be used as an indicator for a particular disease state or some other biological state of an organism. For that reason, the detection of specific biomarkers can be applied to disease screening. For example, prostate-specific antigen (PSA) has already been wildly applied to prostate cancer diagnosis. However, these biomarkers usually exist

in the blood in extremely low concentrations. Therefore, finding a method to rapidly and precisely detect these biomarkers is an important issue in clinical diagnoses. Recently, Zheng et al. utilized a SiNW-FET array for the detection of multiple cancer markers [22].

5.4. Three-dimensional localized bioprobes

Although a multitude of SiNW-FETs and CNT-FETs have been exploited to record extracellular electrical signals, these devices are normally created on planar substrates, making it difficult for the devices to detect the signals from arbitrary localization in three dimensions (3D). Therefore, it is highly desirable to develop a movable 3D nano-FET, containing the necessary source and drain electrical connections, that can be moved to contact a cell and even into the cell. Recently, Tian et al. made a movable 3D nano-FET through the synthetic integration of kinked SiNWs [23].

5.5. DNA hybridization

SiNW-FETs were adapted for the detection of DNA or RNA. Due to the large amount of negative charges in the phosphate backbones of DNA or RNA, SiNW-FETs offer a good candidate for monitoring DNA or RNA hybridizations, because the hybridizations cause the accumulation or depletion of charge carriers in the SiNW-FET, leading to a conductance change. Peptide nucleic acid (PNA), an artificially synthesized polymer similar to DNA, is commonly used in biological research, especially in DNA or RNA hybridizations. Hahm et al. have reported the real-time and label-free detection of DNA with a PNA-modified SiNW-FET [24].

6. Conclusion

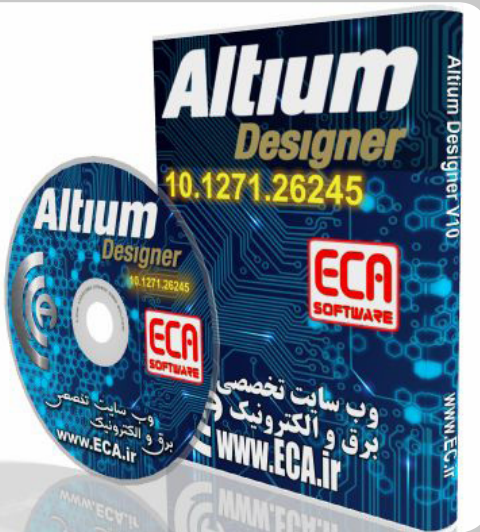
Over the past years, the invention of biosensors has become increasingly important for many biological purposes. Biosensors constructed based on traditional methods usually require massive sample preparations or have low detection sensitivity. In contrast, nanoscale techniques have attracted more attention because of their abilities to overcome these difficulties. In this review, we described the fabrications and properties of SiNW-FET devices. In addition, we discussed the potential applications of SiNW-FETs in the fields of biomedical sciences.

References

- [1] J.H. He, Y.Y. Zhang, J Liu, D. Moore, G. Bao, Z.L. Wang, "ZnS/Silica Nanocable Field Effect Transistors as Biological and Chemical Nanosensors", *Physical Chemistry Letters*, American Chemical Society, (2007).
- [2] D.R. Thevenot, K. Toth, R.A. Durst, G.S. Wilson, "Electrochemical biosensors: recommended definitions and classification", *Biosensors & Bioelectronics*, Elsevier, (2001).
- [3] D. Altschuh, "Immunochemistry and Biosensors", Parc d'Innovation, (2004).
- [4] S. Ripp, G.S. Sayler, "Advanced Bioreporter Technologies For Targeted Sensing of Chemical and Biological Agents", *Biosensors*, Center for Environmental Biotechnology, (2002).
- [5] J.P. Chambers, B.P. Arulanandam, L.L. Matta, A. Weis, J.J. Valdes, "Biosensor Recognition Elements", *Current Issues in Molecular Biology*, Horizon Scientific Press, (2008).
- [6] K.I. Chen, B.R. Li, Y.T. Chen, "Silicon nanowire field-effect transistor-based biosensors for biomedical diagnosis and cellular recording investigation", *Nanotoday*, Elsevier, (2011).
- [7] Q. Qing, S.K. Pal, B. Tian, Xiaojie Duan, B.P. Timko, T. Cohen-Karni, V.N. Murthy, C.M. Lieber, "Nanowire transistor arrays for mapping neural circuits in acute brain slices", *Applied Physical Sciences, Proceedings of the National Academy of Sciences*, (2010).
- [8] D.D.D. Ma, C.S. Lee, F.C.K. Au, S.Y. Tong, S.T. Lee, "Small-Diameter Silicon Nanowire Surfaces", *Science*, (2003).
- [9] F. Patolsky, G. Zheng, C.M. Lieber, "Fabrication of silicon nanowire devices for ultrasensitive, label-free, real-time detection of biological and chemical species", *Nature Protocols*, Nature Publishing Group, (2006).
- [10] O. Knopfmacher, A. Tarasov, W. Fu, M. Wipf, B. Niesen, M. Calame, C. Schonengerger, "Nernst Limit in Dual-Gated Si-Nanowire FET Sensors", *Nano Letters*, American Chemical Society, (2010).
- [11] A.L. Briseno, S.C.B. Mannsfeld, S.A. Jenekhe, Z. Bao, Y. Xia, "Introducing organic nanowire transistors", *Materials Today*, Elsevier, (2008).
- [12] B. Reddy Jr, B.R. Dorvel, J. Go, P.R. Nair, O.H. Elibol, G.M. Credo, J.S. Daniels, E.K.C. Chow,

- X. Su, M. Varma, M.A. Alam, R. Bashir, "High-k dielectric Al₂O₃ nanowire and nanoplate field effect sensors for improved pH sensing", Biomed Microdevices, Springer, (2010).
- [13] F. Larki, S.D. Hutagalung, A. Dehzangi, E.B. Saion, A. Abedini, A.M Abdullah, M.N. Hamidon, J. Hassan, "Electronic Transport Properties of Junctionless Lateral Gate Silicon Nanowire Transistor Fabricated by Atomic Force Microscope Nanolithography", Microelectronics and Solid State Electronics, Scientific & Academic, (2012).
- [14] J.Pierre Colinge, C.W Lee, A. Afzalian, N.D. Akhavan, R. Yan, I. Ferain, P. Razavi, B. O'Neill, A. Blake, M. White, A.M. Kelleher, B. McCarthy, R. Murphy, "Nanowire transistors without junctions", Nature Nanotechnology, Macmillan Publishers Ltd, (2010).
- [15] R. Chau, B. Boyanov, B. Doyle, M. Doczy, S. Datta, S. Hareland, B. Jin, J. Kavalieros, M. Metz, "Silicon nano-transistors for logic applications", Physica E, Elsevier, (2003).
- [16] C.C. Tsai, P.L. Chiang, C.J. Sun, T.W. Lin, M.H. Tsai, Y.C. Chang, Y.T. Chen, "Surface potential variations on a silicon nanowire transistor in biomolecular modification and detection", Nanotechnology, Institute Of Physics, (2011).
- [17] P.E. Sheehan, L.J. Whitman, "Detection Limits for Nanoscale Biosensors", Nano Letters, American Chemical Society, (2005).
- [18] J.H. Chua, R.E. Chee, A. Agarwal, S.M. Wong, G.J. Zhang, "Label-Free Electrical Detection of Cardiac Biomarker with Complementary Metal-Oxide Semiconductor-Compatible Silicon Nanowire Sensor Arrays", Analytical Chemistry, American Chemical Society, (2009).
- [19] P.L. Chiang, T.C. Chou, T.H. Wu, C.C. Li, C.D. Liao, J.Y. Lin, M.H. Tsai, C.C. Tsai, C.J. Sun, C.H. Wang, J.M. Fang, Y.T. Chen, "Nanowire transistor-based ultrasensitive virus detection with reversible surface functionalization", Chemistry – An Asian journal, (2010).
- [20] F. Patolsky, B.P. Timko, G. Yu, Y. Fang, A.B. Greytak, G. Zheng, C.M. Lieber, "Detection, Stimulation, and Inhibition of Neuronal Signals with High-Density Nanowire Transistor Arrays", Science, (2006).
- [21] G. Pampalakis, S.O. Kelley, "An Electrochemical Immunosensor Based on Antibody-Nanowire Conjugates", Analyst, (2009).
- [22] G. Zheng, F. Patolsky, Y. Cui, W.U. Wang, C.M. Lieber, "Multiplexed electrical detection of cancer markers with nanowire sensor arrays", Nature biotechnology, Nature Publishing Group, (2005).
- [23] B. Tian, T. Cohen-Karni, Q. Qing, X. Duan, P. Xie, C.M. Lieber, "Three-dimensional, flexible nanoscale field effect transistors as localized bioprobes", Science, National Institutes of Health, (2010).
- [24] J. Hahn, C.M. Lieber, "Direct ultrasensitive electrical detection of DNA and DNA sequence variations using nanowire nanosensors", Nano letters, American Chemical Society, (2004).

Altium Designer 10.1271.26245



یا همان PROTEL DXP نرم افزار قدرتمندی است که برای پیاده سازی شماتیک ، طراحی PCB و آنالیز مدارهای آنالوگ و برخی مدارهای دیجیتالی طراحی شده است. یکی از مزایای این نرم افزار دسته بندی مناسب کتابخانه ها بنحوی است که با صرف زمان کوتاهی قطعه مورد نظر را خواهید یافت. آنالیز مدارهای آنالوگ در پروتول، توسط تحلیل گر بی اسپایس انجام می شود. محیط طراحی PCB در پروتول، بدلیل داشتن کتابخانه هایی کامل و بدون نقص معروف است و این امر سبب رفاه بیشتر کاربر در حین طراحی انواع PCB با این نرم افزار، خواهد شد. در این نسخه امکان شبیه سازی و کد نویسی برخی از FPGA ها نیز فراهم شده است که زمان طراحی و پیاده سازی را حداقل می کند. ورژن جدید این نرم افزار حرفه ای دارای تحولات و پیشرفت های زیادی بوده که کار شما را برای طراحی نسل های بعدی مدارات الکترونیک بسیار ساده کرده است .

توضیحات تکمیلی :

<http://eshop.eca.ir/link/1404.php>



ECA Electrical & Electronics Magazine \ Vol.3 \ No.13 \ Dec 2012



● Driving SIM900 Module With LabVIEW

● Driving HC-05 Module

● Touch Screen Calculator with 3.2" LCD

● Audio Player Project

● Getting started with Xmega - Ports



www.Noisemagazine.ECA.ir

